

ความหลักหลาຍของໄລເຄນແສກຕາມທີ່ຕ້ອງກວດສອບ
ປະນາມກໍາຊັດເພື່ອໃຫຍ້ໃນບຣິເວັມ
ຮອບໂຮງໄຟ້ແມ່ນເນາະ ອໍາເກອມແມ່ນເນາະ
ຂັ້ນຫວັດຕໍ່ປຳປັງ ປີ ພ.ສ.2552

ຈຳກັດ ຜົນເຈັນ

ວິທະຍາການທະນາບັນຫຼິກ
ສານວິຊາຂໍ້ຈຳຫຼາຍ

ບັນຫຼິກວິທະຍາດົນ
ນາງວິທະຍາດັ່ງເປົ້າຍິງໃໝ່
ພຖຸຄອການ 2552

RECEIVED	
BY	8/7/53
DATE	

T352053

ความหลากหลายของไลเคนและการติดตามตรวจสอบปริมาณ
ก้าชซัลเฟอร์ไดออกไซด์ในบริเวณรอบโรงไฟฟ้าแม่เมาะ
อำเภอแม่เมาะ จังหวัดลำปาง ปี พ.ศ. 2552

รำพรวน กันเจิม

วิทยานิพนธ์นี้เสนอต่อบัณฑิตวิทยาลัยเพื่อเป็นส่วนหนึ่ง
ของการศึกษาตามหลักสูตรปริญญา
วิทยาศาสตรมหาบัณฑิต
สาขาวิชาชีววิทยา

บัณฑิตวิทยาลัย
มหาวิทยาลัยเชียงใหม่
พฤษจิกายน 2552

ความหลากหลายของไอลեกนและการติดตามตรวจสอบปริมาณก๊าซชั้นเพอร์ไครอฟลูอิกไซด์ ในบริเวณรอบโรงไฟฟ้าแม่แมะ อําเภอแม่แมะ จังหวัดลำปาง ปี พ.ศ. 2551

รำพราว กันเจิม

วิทยานิพนธ์นี้ได้รับการพิจารณาอนุมัติให้นับเป็นส่วนหนึ่งของการศึกษา
ตามหลักสูตรปริญญาวิทยาศาสตรมหาบัณฑิต สาขาวิชาชีววิทยา

คณะกรรมการสอนวิทยานิพนธ์

ประชานกรรมการ

ជំនាញសាស្ត្រាអាជាហី លោកស្រី នានី

กรรมการ

ผู้ช่วยศาสตราจารย์ ดร.วนารักษ์ ใจพันธ์แก้ว

กิจกรรมการ

ผู้ช่วยศาสตราจารย์ ดร.สมพร จันทะ

សំណង់

อาจารย์ ดร. สุทธานร ไชยเรืองศรี

กิตติกรรมประกาศ

วิทยานิพนธ์นี้สำเร็จได้ด้วยความกรุณาของ ผู้ช่วยศาสตราจารย์ ดร. วนารักษ์ ไชพันธ์แก้ว อาจารย์ที่ปรึกษาวิทยานิพนธ์ ที่กรุณาให้ความรู้ คำปรึกษา คำแนะนำ และการดูแลช่วยเหลือในด้านต่างๆ ตลอดระยะเวลาการทำวิทยานิพนธ์ รวมทั้งได้ตรวจสอบและแก้ไขวิทยานิพนธ์จนกระทั่งสำเร็จอยู่ล่วงไปด้วยดี ผู้เขียนขอกราบขอบพระคุณไว้ ณ โอกาสนี้

ขอกราบขอบพระคุณ ผู้ช่วยศาสตราจารย์ ดร. สมพร จันทร์ อาจารย์ที่ปรึกษาวิทยานิพนธ์ ร่วม ที่กรุณาให้ความรู้ คำปรึกษา คำแนะนำ ตลอดระยะเวลาการทำวิทยานิพนธ์ รวมทั้งได้ตรวจสอบและแก้ไขวิทยานิพนธ์จนกระทั่งสำเร็จอยู่ล่วงไปด้วยดี ผู้เขียนขอกราบขอบพระคุณไว้ ณ โอกาสนี้

ขอกราบขอบพระคุณ ผู้ช่วยศาสตราจารย์ ดร. ณัฐวุฒิ ธนาี และอาจารย์ ดร. สุทธารัตน์ เรืองศรี ที่กรุณาเป็นคณะกรรมการในการสอบวิทยานิพนธ์ ที่ให้คำแนะนำ แก้ไขจนวิทยานิพนธ์นี้สมบูรณ์ยิ่งขึ้น

ขอกราบขอบคุณ Professor Dr. Klaus Kalb และ Dr. Harrie Sipman ในการจัดทำแนวคิดของไลเคนบางชนิด ฝ่ายสารสนเทศอุดหนุนิยมวิทยา ศูนย์อุดหนุนิยมวิทยาภาคเหนือ ที่อนุเคราะห์ข้อมูลสภาพภูมิอากาศของจังหวัดลำปาง

ขอขอบคุณสมาชิกห้องปฏิบัติการ ไลเคนทุกคน รวมทั้งคุณชญาณันท์ จิตมณี และคุณจิราภรณ์ แสนธิยะ ที่ให้ความช่วยเหลือในการเก็บตัวอย่าง ไลเคนในภาคสนาม และสมาชิกห้องปฏิบัติการวิจัยเคมีสิ่งแวดล้อมทุกคน ที่ให้ความช่วยเหลือในการวิเคราะห์ผลก้าเซซัลเฟอร์ไดออกไซด์

ขอกราบขอบพระคุณสมาชิกในครอบครัวทุกคน ที่เป็นกำลังใจให้ตลอดการศึกษา

โครงการนี้ได้รับทุนสนับสนุนจาก โครงการพัฒนาองค์ความรู้และศึกษา โภชนาการ จัดการทรัพยากรชีวภาพในประเทศไทย ซึ่งร่วมจัดตั้งโดยสำนักงานกองทุนสนับสนุนการวิจัย และศูนย์พันธุ์ชีวกรรมและเทคโนโลยีชีวภาพแห่งชาติ รหัสโครงการ BRT T 352053 บัณฑิตวิทยาลัยมหาวิทยาลัยเชียงใหม่ และโครงการอนุรักษ์และใช้ประโยชน์ความหลากหลายทางชีวภาพ มหาวิทยาลัยเชียงใหม่

ชื่อเรื่องวิทยานิพนธ์

ความหลากหลายของไอลเคนและการติดตามตรวจสอบปริมาณ
ก้าชชัลเฟอร์ไดออกไซด์ในบริเวณรอบโรงไฟฟ้าแม่เมะ
อำเภอแม่เมะ จังหวัดลำปาง ปี พ.ศ. 2552

ผู้เขียน

นางรำพรวน กันเจิม

ปริญญา

วิทยาศาสตรมหาบัณฑิต (ชีววิทยา)

คณะกรรมการที่ปรึกษาวิทยานิพนธ์

ผู้ช่วยศาสตราจารย์ ดร. วนารักษ์ ใจพันธ์เก้า	ประธานกรรมการ
ผู้ช่วยศาสตราจารย์ ดร. สมพร จันทร์	กรรมการ

บทคัดย่อ

ศึกษาความหลากหลายของไอลเคนและการติดตามตรวจสอบปริมาณก้าชชัลเฟอร์ไดออกไซด์ในบริเวณรอบโรงไฟฟ้าแม่เมะ อ.แม่เมะ จ.ลำปาง ในช่วงเดือนกุมภาพันธ์ – กรกฎาคม พ.ศ. 2552 ในพื้นที่ศึกษานาด 1×1 ตารางกิโลเมตร จำนวน 10 พื้นที่รอบโรงไฟฟ้า ทำการสำรวจความหลากหลายของไอลเคนบนต้นมะม่วง (*Mangifera indica L.*) จำนวน 10 ต้น ในแต่ละพื้นที่ รวมทั้งหมด 100 ต้น โดยใช้กรอบสำรวจความถี่ขนาด 20×50 ตารางเซนติเมตร บันทึกชนิดและความถี่ของจำนวนไอลเคนแต่ละชนิด เก็บเปลือกไม้เพื่อวัดค่าความเป็นกรด - ด่าง และบันทึกข้อมูลทางกายภาพอื่น ๆ ของต้นไม้ ทำการเก็บตัวอย่างอากาศเพื่อหาปริมาณก้าชชัลเฟอร์ไดออกไซด์ในอากาศในฤดูแล้ง และฤดูฝน โดยใช้วิธีการเก็บตัวอย่างแบบแพสซีฟ (Passive sampling technique) ชนิดหลอดทำการตรวจวัดปริมาณโดยเทคนิคไอออนโคมากโตกราฟ ผลการศึกษาพบไอลเคน 13 วงศ์ 24 สกุล 43 ชนิด ประกอบด้วยไอลเคนกลุ่มโพลิโอส จำนวน 5 สกุล 11 ชนิด และไอลเคนกลุ่มครัสโตก จำนวน 19 สกุล 32 ชนิด โดยไอลเคนส่วนใหญ่พบรอยู่ในสกุล *Dirinaria*, *Pyxine*, *Chrysothrix*, *Cryptothecia*, *Arthonia*, *Lecanographa*, *Laurera* และ *Hyperphyscia* ส่วนน้อยที่พบเป็นไอลเคนที่อยู่ในสกุล *Buellia*, *Ocellularia* และ *Chapsa* มีไอลเคนที่ไม่สามารถจัดจำแนกสกุลได้ 1 ตัวอย่างไอลเคนชนิด *Dirinaria picta* และ *Pyxine cocoes* พบรอยู่ในทุกพื้นที่ศึกษา นอกจากนี้ยังพบว่าไอลเคน

กลุ่มครัสโตสมีจำนวนชนิดมากกว่าໄລເຄນກລຸ່ມ ໂພລິໂອສໃນທຸກພື້ນທີ່ສຶກຍາ ບ້ານກອງຮາກພບດ້ານນີ້
ຄວາມຫລາກຫລາຍຂອງໄລເຄນສູງສຸດຄືອ 2.30 ແລະມີຈຳນວນชนິດຂອງໄລເຄນສູງສຸດເທົ່າກັນ 20 ຊົນດ
ໃນບະທຶກທີ່ບ້ານສັບຈາງເຊື່ອຕັ້ງອູ່ທາງທິດຕະວັນອອກເລີບແໜ້ອຂອງໂຮງໄຟຟ້າມີດ້ານນີ້ຄວາມຫລາກຫລາຍ
ຂອງໄລເຄນຕໍ່າສຸດຄືອ 1.67 ແລະມີຈຳນວນชนິດຂອງໄລເຄນຕໍ່າສຸດເທົ່າກັນ 11 ຊົນດ ສໍາຮຽນປະມາມ
ກິ້າຊ້ລເພື່ອຮ່າໄໂອກໃຫ້ດີໃນບຣາຍາກາສທີ່ຕ່າງໆ ໃນຄຸງແລ້ວແລະຄຸງຟ່ານມີຄ່າເທົ່າກັນ 0.84 – 8.65 ແລະ
0.51 – 1.72 ສ່ວນໃນພັນລ້ານສ່ວນໂດຍປະມາມ ຕາມດໍາດັນ ການວິເຄາະທີ່ຫາຄວາມສັນພັນທີ່ຮ່ວ່າງດ້ານນີ້
ຄວາມຫລາກຫລາຍຂອງໄລເຄນກັບປະມາມກິ້າຊ້ລເພື່ອຮ່າໄໂອກໃຫ້ດີໃນບຣາຍາກາສໃນພື້ນທີ່ສຶກຍາ ພົບວ່າ
ໄມ່ມີຄວາມສັນພັນທີ່ກັນຍ່າງມີນັ້ນສຳຄັງທີ່ຮະດັບຄວາມເຮື່ອນັ້ນ 95% ຈາກຜົດກາຮົງກິ້າຊ້ລເພື່ອຮ່າໄໂອກໃຫ້ດີ
ໃນຊ່ວງເວລາທີ່ທ່າການຕ່າງໆ ໄມ່ມີຜລຕ່ອງຄວາມຫລາກຫລາຍຂອງໄລເຄນແລະຄວາມເປັນກຣດ - ດ່າງຂອງເປົ້າລືອກໄມ້ໃນພື້ນທີ່ສຶກຍາ ນອກຈາກນີ້ຍັງພົບວ່າໄລເຄນສ່ວນໃຫຍ່ມີ
ແນວໂນ້ມເຈີ່ມເຈີ່ມອູ່ບັນດາດັ່ນຂອງຕິ່ນມະນ່ວງໃນທິດທາງທີ່ມັກຫລືກໜີຈາກທິດທີ່ທັນເຂົ້າສູ່ໂຮງໄຟຟ້າ

Thesis Title Lichen Diversity and Monitoring of Sulphur Dioxide Around
Mae Moh Power Plant Area, Mae Moh District,
Lampang Province, in 2009

Author Mrs. Rumpruan Kanjoem

Degree Master of Science (Biology)

Thesis Advisory Committee

Assistant Professor Dr. Wanaruk Saipunkaew	Chairperson
Assistant Professor Dr. Somporn Chantara	Member

Abstract

Lichen diversity and sulphur dioxide concentration around Mae Moh power plant area, Mae Moh district, Lampang province was studied during February – July 2009. A plot size of $1 \times 1 \text{ km}^2$ was selected in each ten study sites around Mae Moh power plant areas and lichen diversity and sulphur dioxide monitoring were investigated. A grid frame size of $20 \times 50 \text{ cm}^2$ were used for registration of lichen species and their frequencies on 10 mango trees (*Mangifera indica* L.) in each plot. The total number of selected trees was 100. The tree barks were sampled for pH analysis and physical data of trees were recorded. Atmospheric sulphur dioxide was collected in each study site twice in dry and rainy seasons by using passive sampling technique. Its concentrations were determined by ion chromatography. The result shown that the total number of 13 lichens families, 24 genera, 43 species were found in all study sites. Five genera, 11 species were belonging to foliose group and 19 genera 32 species belonging to crustose group. Most lichen genera found in study sites were such as *Dirinaria*, *Pyxine*, *Chrysothrix*, *Cryptothecia*, *Arthonia*, *Lecanographa*, *Laurera* and *Hyperphyscia*, while few lichen genera found in study sites were such as *Buellia*, *Ocellularia* and *Chapsa*. The species of *Dirinaria picta*

and *Pyxine cocoes* were found in all study areas. Crustose lichens species was more abundant than foliose lichens species in every site study. The highest lichen diversity of 2.30 was found in Kor Ruak village where also had the highest species richness of 20. The lowest lichen diversity and species richness of 1.67 and 11 respectively was found in Sop Jang village which located in northeast direction of the power plant. The concentrations of sulphur dioxide, which were measured in dry and rainy seasons, were 0.84 – 8.65 ppbv and 0.51 – 1.72 ppbv, respectively. There was no significant correlation at 95 % confidence between lichen diversity and measured sulphur dioxide concentrations in the study areas. Sulphur dioxide concentrations measured during the study period shows no effect on lichen diversity and bark pH. Furthermore, lichens grow on the investigated trees were found mostly in the direction which avoid from the power plant.

สารบัญ

หน้า

กิตติกรรมประกาศ	๑
บทคัดย่อภาษาไทย	๑
บทคัดย่อภาษาอังกฤษ	๒
สารบัญตาราง	๓
สารบัญภาพ	๔
อักษรย่อ	๕
บทที่ 1 บทนำ	๑
บทที่ 2 ทบทวนเอกสาร	๔
บทที่ 3 วิธีดำเนินการศึกษา	๒๕
บทที่ 4 ผลการศึกษา	๔๓
บทที่ 5 อภิปรายผลการศึกษา	๖๑
บทที่ 6 สรุปผลการศึกษา	๖๙
บรรณานุกรม	๗๑
ภาคผนวก	๗๗
ภาคผนวก ก แบบฟอร์มการสำรวจໄลเคน	๗๘
ภาคผนวก ข ໄลเคนที่พ้นจากการศึกษา	๘๐
ภาคผนวก ค การวิเคราะห์สถิติ	๘๖
ภาคผนวก ง การคำนวณความเสี่้อมขึ้นของ SO_2	๙๑
ภาคผนวก จ โครมาโดยแกรม	๙๓
ภาคผนวก ฉ ข้อมูลความเสี่้อมขึ้นของ SO_2	๙๔
ประวัติผู้เขียน	๙๘

สารบัญตาราง

	หน้า
ตาราง	หน้า
3.1 พื้นที่ศึกษาที่ทำการสำรวจ ไอลเคนบริเวณรอบโรงไฟฟ้าเมืองมะ	30
3.2 สถานะที่เหมาะสมของเครื่องไออ่อน โคมนาโตรกราฟ สำหรับการวิเคราะห์ไออ่อนลง	41
4.1 รายชื่อวงศ์ สกุลและชนิดของ ไอลเคนที่พบจากการสำรวจ ในพื้นที่ศึกษา	44
4.2 ความถี่รวมของจำนวน ไอลเคนแต่ละชนิด ในพื้นที่ศึกษา	46
4.3 จำนวนชนิดของ ไอลเคนกลุ่มครัส โตส และ ไอลเคนกลุ่ม โฟลิโอลain แต่ละพื้นที่ศึกษา	48
4.4 ดัชนีความหลากหลาย (diversity index) ค่าความสมมาตร (evenness) และ ความหลากหลายชนิด (species richness) ของ ไอลเคนในพื้นที่ศึกษา	51
4.5 pH โดยเฉลี่ยของเปลือกต้นมะม่วง ในแต่ละพื้นที่ศึกษา	53
4.6 ปริมาณก๊าซชั้ดเพอร์ไซด์ออกไซด์เฉลี่ยที่ตรวจวัด ได้ในพื้นที่ศึกษา	58
ค 1 การวิเคราะห์ความแปรปรวนแบบทางเดียว (one-way ANOVA) ของค่า pH เปลือกไม้	86
ค 2 การวิเคราะห์ความแปรปรวนแบบทางเดียว (one-way ANOVA) ของ SO ₂ ถูกแล้ง	87
ค 3 การวิเคราะห์ความแปรปรวนแบบทางเดียว (one-way ANOVA) ของ SO ₂ ผุบ่น	88
ค 4 การทดสอบความแตกต่างของ SO ₂ ของถูกแล้งกับผุบ่น	89
ค 5 สัมประสิทธิ์สหสัมพันธ์ของเพียร์สัน (Correlations)	90
ง 1 การคำนวณความเข้มข้นของก๊าซ SO ₂	91
ฉ 1 ข้อมูลความเข้มข้นของก๊าซ SO ₂ ที่ตรวจวัด ได้ในถูกแล้ง ช่วงวันที่ 21 – 28 กุมภาพันธ์ พ.ศ. 2552	94
ฉ 2 ข้อมูลความเข้มข้นของก๊าซ SO ₂ ที่ตรวจวัด ได้ในผุบ่น ช่วงวันที่ 5 – 12 กรกฎาคม พ.ศ. 2552	96

สารบัญภาพ

ภาพ	หน้า
2.1 ไอลเคนกลุ่มครัสโตส	5
2.2 ไอลเคนกลุ่มโพลิโอดส	5
2.3 ไอลเคนกลุ่มฟรูติโอดส	5
2.4 ภาพดัดขาวงหัลลัสไอลเคน	6
2.5-ก โครงสร้างกายนอก isidia	8
2.5-ข โครงสร้างกายใน isidia	8
2.6-ก โครงสร้างกายนอก soredia	8
2.6-ข โครงสร้างกายใน soredia)	8
2.7-ก ผลแบบ lecanorine	8
2.7-ข ผลแบบ lecideine	8
2.7-ก โครงสร้างกายในของผลแบบ lecanorine และ lecideine	8
2.8 lirellate apothecia	9
2.9-ก perithecia	9
2.9-ข โครงสร้างกายในของผลแบบ perithecia	9
3.1 แผนที่แสดงพื้นที่ศึกษาในบริเวณรอบโรงไฟฟ้าแม่เมะ	29
3.2 ชุมชนภูมิเคลื่ยในแต่ละเดือนของจังหวัดลำปาง ในช่วงเดือน มกราคม 2551 – กรกฎาคม 2552	32
3.3 ความชื้นสัมพัทธ์ในอากาศเฉลี่ย ช่วงเดือนมกราคม 2551 – กรกฎาคม 2552	33
3.4 ปริมาณน้ำฝนรายเดือน ช่วงเดือนมกราคม 2551 – กรกฎาคม 2552	33
3.5 ทิศทางลมที่พัดผ่านพื้นที่จังหวัดลำปาง ช่วงมกราคม 2551 – กรกฎาคม 2552	34
3.6 ทิศทางลมที่พัดผ่านพื้นที่จังหวัดลำปาง ในเดือนกุมภาพันธ์ถึงกรกฎาคม 2552	35
3.7 การวางกรอบสำรวจน์ (grid frame) บนลำต้นของต้นมะม่วง	37
3.8 การวางหลอดเก็บตัวอย่างอากาศ	40

สารบัญภาพ (ต่อ)

ภาพ	หน้า
4.1 จำนวนชนิดของ ไอลเคนกลุ่มครัล โടสและ ไอลเคนกลุ่ม โพลิโอส ในแต่ละพื้นที่ศึกษา	49
4.2 การจัดกลุ่มพื้นที่ศึกษา (Cluster Analysis)	50
4.3 ชนิด ไอลเคนที่พบในกลุ่มพื้นที่ศึกษาที่ได้จากการจัดกลุ่ม (Cluster Analysis)	50
4.4 ค่า pH โดยเฉลี่ยของเปลือกต้นมะม่วงในแต่ละพื้นที่ศึกษา	52
4.5 ความสัมพันธ์ระหว่างค่า pH เปเลือกไม้กับดัชนีความหลากหลายของ ไอลเคน ในพื้นที่ศึกษา	53
4.6 จำนวนทิศทางบนต้นมะม่วงที่พบ ไอลเคนมากที่สุด	54
4.7 ทิศทางบนต้นมะม่วงที่พบ ไอลเคนมากที่สุด ในแต่ละพื้นที่ศึกษา	55
4.8 กราฟมาตราฐานของซัลเฟต ไอออน (SO_4^{2-})	56
4.9 ค่าความเข้มข้นเฉลี่ยของก้าชาซัลเฟอร์ไดออกไซด์ในพื้นที่ศึกษา ในช่วงฤดูแล้งและฤดูฝน	57
4.10 ความสัมพันธ์ระหว่าง SO_2 ฤดูแล้งกับดัชนีความหลากหลายของ ไอลเคน ในพื้นที่ศึกษา	59
4.11 ความสัมพันธ์ระหว่าง SO_2 ฤดูฝนกับดัชนีความหลากหลายของ ไอลเ肯 ในพื้นที่ศึกษา	59
4.12 ความสัมพันธ์ระหว่าง SO_2 ฤดูแล้งกับค่า pH โดยเฉลี่ยของเปลือกไม้ในพื้นที่ศึกษา	60
4.13 ความสัมพันธ์ระหว่าง SO_2 ฤดูฝนกับค่า pH โดยเฉลี่ยของเปลือกไม้ในพื้นที่ศึกษา	60
ข 1 ไอลเคนกลุ่ม โพลิโอส	80
ข 2 ไอลเคนกลุ่ม ครัล โಟส	82
จ 1 โคมาร์โtopicrogram ของสารละลายน้ำซัลเฟตมาตราฐาน ความเข้มข้น 1.0 ppm	93
จ 2 โคมาร์โtopicrogram ของสารตัวอย่าง ที่ทำการตรวจเป็นเวลา 7 วัน	93

อักษรย่อและสัญลักษณ์

อักษรย่อและสัญลักษณ์

ความหมาย

SO_2	ซัลเฟอร์ไดออกไซด์
NO_x	ไนโตรเจนออกไซด์
NO_2	ไนโตรเจนไดออกไซด์
CO_2	คาร์บอนไดออกไซด์
CO	คาร์บอนมอนอกไซด์
PM_{10}	ฝุ่นละอองขนาดเล็กเส้นผ่าศูนย์กลางน้อยกว่า 10 ไมโครเมตร
K	เคลวิน
kPa	กิโลปascal
TEA	ไตรเอทานามีน
DI	น้ำประปาจากไ้อ่อน
N	ทิศเหนือ
NE	ทิศตะวันออกเฉียงเหนือ
E	ทิศตะวันออก
SE	ทิศตะวันออกเฉียงใต้
S	ทิศใต้
SW	ทิศตะวันตกเฉียงใต้
W	ทิศตะวันตก
NW	ทิศตะวันตกเฉียงเหนือ
PE	โพลีเอทธิลีน
MPa	เมกะปascal
SD	ค่าเบี่ยงเบนมาตรฐาน
pH	ค่าความเป็นกรด-ด่าง
sp.	species (มีหนึ่งชนิด)

spp.	species (มีพัฒนคิด)
cf.	confer (คล้าย)
aff.	affinis (คล้าย)
<i>et al.</i>	et alii (และคณะ)
m	เมตร
m^2	ตารางเมตร
cm	เซนติเมตร
mm	มิลลิเมตร
s	วินาที
mol	โมล
μm	ไมโครเมตร
μl	ไมโครลิตร
μg	ไมโครกรัม
$ mM$	มิลลิโมล
%	เปอร์เซ็นต์
$^{\circ}C$	องศาเซลเซียส
$mol / cm^2 / s^1$	โมล/ตารางเซนติเมตร/วินาที
mol / cm^3	โมล/ลูกบาก็ศเซนติเมตร
$\mu g/m^3$	ไมโครกรัม/ลูกบาก็ศเมตร
m^2/s	ตารางเมตร/วินาที
ml/min	มิลลิลิตร/นาที
mg/l	มิลลิกรัม/ลิตร
ppm	ส่วนในล้านส่วน
ppb	ส่วนในพันล้านส่วน
ppbv	ส่วนในพันล้านส่วน โดยปริมาตร

บทที่ 1

บทนำ

โรงไฟฟ้าแม่เมะเป็นแหล่งพลังงานไฟฟ้าขนาดใหญ่ มีกำลังผลิตปัจจุบันจำนวน 2,400 เมกะวัตต์ จ่ายไฟฟ้าสู่หัวน้ำภาคเหนือ ภาคกลาง และภาคตะวันออกเฉียงเหนือ ใช้ถ่านหิน ก๊าซในตัวเป็นเชื้อเพลิงปีลประมวล 16 ล้านตัน (หน่วยงานสารสนเทศ โรงไฟฟ้าแม่เมะ, 2552) ซึ่ง ถ่านหินเป็นเชื้อเพลิงประเภทฟอสซิลอย่างหนึ่ง ที่มีส่วนประกอบของสารประกอบคาร์บอน และสารประกอบอื่นๆ เช่น ไฮโตรเจน ออกซิเจน ในไตรเจน และกํามะถัน เป็นต้น โดยส่วนใหญ่มีการใช้ถ่านหินเป็นเชื้อเพลิงในการผลิตไฟฟ้า อุตสาหกรรมปูนซีเมนต์ และอุตสาหกรรมที่ใช้หม้อไอน้ำ ในการเผาไหม้ถ่านหินจะมีการปล่อยก๊าซซัลเฟอร์ไดออกไซด์ (SO_2) ในไตรเจนออกไซด์(NO_x) คาร์บอนไดออกไซด์ (CO_2) คาร์บอนอนออกไซด์ (CO) ฝุ่นละออง และควัน (สำนักงานคณะกรรมการนโยบายพลังงานแห่งชาติ, 2551) โดยเฉพาะก๊าซซัลเฟอร์ไดออกไซด์ที่เกิดจากการเผาไหม้ของเชื้อเพลิงถ่านหินนี้ เป็นมลพิษอากาศที่เป็นส่วนประกอบหลักของฝุ่นกรด ซึ่งเป็นอันตรายที่จะส่งผลกระทบต่อระบบ唿ใจ และเป็นสาเหตุที่ก่อให้เกิดโรคเกี่ยวกับระบบทางเดินหายใจของมนุษย์ (Yang *et al.*, 1997) ในปี พ.ศ. 2535 เกิดภาวะพิษทางอากาศในระดับที่รุนแรง อันเนื่องมาจากการระบายน้ำก๊าซซัลเฟอร์ไดออกไซด์ของโรงไฟฟ้าแม่เมะ สาเหตุเนื่องจากเกิดความกดอากาศสูงจากประเทศไทยในแต่ละฤดูกาล ประเทศไทยและสภาพอากาศปีคึกคัก ทำให้ก๊าซซัลเฟอร์ไดออกไซด์สะสมตัวอยู่ในระดับต่ำ และกระจายไปยังพื้นที่ชุมชนใกล้เคียงบริเวณหมู่บ้านสนป่าดบันสนเด่น และบ้านเมือง ทำให้ประชาชนเจ็บป่วย พิษและสัตว์เสียชีวิต ได้รับความเสียหายเป็นจำนวนมาก และปี พ.ศ. 2541 ได้เกิดเหตุการณ์ชารอยขึ้นอีกรั้ง (กรมควบคุมมลพิษ, 2552) การไฟฟ้าฝ่ายผลิตแห่งประเทศไทย จึงมีมาตรการในการคุ้มครองรักษาคุณภาพสิ่งแวดล้อม โดยมีการติดตั้งเครื่องดักจับฝุ่นที่โรงไฟฟ้าเพื่อกรองฝุ่นจากการเผาไหม้ถ่านหินในตัวก่อนที่จะระบายน้ำ ก๊าซซัลเฟอร์ไดออกไซด์ ไว้ตามหมู่บ้านต่างๆ รวม 12 จุด (การไฟฟ้าฝ่ายผลิตแห่งประเทศไทย, 2551) แม้ว่าทางโรงไฟฟ้าจะมีการควบคุมด้านมลพิษทางอากาศอย่างเคร่งครัด โดยเฉพาะอย่างยิ่งการปล่อยก๊าซซัลเฟอร์ไดออกไซด์ออกสู่บรรยายอากาศ มีสถานีตรวจอากาศเพื่อตรวจสอบค่าปริมาณก๊าซซัลเฟอร์ไดออกไซด์เฉลี่ย 24 ชั่วโมง เพื่อรายงานคุณภาพอากาศบริเวณพื้นที่ อ. แม่เมะ เป็นประจำทุกเดือน (หน่วยงานสารสนเทศ โรงไฟฟ้าแม่เมะ, 2552) เพื่อนำไปใช้ในการติดตั้งเครื่องดักจับฝุ่นในอนาคต

ที่มีต่อชุมชนโดยรอบ อย่างไรก็ตามวิธีการวัดระดับของสารมลพิษโดยใช้เครื่องมือตรวจสอบทำให้ทราบค่าปริมาณของสารมลพิษที่อยู่ในอากาศที่ชัดเจน แต่ไม่สามารถบ่งบอกถึงผลกระทบจากสารมลพิษต่อสิ่งมีชีวิตและระบบนิเวศได้ รวมทั้งเครื่องมือที่ใช้ส่วนใหญ่มีวิธีการที่ซับซ้อนและมีราคาแพง อาจไม่เหมาะสมกับชุมชนทั่วไปที่ต้องการทราบถึงคุณภาพอากาศในพื้นที่ของตน ในขณะที่การใช้สิ่งมีชีวิตเป็นตัวบ่งชี้ทางชีวภาพ (Bioindicator) ในการติดตามตรวจสอบคุณภาพอากาศนั้น สามารถตรวจสอบผลกระทบจากมลพิษต่อสิ่งมีชีวิตและระบบนิเวศได้โดยตรง ไม่ต้องอาศัยเครื่องมือที่ซับซ้อนและใช้งบประมาณน้อยกว่า (ปานี, 2545)

ໄລເຄີນເປັນສິ່ງມີຈົດຕະວິດທີ່ມີຄວາມອ່ອນໄຫວຕ່ອງການເປັນແປງຂອງຄຸນພາພາກສາ (ກົມທຽບ ແລະ ອົງນາດ, 2550) ມີຄວາມໄວ້ຕ່ອມລົມພິທາງອາກາສ ເຊັ່ນ ອອກໃຫ້ດີຂອງຜູ້ເກົ່າ ອອກໃຫ້ດີຂອງໃນໂຕຮົງ ພຸລູອອີຣີ ໂລະຫນັກ ເປັນຕົ້ນ ອີກທີ່ໄມ່ກຳນົດກຳນົດຕ່ອມລົມພິທາງອາກາສ ຈຶ່ງຄູກນຳນາໃຊ້ເປັນຕົ້ນບໍ່ທີ່ໄດ້ກຳນົດຕ່ອມລົມພິທາງອາກາສຢ່າງແພ່ວຫລາຍ (Pomphueak, 2005) รวมທັງການໃຊ້ໄລເຄີນເປັນຕົ້ນປັບປຸງທີ່ທຳມະນຸດໃນພື້ນທີ່ເບີຕ້ອນເຊັ່ນກາກເໜືອຂອງປະເທດໄກ (Saipunkaew *et al.*, 2007) ຈຶ່ງເປັນວິທີທີ່ສາມາດຮັດໃຫ້ຍ່າງຮົດເຮົວ ຮາຄາໄມ່ແພ່ງ ແລະສາມາດຮັດໃຫ້ຍ່າຍພິທາງຕ່ອງສຸຂພາພອນນຸ່ມຍີໄດ້ ໄລເຄີນມີອັດຕາການເຕີບໂຕທີ່ໜ້າ ມີຈົດຕະວິດຫາວານາຈຶ່ງສາມາດໃຊ້ເປັນຕົ້ນບໍ່ທີ່ຂອງມົມພິທາງອາກາສ ອ້າງສາມາດໃຊ້ປ່ວງນອກຖື່ນສຸກວະຂອງສິ່ງແວດລື້ອນໄດ້ ອີກທີ່ຍັງມີການຕອບສັນອອງຢ່າງຮົດເຮົວຕ່ອງຮັດກຳນົດມົມພິທາງອາກາສດ້ວຍ (Loppi *et al.*, 2004) ໂດຍເພາະຢ່າງຍິ່ງກໍ່າຊ້າຜູ້ເກົ່າ ໄດ້ອອກໃຫ້ດີທີ່ເກີດຈາກການເພາໄໝນ້ຳຕ່ານຫິນຫຼືການເພາໄໝນ້ຳນັ້ນເຊື້ອເພີ້ນນັ້ນ ເປັນມົມພິທາງຫລັກທີ່ມີພິທາງຕ່ອງໄລເຄີນ (ปานี, 2545) ແລະສ່ວນພິທາງຕ່ອງການກະຈາຍຕົວຂອງໄລເຄີນໃນພື້ນທີ່ເມືອງແລະອຸດສາຫກຮົມ (Hawksworth and Rose, 1976)

ສໍາຫັນການຕິດຕາມຕ່ວງສອນຄຸນພາສິ່ງແວດລື້ອນນັ້ນ ກວ່າມີການຕ່ວງສອນທັງທາງເຄີມກາຍພາພແລະທຳມະນຸດຂຶ້ວພາພຄວບຄຸກັນໄປ ເພື່ອໃຫ້ໄດ້ຂໍ້ມູນທີ່ໃນເຊີງປົກມາພະແນກ ຈະໃຫ້ໄດ້ພິທາງຕິດຕາມຕ່ວງສອນທີ່ສມນູຮົລ໌ ມີຄວາມຄູກຕ້ອງ ແມ່ນຍໍາ ແລະນ່າເຫຼື້ອດື່ອນາກຍິ່ງເຂື້ນ (ວະນາຮັກຍີ, 2551) ການຕ່ວງສອນມົມພິທາງອາກາສຂອງພື້ນທີ່ນັ້ນ ໄນສາມາດໃຊ້ຄວາມຫລາກຫລາຍຂອງໄລເຄີນເພີ້ນຢ່າງເດືອນໄດ້ ຕ້ອງອາຫັນຂອງມູນການຕ່ວງສອນມົມພິທາງໃນພື້ນທີ່ຮ່ວມດ້ວຍ (Saipunkaew *et al.*, 2005) ໃນງານວິຈີຍກົງນີ້ຈຶ່ງມີການການຕ່ວງສອນທຳມະນຸດຂຶ້ວພາພໂດຍການໃຊ້ໄລເຄີນເປັນຕົ້ນປັບປຸງທີ່ທຳມະນຸດ ແລະມີການຕ່ວງສອນທຳມະນຸດຕ່ານເຄີມກາຍພາໂດຍການຕ່ວງປົກມາພະແນກກໍ່າຊ້າຜູ້ເກົ່າ ໄດ້ອອກໃຫ້ດີ ໂດຍໃຊ້ເຖິງກົງນີ້ເກີດກຳນົດຕ່ອມລົມພິທາງຕ່ອງຢ່າງແບບແພສ໌ຊີຟ ເພື່ອປ່ວງນອກຂໍ້ມູນໃນເຊີງຄຸນພາພແລະເຊີງປົກມາພະແນກ ກົກກົກໄປ ອ່າງໄຣກ໌ຕາມຍັງ ໄນມີການສຶກນາຍ່າງໜັດເຈັນຄື່ນນິດແລະຈຳນວນຂອງໄລເຄີນແລະຄວາມສັນພັນຮັກປົກມາພະແນກກໍ່າຊ້າຜູ້ເກົ່າ ໄດ້ອອກໃຫ້ດີໃນພື້ນທີ່ບໍລິເວນໂຮງໄຟຟ້າແມ່ເມາະ ຮ່ວມທັງໝົດຂອງໄລເຄີນທີ່ກຳນົດກຳນົດຕ່ອມລົມພິທາງອາກາສໃນບໍລິເວນດັ່ງກ່າວ່າ ເພື່ອໃຊ້ເປັນຂໍ້ມູນພື້ນຖານໃນການສຶກນາ

ໄລເຄນໃນການເໜືອຂອງປະເທດໄທຍຕ່ອໄປ ອີກທັງບັນດາມາຮັດນຳຂໍ້ອມູລໄປໃຊ້ໃນກາງວາງແພນການ
ຈັດກາງຄຸນກາພສິ່ງແວດລ້ອມໃນພື້ນທີ່ໄດ້ຮັບຜົດກະທບຈາກນລພິຍາກາສ ແລະສາມາຮັດໃຊ້ໄລເຄນເປັນ
ສ້າງຄູາມເຕືອນລ່ວງໜ້າກ່ອນທຶນລພິຍາກາສຈະມີຜົດຕ່ອປະຫາຊນໃນຫຼຸນຫຼນ

ວັດຖຸປະສົງຂອງການສຶກສາ

1. ເພື່ອສໍາຮັງຄວາມຫລາກຫລາຍຂອງໄລເຄນບຣີເວັບໂຮງໄຟຟ້າແມ່ເມາະ ແລະຕຽບຈັດ
ປຣິມານກໍ້າໜັດເຝອຣີໂດຍອີກໃຊ້ໃນບຣີເວັບໂຮງໄຟຟ້າແມ່ເມາະ
2. ເພື່ອສຶກສາຄວາມສັນພັນຮ່ວ່າງຄວາມຫລາກຫລາຍຂອງໄລເຄນກັບປຣິມານກໍ້າໜັດເຝອຣີ-
ໂດຍອີກໃຊ້ໃນບຣີເວັບໂຮງໄຟຟ້າແມ່ເມາະ ແລະຜົດກະທບຂອງນລພິຍາກໂຮງໄຟຟ້າທີ່ມີຕ່ອງກວາມ
ຫລາກຫລາຍຂອງໄລເຄນໃນບຣີເວັບດັ່ງກ່າວ

บทที่ 2

ทฤษฎีทางวิทยาศาสตร์

1. นิเวศวิทยาของໄลเคน

ໄลเคนเป็นสิ่งมีชีวิตที่เกิดจากการอยู่ร่วมกันแบบพึงพาอาศัย (Mutualism) ระหว่างรา (mycobiont) และสิ่งมีชีวิตที่สังเคราะห์ด้วยแสงได้ หนึ่งหรือมากกว่าหนึ่งชนิด (Photosynthetic symbiont or photobiont) ในโครงสร้างเฉพาะที่เรียกว่า ทัลลัส (thallus) โดยรากทำหน้าที่ช่วยปกป้อง สาหร่ายจากความแห้งแล้งส่วนสาหร่ายทำหน้าที่สังเคราะห์แสงสร้างอาหาร ซึ่งสิ่งมีชีวิตที่สังเคราะห์ด้วยแสงอาจเป็นสาหร่ายสีเขียวหรือไซยาโนแบคทีเรีย โดยในໄลเคนส่วนใหญ่จะพบ สาหร่ายสีเขียว มีໄลเคนส่วนน้อยที่พบไซยาโนแบคทีเรีย (วนารักษ์ และคณะ, 2550; Gilbert, 2000; Nash III, 1996)

ໄลเคนเกิดขึ้นเมื่อสภาพแวดล้อมไม่เหมาะสมกับการเติบโตของราและสาหร่าย ทำให้สิ่งมีชีวิต ทึ้งสองต้องมาสัมพันธ์กันเพื่อความอยู่รอด ราในໄลเคนไม่สามารถอยู่ได้อย่างอิสระในธรรมชาติ โดยจะอยู่ร่วมกับสาหร่ายในໄลเคนเท่านั้น แต่สาหร่ายส่วนมากอยู่ได้อย่างอิสระ ยกเว้นสาหร่าย สกุล *Trebouxia* ที่พบเฉพาะในໄลเคนเท่านั้น ราที่เป็นองค์ประกอบของໄลเคน จัดอยู่ในกลุ่ม Ascomycetes ประมาณ 98 % และอยู่ในกลุ่ม Basidiomycetes และ Deuteromycotina เพียงเล็กน้อย (กัณฑรีย์ และกวนนาถ, 2550) ซึ่งสามารถทำการเพาะเลี้ยงราในໄลเคนในห้องปฏิบัติการได้ แต่มี อัตราการเติบโตที่ช้า นิการสร้างโครงสร้างเพียงเล็กน้อย และไม่สร้าง fruiting body หรือไม่สร้าง เป็นໄลเคนขึ้นมา (Gilbert, 2000)

ส่วน Photosynthetic symbiont ที่เป็นองค์ประกอบของໄลเคนนี้ ส่วนมากจะเป็นสาหร่าย สีเขียว ได้แก่ สกุล *Coccomyxa*, *Pseudotrebouxia*, *Stichococcus*, *Trebouxia* และ *Trentepohlia* แต่ก็ มีໄลเคนในบางสกุลที่พบไซยาโนแบคทีเรียเป็นองค์ประกอบ ได้แก่ ไซยาโนแบคทีเรียในสกุล *Calothrix*, *Gloeocapsa*, *Nostoc* และ *Scytonema* (Gilbert, 2000) มีໄลเคนเพียงเล็กน้อยเท่านั้นที่ ประกอบด้วยทึ้งสาหร่ายสีเขียวและไซยาโนแบคทีเรีย เรียกโครงสร้างที่มีไซยาโนแบคทีเรียว่า เชฟาโลเดีย (cephalodia) (Hawksworth and Rose, 1976)

ໄลเคนเป็นส่วนหนึ่งของผู้ผลิตในโลก มีตีสันต่างๆ ไม่ว่าจะเป็นสีส้ม เหลือง แดง เขียว เทา และดำ มีขนาดตั้งแต่เล็กกว่า 1 มิลลิเมตร จนถึงยาวมากกว่า 2 เมตร ໄลเคนมีการกระจายตัวกว้างจะ พบร้าในระบบนิเวศน์ โดยปกติมีพื้นผิวของโลกประมาณ 8 % (Purvis *et al.*, 2007) ตั้งแต่

เขตต์อ่อนถึงเขตข้ำโลก โดยภาวะอาศัยบนดินไม่หรือพืชอื่น เจริญได้บนดินและก้อนหิน ໄลเคนบางชนิดในเขตต์อ่อนและเขตต์กึ่งเขตต์อ่อนสามารถเติบโตอย่างรวดเร็วบนผิวดองใบไม้ ໄลเคนส่วนมากจะเกิดขึ้นบนบก มีเพียงเล็กน้อยที่เกิดบริเวณแหล่งน้ำจืดและเกิดในบริเวณเขตต์น้ำขึ้นนำลงตามชายฝั่งทะเล (Nash III, 1996) ໄลเคนในโลกนี้มีประมาณ 25,000 ชนิด ประเทศไทยมีรายงานการพบแล้ว 1,100 ชนิด ซึ่งความหลากหลายนิดของໄลเคนเกิดจากการเป็นสำคัญ (กัณฑรีย์ และกวินาดา, 2550)

1.1 รูปแบบการเติบโตของໄลเคน (growth form)

ໄลเคนสามารถแบ่งเป็นกลุ่มใหญ่ๆ ได้ 3 กลุ่ม คือ (วนารักษ์, 2551; Gilbert, 2000; Budel and Scheidegger, 1996)

1. ໄลเคนพากผุ่งหรือครัสโตส (crustose) มีลักษณะเป็นแผ่นแนบติดเป็นเนื้อเดียวกับวัตถุที่ໄลเคนเกาะอยู่ ไม่สามารถแกะออกจากรากวัตถุที่ໄลเคนเกาะอยู่ได้ (ภาพ 2.1)
2. ໄลเคนพากแผ่นใบหรือโฟลิโอส (foliose) มีลักษณะคล้ายใบไม้ สามารถแกะໄลเคนออกจากรากวัตถุที่เกาะอยู่ได้ บางชนิดมีโครงสร้างที่เรียกว่า ไรซิน (rhizine) ทำหน้าที่ยึดเกาะกับวัตถุต่างๆ (ภาพ 2.2)
3. ໄลเคนพากเส้นสายหรือฟรูติโคล (fruticose) มีลักษณะคล้ายหนวดเครา หรือเป็นพุ่มเล็กๆ ห้อยลงมาจากวัตถุที่ยึดเกาะ มักพบในบริเวณที่มีความชื้นสูง (ภาพ 2.3)



ภาพ 2.1 ໄลเคนกลุ่มครัสโตส



ภาพ 2.2 ໄลเคนกลุ่มโฟลิโอส



ภาพ 2.3 ໄลเคนกลุ่มฟรูติโคล

1.2 โครงสร้างภายในทัลลัสของໄลเคน

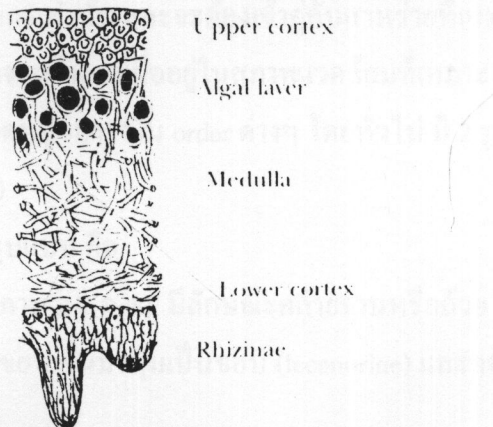
ทัลลัสໄลเคนแบ่งเป็นชั้นชั้นๆ เมื่อตัดตามยาว สามารถแบ่งลำดับชั้นจากบนไปล่างดังนี้ (กัณฑรีย์ และกวินาดา, 2550; วนารักษ์, 2551; Gilbert, 2000) (ภาพ 2.4)

1. upper cortex เป็นชั้นที่มีเส้นใยรากานกันอยู่หนาแน่น ทำหน้าที่ป้องกันໄลเคน บางครั้งอาจมีรูเพื่อใช้แลกเปลี่ยนกําชีวิตได้ง่ายขึ้น
2. algal layer ชั้นมีเซลล์ของสาหร่ายอยู่ปะปนกับเส้นใยของราชีวพันธุ์ ก่อตัวโดยตัวของ

ในบริเวณที่สามารถรับแสงได้เพียงพอสำหรับการสังเคราะห์แสง ขั้นนี้มีปริมาณน้ำมากกว่า 10 % ของทั้ลลัส

3. medulla เป็นชั้นที่เส้นใยรากานกันอยู่อย่างหลวมๆ เป็นแหล่งสำหรับเก็บสะสมน้ำและคาร์บอนไดออกไซด์ที่สร้างจาก photobionts โดยไซยาโนแบคทีเรียจะสร้าง soluble glucose และสาหร่ายสีเขียวจะสร้าง polyols และเก็บ sugar alcohols ซึ่งช่วยป้องกันไอลเคนไม่ให้เป็นน้ำแข็ง (antifreeze) ในสภาพอากาศหนาวเย็น และมีการสะสมสารประกอบทุติกูมิ (secondary metabolites) ของไอลเคน ทำให้มีสีต่างๆ แต่ส่วนมากพบสีขาว สีเหลือง หรือสีส้ม สำหรับไอลเคนกลุ่มครัสโตร์ชั้นนี้จะแนวติดกับพื้นผิวที่ยึดเกาะ

4. lower cortex เป็นชั้นที่มีเส้นใยรากานกันอยู่อย่างหนาแน่น ในไอลเคนบางชนิดชั้นนี้เป็นชั้นที่เกิดโครงสร้างคล้ายรากที่เรียกว่า ไรซิน (rhizine) เพื่อยึดเกาะกับวัตถุ



ภาพ 2.4 ภาพตัดขวางทัลลัสไอลเคน (Gilbert, 2000)

1.3 การสืบพันธุ์ของไอลเคน

ไอลเคนสามารถสืบพันธุ์ได้ทั้งแบบไม่ออาศัยเพศ และแบบอาศัยเพศ ดังนี้

1.3.1 การสืบพันธุ์แบบไม่ออาศัยเพศ (asexual reproduction)

ไอลเคนจะสร้างโครงสร้างที่มีทั้งรากและสาหร่ายอยู่ด้วยกัน เมื่อโครงสร้างนี้หลุดออกจากไอลเคนตัวแม่ และตกลงบนบริเวณที่มีสภาพแวดล้อมที่เหมาะสมกับการเจริญ ก็จะงอกเป็นทัลลัสใหม่ต่อไป โครงสร้างในการสืบพันธุ์แบบไม่ออาศัยเพศ มี 2 ลักษณะ (วนารักษ์, 2551; Gilbert, 2000; Purvis, 2000) ได้แก่

1. isidia เป็นโครงสร้างที่มีลักษณะเป็นแท่งเล็กๆ คล้ายนิ่วเมื่อยื่นผ่านพื้นทัลลัส ไอซิเดียอาจมีรูปร่างหลายแบบ เช่น แบบแท่ง ไม้กระบอก ซิการ์ บางชนิดแตกต่างกันคล้ายປะการัง

เป็นสะเก็ตหรือเป็นก้อนเล็กๆ ซึ่งสามารถหักได้ง่ายเมื่อมีลมแรง น้ำฝน หรือมีแมลงมาสัมผัส (ภาพ 2.5 ก-ข)

2. soredia เป็นโครงสร้างที่มีลักษณะเป็นเม็ดผงคล้ายพัง岳 ปะงอยู่บนผิวหรือขอบของหัลลัส ซึ่งจะมีความหนานาน ชอรีเดียเกิดจากชั้นสาหร่ายของหัลลัสซึ่งเปิดออกโดยการแตกหักหรือฉีกขาด ของชั้น upper cortex ส่วนใหญ่โครงสร้างนี้จะกระจายไปโดยหยดน้ำฝนหรือโดยสัตว์ไม่มีกระดูกสันหลัง หรือโดยลม (ภาพ 2.6 ก-ข)

1.3.2 การสืบพันธุ์แบบอาศัยเพศ (sexual reproduction)

เป็นการสืบพันธุ์ในส่วนของราทืออยู่ในไอลเคน ราจะสร้างสปอร์ชั้นมาซึ่งมีรูปร่างแตกต่างกันไป สปอร์จะอยู่ในโครงสร้างที่เรียกว่า “ผล” (fruiting body / ascocarps) ซึ่งจะมีรูปร่างและสีที่แตกต่างกันไปตามชนิดของไอลเคน เมื่อสปอร์ที่อยู่ในผลแก่จะดีดตัวออกจากไอลเคนด้านแม่ผลจะปล่อยสปอร์ออกมากได้ทุกเวลา โดยปล่อยคิที่สุดในฤดูหนาว ฤดูฝนและฤดูแล้ง ตามลำดับ แต่ระยะทางไปได้เพียงไม่กี่เมตรเท่านั้น และจะต้องเข้ากับสาหร่ายที่เหมาะสมเพื่อเจริญเป็นไอลเคนหัลลัสใหม่ ไอลเคนส่วนใหญ่จะสร้างผลเมื่ออยู่ในสภาพแวดล้อมที่เหมาะสมและมีน้ำใจต่อโครงสร้างของผลจะชั้นอยู่กับหมวดหมู่ของราใน order ต่างๆ โดยทั่วไป มี 2 รูปแบบ คือ (กัมทรี และกวนนาถ, 2550; Gilbert, 2000)

1.3.2.1 apothecia มี 2 รูปแบบ คือ

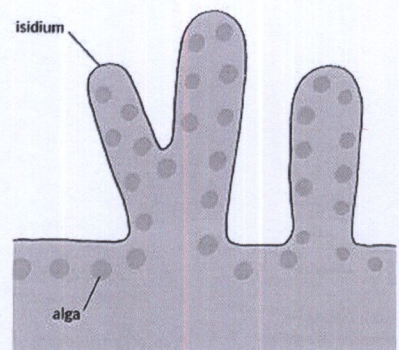
1.1 disc-like apothecia (ภาพ 2.7 ก-ค) มีลักษณะคล้ายจานหรือถ้วย แยกออกได้ 2 แบบ คือ คล้ายจานมีขอบโดยมีสาหร่ายขยายชั้นมาทึบเป็นขอบ (lecanorine) และคล้ายจานไม่มีขอบซึ่งไม่มีสาหร่ายที่ขอบจาน (lecidine)

1.2 lirellate apothecia (ภาพ 2.8) มีลักษณะเป็นเส้นคู่ขนานประกับกัน คล้ายริมฝีปาก มีการเรียงตัวกันหลายแบบ เช่น คล้ายอักษรจีน โบราณ คล้ายรูปดาว

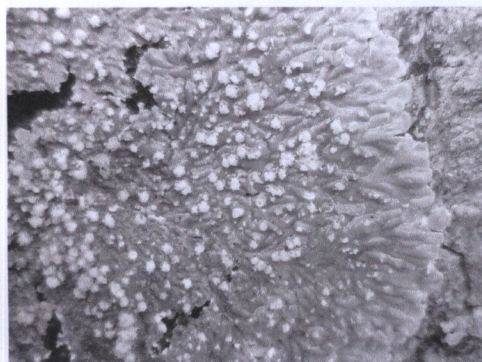
1.3.2.2 perithecia (ภาพ 2.9 ก-ข) ลักษณะภายนอกคล้ายเม็ดตุ่นขนาดเล็ก มีหลากรสี ฝังตัวหรือโผล่เหนือหัลลัส โดยอยู่แบบเดี่ยวหรือแบบกลุ่ม ลักษณะภายนอกคล้ายรูปคนโถ มีช่องเปิดที่ส่วนปลาย (ostiole) สำหรับปล่อยสปอร์ ไอลเคนพวงนี้เรียกว่า pyrenocarps



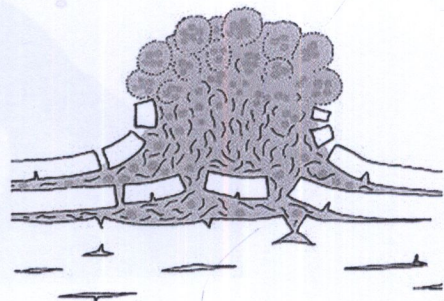
ภาพ 2.5-ก โครงสร้างภายนอก isidia



ภาพ 2.5-ข โครงสร้างภายใน isidia (Purvis, 2000)



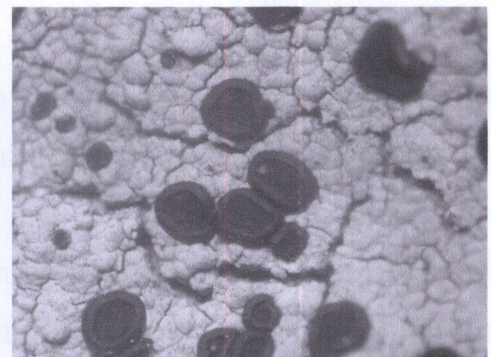
ภาพ 2.6-ก โครงสร้างภายนอก soredia



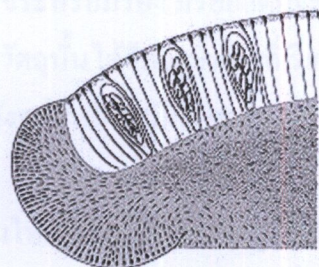
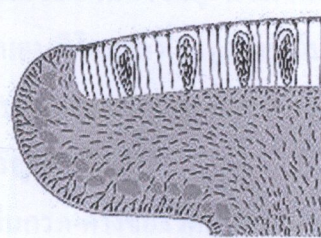
ภาพ 2.6-ข โครงสร้างภายใน soredia (Purvis, 2000)



ภาพ 2.7-ก ผลแบบ lecanorine



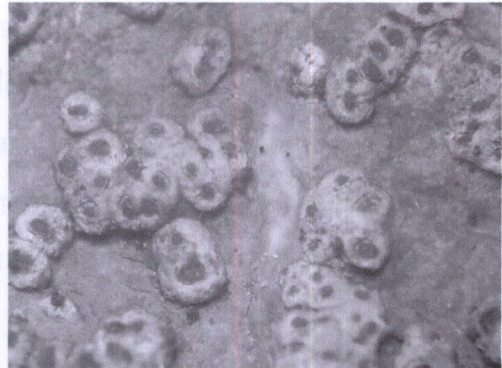
ภาพ 2.7-ข ผลแบบ lecideine



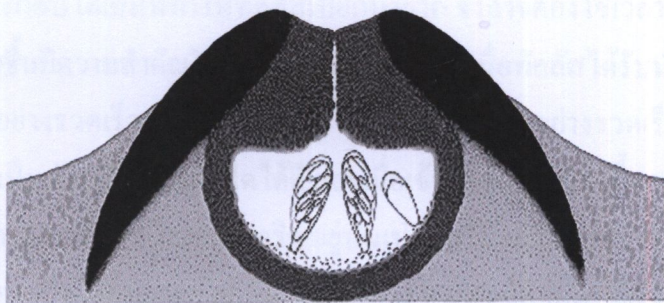
ภาพ 2.7-ค โครงสร้างภายในของผลแบบ lecanorine และ lecideine (Purvis, 2000)



ภาพ 2.8 lirellate apothecia



ภาพ 2.9-ก perithecia



ภาพ 2.9-ข โครงสร้างภายในของผลแบบ perithecia (Purvis, 2000)

1.4 ปัจจัยที่มีผลต่อการเจริญเติบโต

ไลเคนเป็นสิ่งมีชีวิตที่มีการเติบโตช้า มีอัตราการเติบโตเฉลี่ย 0.2 – 20 มิลลิเมตร/ปี (กัณฑรีย์ และกวนนาถ, 2550) ปัจจัยที่มีผลต่อการเจริญเติบโตของไลเคนได้แก่ (วนารักษ์, 2551)

1.4.1 วัตถุที่ไลเคนยึดเกาะ “ได้แก่”

1. ความทนทานของวัตถุ พื้นผิวของวัตถุที่มีความทนทานจะพบไลเคนมากกว่าพื้นผิวที่หลุดลอกง่ายหรือมีอายุสั้น เนื่องจากไลเคนมีโอกาสเติบโตบนวัตถุที่ทนทานได้นานกว่า เช่น พุ่มไลเคนบนบริเวณกึ่งไม้มากกว่าบนใบไม้ในป่าไม่ผลัดใบ

2. ลักษณะของพื้นผิววัตถุ พื้นผิวที่ขรุขระหรือมีร่อง มีรอยแตกจะทำให้โครงสร้างในการสืบพันธุ์ของไลเคนมีโอกาสที่จะถูกกัดไหวนวัตถุนั้นได้ดีกว่าพื้นผิวที่เรียบ เช่น ตามรอยแตกของเปลือกไม้จะพบไลเคนเจริญอยู่ ซึ่งรอยแตกดังกล่าวมักจะมีความชื้นสูงกว่าบริเวณอื่น ทำให้เหมาะสมกับการเจริญของไลเคน

3. ความเป็นกรด-ค่างของวัตถุ ไลเคนส่วนใหญ่เจริญได้ดีบนวัตถุที่มีค่าความเป็นกรด-ค่างไม่สูงหรือต่ำจนเกินไป อย่างไรก็ตาม ไลเคนบางชนิดสามารถเจริญบนวัตถุที่มีคุณสมบัติความเป็น

กรดอ่อนๆ เช่น บันเปลือกต้นสน ในขณะที่บางชนิดจะเจริญบนวัตถุที่มีคุณสมบัติเป็นต่าง เช่น ตามกำแพงคอนกรีต ต้นไม้ที่มีความเป็นกรด-ค่างของเปลือกต่างกันอาจพบໄลเคนต่างชนิดเจริญอยู่

4. ปริมาณของสารอาหารในวัตถุ บันลำต้นของต้นไม้ที่มีน้ำจากเรือนยอด กิ่ง ใน ไหลผ่าน (stem flow) เปลือกไม้บริเวณนี้จะมีสารอาหารสูงเหมือนกับการเจริญของໄลเคน จากการศึกษาในต่างประเทศพบว่าต้นไม้ที่ขึ้นอยู่ใกล้ถนนจะมีการสะสมสารอาหารจากฝุ่นบนเปลือกไม้สูง

1.4.2 บริมาณน้ำหรือความชื้น

ໄลเคนไม่มีโครงสร้างที่ใช้ในการคุณน้ำ หรือกักเก็บน้ำ น้ำจะแพร่เข้าสู่ทัลลัสอย่างรวดเร็ว ทัลลัสที่แห้งอาจอิ่มน้ำได้เพียง 1-2 นาที และส่วนมากจะไม่เกิน 10 นาทีที่อุณหภูมิห้อง ครัสโตร์ บางชนิดมีสารประกอบໄลเคนที่ทำให้ทัลลัสเปียกน้ำยาก จึงอาจต้องใช้เวลาหลายชั่วโมงที่ทำให้ทัลลัสอิ่มน้ำ ความชื้นมีความสำคัญในการเติบโตของໄลเคน เมื่อทัลลัสได้รับน้ำ เมตานอลชีมต่างๆ ภายในจะเพิ่มขึ้นอย่างรวดเร็วทำให้ໄลเคนเติบโต และสิ่งสุดลงอย่างรวดเร็ว เช่นกันเมื่อน้ำหมดดังนั้นในฤดูฝนจะเป็นช่วงที่ໄลเคนเติบโตได้ดี และเมื่อเข้าสู่ฤดูแล้งความชื้นลดลง อัตราการเติบโตของໄลเคนจะลดลงและพักตัว ໄลเคนที่เจริญอยู่บนเปลือกไม้จะได้รับความชื้นจากภายในต้นไม้ และความชื้นที่มาจากการปั๊กภายนอก เช่น น้ำฝน น้ำค้าง คุณสมบัติของเปลือกไม้ที่แตกต่างกัน เช่น ความหนาแน่น ความพรุน ลักษณะผิวของเปลือกไม้ ทำให้เปลือกไม้มีคุณสมบัติในการคัดซับน้ำ ต่างกัน

1.4.3 แสง

เป็นปัจจัยที่สำคัญในการสังเคราะห์แสงของสาหร่ายในໄลเคน จากการศึกษาของหน่วยวิจัยໄลเคนของมหาวิทยาลัยรามคำแหง พบร่วมแสงในช่วงเช้ามีความสำคัญต่อการเติบโตของໄลเคน เนื่องจากทัลลัสได้ดูดซับน้ำจากบรรบากาศและลม ไว้ตลอดคืน ทำให้มีวัตถุคิดที่ใช้ในการสังเคราะห์แสงในช่วงเช้าໄลเคนได้รับแสงที่เหมาะสม จึงทำการสังเคราะห์แสงได้ ซึ่งจะสุดลงเมื่อน้ำหมดไปจากทัลลัส หลังจากนั้นໄลเคนจะเข้าสู่การพักตัว และจากการศึกษาริเวณภาคเหนือตอนบนพบว่า จะพบໄลเคนมากบนลำต้นไม้ทางทิศตะวันออก ทิศเหนือ แต่พบน้อยในทิศตะวันตกและทิศใต้ซึ่งคาดว่า ในทิศตะวันตก ทิศใต้ ได้รับแสงในปริมาณมากในช่วงบ่าย ทำให้ความชื้นบนวัตถุที่ໄลเคนเกาะอยู่ตื้่า อย่างไรก็ตามต้องสังเกตสภาพทั่วไปด้วย ตามป่าไปร่องจะพบໄลเคนเจริญอยู่บนลำต้นของต้นไม้ ในขณะที่ป่าทึบที่มีแสงสว่างส่องลงมาเพียงเล็กน้อย อาจมีเพียงໄลเคนกลุ่มที่ชอบที่ร่มเจริญอยู่บนลำต้นด้านล่าง ส่วนด้านบนที่มีแสงเพียงพอ ก็จะพบໄลเคนหลากหลายมากกว่า ในป่าทึบที่ทางของแสงที่ผ่านเข้ามาที่ลำต้นจะไม่สามารถดูโดยปกติมากจะพบໄลเคนในด้านที่มีแสง

1.4.4 อุณหภูมิ

ในห้องปฏิบัติการ ໄລເຄນທີ່ເປັນນ້ຳສາມາດຖານອຸພ່ອກົມໄດ້ຮູ່ງ 35 – 46 ອົງຄາເຊລເຊີຍສ ນັບພະນິຍາດທີ່ໄດ້ນັກກວ່າ 70 ອົງຄາເຊລເຊີຍສເມື່ອທັດລັດແຫ່ງ ອຸພ່ອກົມທີ່ສູງມາກເກີນໄປມີຜລຕ່ອ ກຽບວຸນກາຣຕ່າງໆ ກາຍໃນໄລເຄນ ເຊັ່ນ ລດອັຕຣາກາຣສັງຄຣະໜແສງ ນອກຈາກນີ້ຍັງມີຜລເພີ່ມກາຣສູງເສີຍ ນ້ຳແລະເພີ່ມກາຣຫາຍໃຈຂອງໄລເຄນ ສ່ວນຜລດນີ້ຕ່ອກກາຣເຕີບໂຕ

1.5 ປະໂຍບັນຂອໍໄລເຄນ

ມີກາຣໃຊ້ປະໂຍບັນໄລເຄນໃນດ້ານຕ່າງໆ ມາຕັ້ງແຕ່ຢຸກໂບຮາມ ຜຶ່ງຈໍາແນກໄດ້ດັ່ງນີ້
(ກົມທົມມີ ແລະກວິນາຄ, 2550)

1. ດ້ານອາຫາຣ ໄລເຄນໄມ່ມີແປ່ງແລະເໜຸດລູ ໂລັດທີ່ແທ້ຈິງ ແຕ່ມີສາຣພວກໄລເຄນນິນ (*Lichenin*) ທີ່ພັນເໜຸດຂອງຮາຊີ່ນຳນາມາໃຫ້ເປັນອາຫາຣໄດ້ ໃນຢູ່ໂບຮາມໃຊ້ໄລເຄນປັນເປັນພສມແປ່ງທຳບັນປັງກຣອນ ສໍາຮັບນັກເດີນເຮືອ ເຮັກວ່າ “sea biscuit” ທຳໃຫ້ບັນປັງກຣອນອູ່ທັນທານໄໝໆ ອຸກແມລົງຮັບກວນ ສ່ວນໃນ ພິນແລນດີ່ນໍາໄລເຄນ *Cladonia* sp. ຮູ່ວິ Reindeer moss ພສມກັບແປ່ງໄຣນ໌ (Rye) ໃຊ້ໃນກາຣທຳບັນປັງ ຈາວອີສຣາເອລໃຊ້ *Lecanora esculenta* ປະກອບອາຫາຣຕາມຫລັກສາສານາ ແລະເຮັກວ່າເປັນບັນປັງຈາກ ສວຣຄໍ ເປັນດັ່ນ

2. ສຽງພຸດໃນດ້ານສຸນ່ວຍໄພຣແລະຍາ ຈາວອີປິປີໂບຮາມໃຊ້ໄລເຄນເປັນສ່ວນປະກອບຂອງຍາ ແລະສຸນ່ວຍໄພຣ ມີກາຣຄັ້ນພວໂຕທີ່ບຽນເມື່ອຕະຫຼາດແລະສ່ວນຂອງພື້ນຕ່າງໆ ຮວມທີ່ໄລເຄນ *Evernia furfuracea* ທີ່ມີອາຍປະມາລ 1,700 – 1,800 ປີກ່ອນຄຣິສຕວຣະຍທີ່ 15 ຢູ່ໂປນໍາໄລເຄນຫລາຍໜິດທີ່ໃຊ້ ຮັກຢາໂຣຄ ໄລເຄນທີ່ມີຮສມ ເຊັ່ນ *Pertusaria amara* ອຸກໃຊ້ແຫັນກວິນນິ ໄລເຄນໜິດນີ້ເຄີຍພວກທີ່ອຸທຍານ ແກ່່ຈາຕີບຸນຕາລ ຈັງຫວັດດຳປາງ ໃນປະເທດໄທຢາມມີກາຣໃຊ້ໄລເຄນ “ຝອຍລົມ” (*Usnea* spp.) ເປັນຍາ ສຸນ່ວຍໄພຣໂບຮາມເຊັ່ນກັນ

3. ກາຣໜັກຄຣື່ອງດື່ມແລດກອອສອລໍ ມີກາຣນຳໄລເຄນ *Lobaria pulmonaria* ທີ່ເຕີບໂຕບັນດັ່ນສັນ ນາມກັກທີ່ເນີຍຮ່ານໃນຮອບໃນໄໝນີເຮີຍ ໃນຄຣິສຕວຣະຍທີ່ 19 ມີກາຣໃຊ້ໄລເຄນໃນກາຣທຳຄຣື່ອງດື່ມ ແລດກອອສອລໍ ເຊັ່ນ ໃນສົວເຄນ ໃຊ້ໄລເຄນຫລາຍໜິດ ໄດ້ແກ່ *Cladonia rangiferina*, *Cetraria islandica*, *Alectoria jubata*, *Physia ciliaris*, *Ramalina fraxinea* ແລະ *Usnea florida* ເປັນດັ່ນ ນາຜ່ານກຣມວິທີ ຕ່າງໆ ເພື່ອໃຫ້ໄລເຄນນິນແປ່ລືຍເປັນນ້ຳຕາລກູໂຄສແລ້ວຈຶ່ງໜັກໃຫ້ເປັນແລດກອອສອລໍ

4. ໄລເຄນເປັນສີຍ້ອມ ໄລເຄນໃຫ້ສີຕ່າງໆ ຈຶ່ງໜັກໃຫ້ເປັນສີຍ້ອມມານານດັ່ງແຕ່ສັນຍີປິປີໂບຮາມ ໄລເຄນປະມາລ 20 ຊົນດີ ໃຫ້ສີທີ່ເຮັກວ່າ “ອອຊີລົດ” (orchid) ເປັນໂທນສີມ່ວງ ໂດຍປະເທດໄຮ່ງເສດແລະ ຂອລແລນດີ່ເປັນປະເທດທີ່ເຄີຍພລິຕສີເຫັນຈຳກັບໄລເຄນໃນເຮີງອຸຫາກຮຽນ ສີຈາກໄລເຄນໃຊ້ຍ້ອມເສັ້ນໄຍ ຈາກສັດວ່າ ເຊັ່ນ ຂນສັດວ່າແລະໄໝນໄດ້ ແຕ່ຍ້ອມເສັ້ນໄຝຈາກພື້ນ ເຊັ່ນ ຜ້າຍໄມ່ໄດ້ ນອກຈາກນີ້ຍັງມີໄລເຄນອີກ

helycnum ที่ให้สีข้มต่างๆ เช่น สีแดง สีน้ำตาลแดง สีเหลืองน้ำตาล สีน้ำตาล สีเหลือง

5. ไลเคนในน้ำหอม ในฝรั่งเศสใช้ไลเคน *Evernia prunastri* ซึ่งเรียกว่า oak moss ผสมในน้ำหอม ให้กลิ่นชื่นใจและติดทนนาน

6. ไลเคนทำความสะอาดผิว ในศตวรรษที่ 17 มีการใช้ผงจากไลเคน *Ramalina calciaris* ในการทำให้ผิวสะอาดปราศจากรังแค

7. การฟอกย้อม คุณสมบัติในการเป็นแอดสตอรินเจนของ *Cetraria islandica* และ *Lobaria pulmonaria* ทำให้ถูกนำมาใช้ในการฟอกผ้า

8. พิษของ ไลเคน ไลเคนผลิตกรดอินทรีย์หลายชนิดซึ่งอาจมีสารเพื่อ恩แต่ไลเคนที่มีพิษมีเพียง 2 ชนิด คือ *Letharia vulpina* และ *Cetraria pinastrii* ซึ่งชาวญี่ปุ่นเนื้อใช้เบื้องสุนัขจึงออก

9. การใช้ไลเคนบอกอายุหิน และ โบราณวัตถุ เมื่อผิวน้ำไว้วัตถุเริ่มเปิดหรือสัมผัสอากาศ ไลเคนจะเข้ามาเกาะอาศัยและเติบโต มีขนาดเพิ่มขึ้นตามอายุ การคิดตามตรวจสอบอัตราการเติบโต ทำให้สามารถประเมินอายุของวัตถุนั้นได้ วิธีนี้เรียกว่า “ไลเคน โนเมตรี”(Lichenometry) ใช้ประเมินอายุหินและโบราณสถาน ในกรณีของหันหลังรายผู้บรรพบุรุษที่ปราสาทหินพนมรุ้ง ก็ได้ใช้ไลเคนเป็นส่วนหนึ่งของข้อมูลประกอบในการทดสอบ

10. การใช้ไลเคนเป็นดัชนีบ่งบอกคุณภาพอากาศ ไลเคนอ่อนไหวต่อการเปลี่ยนแปลงของคุณภาพอากาศ จึงถูกใช้เป็นดัชนีบ่งบอกคุณภาพอากาศอย่างแพร่หลาย

1.6 ผลกระทบของซัลเฟอร์ไดออกไซด์ต่อไลเคน

ในศตวรรษที่ผ่านมา ก๊าซซัลเฟอร์ไดออกไซด์ (SO_2) เป็นมลพิษหลักที่เป็นอันตรายและมีผลต่อการกระจายตัวของ ไลเคน ในพื้นที่เมืองและอุตสาหกรรม (Haworth and Rose, 1976) โดยมีแหล่งกำเนิดหลักมาจากการเผาไหม้ โดยเฉพาะการเผาไหม้จากโรงไฟฟ้าถ่านหิน โดยมลพิษนี้จะเคลื่อนที่ไปได้เป็นระยะทางที่ไกล ตามรูปแบบของลม

SO_2 เป็นก๊าซที่ละลายน้ำได้ง่าย โดยสามารถรวมตัวกับน้ำฝนในบรรยากาศ หรือความชื้นภายในพนังเซลล์ของทัลลัส ไลเคน ที่เป็นผิว พนังเซลล์ของ ไลเคนมีลักษณะบางจึงไม่เป็นอุปสรรคต่อการแพร่ของก๊าซ SO_2 ที่จะผ่านเข้าสู่ทัลลัส ได้อย่างรวดเร็ว ทั้งในสถานะก๊าซ ได้แก่ SO_2 และ SO_3 และสถานะสารละลาย ได้แก่ sulphate (SO_4^{2-}), sulphite (SO_3^-) และ bisulphate ion (HSO_4^-) หรือ sulphurous acid (H_2SO_3) ซึ่งจะเป็นสารชนิดใดขึ้นอยู่กับ pH ของเซลล์ ไลเคน โดย SO_2 จะเข้าไปรับภาระกระบวนการเมtabolism ต่างๆ ใน ไลเคน ได้แก่ photosynthesis, respiration (Haworth and Rose, 1976) และ nitrogen fixation ก๊าซ SO_2 จะมีผลต่อเซลล์ของสาหร่าย โดยเข้าไปทำลายคลอโรฟิลล์อี แล้วเปลี่ยนเป็นพีโอลีฟินอี เนื่องจากสูญเสียธาตุแมกนีเซียม (Mg) หรือไปทำลาย

เมื่อหุ่มเซลล์ของคลอโรพลาสต์ ทำให้การสร้าง ATP ลดลง และไปยับยั้งเอนไซม์ carboxylase อีกทั้งยังทำให้คลอโรพลาสต์มีรูปร่างผิดปกติ ส่วนการหายใจส่งผลให้อัตราการหายใจลดลง เนื่องจากเกิดการบวนของไม่டอกอนเครีย (Hawksworth and Rose, 1976; Richardson, 1992) นอกจากนี้ความเป็นกรดของก๊าซ SO_2 อาจจะมีผลยับยั้งกระบวนการ nitrogen fixation ในไอลเคน เนื่องจากกระบวนการดังกล่าว มีความไวต่อการเปลี่ยนแปลงของค่า pH โดยค่า pH ที่เหมาะสมอยู่ที่ $\text{pH} = 5$ (Gries, 1996) สำหรับในสภาพแวดล้อมของเขตตัน SO_2 จะเปลี่ยนเป็น SO_4^{2-} อย่างรวดเร็ว และ SO_4^{2-} นี้จะสะสมเป็น particulate matter ในหัลลัสของไอลเคน (Hien *et al.*, 2004 ถึงโดย Saipunkaew *et al.*, 2007) นอกจากนี้ SO_2 ทำให้เกิดความเสียหายต่อกลไกการไหลของพลังงาน และสารตั้งต้นระหว่างสาหร่ายกับรา เช่น เมตาบอลิติซึมของ mannitol, trehalose และ glucose ซึ่งเป็นคาร์โบไฮเดรตที่สาหร่ายสร้างแล้วจะส่งต่อให้กับรา (Kong *et al.*, 1999) เนื่องจากไอลเคนเป็นสิ่งมีชีวิตที่มีจำนวนคลอโรฟิลค์ต่ำกว่าพืชชนิดอื่น ดังนั้นก๊าซ SO_2 จำนวนเพียงเล็กน้อยสามารถสร้างความเสียหายที่ร้ายแรงแก่ไอลเคน โดยทำให้เสียความสมดุลระหว่างสาหร่ายและราที่อยู่ในไอลเคน จนทำให้ไอลเคนตายได้ (Richardson, 1992)

1.7 การใช้ไอลเคนในการติดตามตรวจสอบคุณภาพอากาศ

ไอลเคนเป็นสิ่งมีชีวิตที่มีความไวต่อการเปลี่ยนแปลงของคุณภาพอากาศ จึงถูกใช้เป็นตัวชี้นิรบุคคล บ่งบอกคุณภาพอากาศอย่างแพร่หลาย เนื่องจากไอลเคนได้รับน้ำและแร่ธาตุในการเติบโตจากอากาศ ในสภาพของฝน หมอก น้ำค้าง เมื่ออากาศมีมลพิษและละลายอยู่ในน้ำ จึงเป็นอันตรายต่อไอลเคน โดยตรง ประกอบกับไอลเคนไม่มีไข (wax) และผิวเคลือบคิวติเคิล (cuticle) ช่วยปักป้องโครงสร้างภายใน เช่นเดียวกับพืชชั้นสูง มลพิษจากอากาศซึ่งเข้าไปทำอันตรายต่อเซลล์ของราและสาหร่ายภายในหัลลัส ได้ง่าย ทำอันตรายต่อกระบวนการดำรงชีวิต และทำให้ไอลเคนตายหรือมีการเติบโตผิดปกติ (กัมารี และกวนนาดา, 2550) ในสภาพที่มีความชื้น ไอลเคนมีอัตราเมtabolism ลดลงและกระบวนการต่าง ๆ ภายในเซลล์เพิ่มขึ้น ไอลเคนสามารถทำงานได้ที่อุณหภูมิต่ำ จึงถูกนับว่าได้โดยมลพิษแม้ในช่วงฤดูหนาว นอกจากนี้ไอลเคนมีการเริ่มเติบโตช้า ไม่มีการผลัดใบ และมีชีวิตยืนยาว สามารถสะสมสารพิษไว้ในหัลลัส ซึ่งไม่สามารถขับออกได้ จึงสามารถบอกปริมาณสารพิษที่สะสมได้ (VDI, 1995) การตอบสนองของไอลเคนต่อมลพิษอากาศจะเกิดขึ้นตั้งแต่ระดับเซลล์ (cellular) ระดับตัวตน (individual) ประชากร (population) และกลุ่มสิ่งมีชีวิต (community) การไม่มีคิวติเคิล อย่างปักป้องและไม่มีราก ไอลเคนจึงดูดซับสารจากอากาศทั้งการตกสะสมแบบแห้งและการตกสะสมแบบเปียก (Purvis *et al.*, 2007) ไอลเคนแต่ละชนิดมีความทนต่อมลภาวะทางอากาศได้แตกต่างกัน ไอลเคนกลุ่มฟรูติโคล ทนต่อมลภาวะทางอากาศได้น้อยที่สุด รองลงมาคือกลุ่มโพลิโอส ส่วนไอลเคน

กลุ่มครัสโตสหนต์อมลภาวะทางอากาศได้ดีกว่าไอลเคนในรูปแบบอื่นๆ ที่เป็นชั้นนึงอาจเป็นเพราะโครงสร้างของไอลเคนของไอลเคนกลุ่มฟรุติโโคสมีส่วนที่รับอากาศได้ในทุกทิศทาง ในขณะที่โครงสร้างแบบโพลิโอสและครัสโตสหนต์มีส่วนที่สัมผัสอากาศได้น้อยกว่า (หน่วยวิจัยไอลเคนมหาวิทยาลัยรามคำแหง, 2552)

การใช้ไอลเคนเป็นตัวบ่งชี้ทางชีวภาพต่อมลพิษทางอากาศ สามารถทำได้หลายวิธี เช่น การประเมินการเปลี่ยนแปลงทางสรีริวิทยาหรือทางชีวเคมีในไอลเคน การเปลี่ยนแปลงลักษณะทางสัณฐานวิทยาของไอลเคน (morphological changes) การเปลี่ยนแปลงโครงสร้างของกลุ่มไอลเคน (community) หรือการแทนที่ของสปีชีส์ เป็นต้น (Purvis, 2000)

ในปี ค.ศ. 1866 Nylander นักไอลเคนวิทยาได้สังเกตว่าไอลเคนได้หายไปจากเมืองใหญ่ ที่มีมนพิษอากาศสูง ต่อมานพบว่าก้าชซัลเฟอร์ไดออกไซด์ จากการเผาไหม้มีของถ่านหินในโรงงานอุตสาหกรรมเป็นสาเหตุที่ทำให้ไอลเคนตาย และมีการศึกษาไอลเคนและมนพิษอากาศอย่างต่อเนื่องโดยเฉพาะในเขตอุบลฯ แต่ยังมีการศึกษาอยู่น้อยในเขตร้อน ซึ่งมีลักษณะทางภูมิศาสตร์และภูมิอากาศที่แตกต่างจากเขตอุบลฯ (วนารักษ์, 2551)

Riga-Karandios and Karandios (1998) ทำการประเมินผลกระทบจากโรงไฟฟ้าลิกไนต์โดยเก็บตัวอย่างไอลเคน 3 ชนิด จากพื้นที่เมือง Megalopolis ที่ตั้งอยู่ทางใต้ของ Greece ที่ระยะห่างจากโรงไฟฟ้า 0.5 - 11.5 กิโลเมตร ตามระดับความสูงและทิศทางจากโรงไฟฟ้าที่แตกต่างกัน พบว่าความเข้มข้นของชัลเฟอร์และความเข้มข้นของโลหะหนักในไอลเคนมีความสัมพันธ์ทางลบกับระยะห่างจากโรงไฟฟ้า แสดงให้เห็นว่าความเข้มข้นของผลกระทบลดลงเมื่อระยะห่างจากโรงไฟฟ้าเพิ่มมากขึ้น พบความเข้มข้นของชัลเฟอร์และความเข้มข้นของโลหะหนักในไอลเคนมีความสัมพันธ์ทางบวกกับระดับความสูงของพื้นที่ นอกจากรายงานนี้ยังพบความสัมพันธ์ทางลบระหว่างปริมาณชัลเฟอร์ในทัลลัสกับค่า pH ของไอลเคนทั้ง 3 ชนิด

Hohl *et al.* (2001) ทำการศึกษาการกระจายตัวของ Tardigrades ที่อยู่บนไอลเคนบนต้นโอ๊ก ในพื้นที่เหนืออลอมและได้ล้มของบริเวณรอบโรงไฟฟ้าถ่านหิน Missouri ผลการศึกษาพบว่าปัจจัยสิ่งแวดล้อมซึ่งประกอบด้วยมลพิษทางอากาศ เช่น SO₂ อาจจะมีผลกระทบต่อความหนาแน่น และความหลากหลายของ Tardigrades นอกจากนี้ยังศึกษาไอลเคนถึงระดับสกุล พบว่าไอลเคนในพื้นที่เหนืออลอมและได้ล้มมีความแตกต่างกัน โดยพบไอลเคนทั้งหมด 5 สกุล คือ *Physcia*, *Xanthoria*, *Candelaria*, *Parmelia* และ *Pertusaria* ซึ่งไอลเคนสกุล *Pertusaria* และ *Physcia* เป็นไอลเคนที่พบทั่วไปในพื้นที่ มีไอลเคนเพียง 3 สกุล คือ *Physcia*, *Xanthoria* และ *Parmelia* ที่พบทั้งพื้นที่เหนืออลอม และพื้นที่ได้ล้ม ในขณะที่ *Candelaria* และ *Pertusaria* พบในพื้นที่เหนืออลอมเท่านั้น

van Dobben *et al.* (2001) หาความสัมพันธ์ระหว่างความอุดมสมบูรณ์ของไอลเคนกับความเข้มข้นของมลพิษอากาศในเนเธอร์แลนด์ พบร้าว ก๊าซ SO_2 และ NO_x ในบรรยากาศเป็นปัจจัยสำคัญที่มีผลต่อความหลากหลายของไอลเคน สเปชีส์ของไอลเคนเกือบทั้งหมดคลองเมื่อความเข้มข้นของ ก๊าซ SO_2 และ NO_x เพิ่มขึ้น แสดงให้เห็นว่าไอลเคนเป็นสิ่งมีชีวิตที่สามารถลดมลพิษไว้ในทั้งลักษณะโดยสารท่อนให้เห็นถึงความเข้มข้นของมลพิษในอากาศ

Giordani *et al.* (2002) จัดทำแผนที่ความหลากหลายของไอลเคน เพื่อประเมินผลกระทบของมลพิษอากาศต่อความหลากหลายของไอลเคนในพื้นที่เมดิเตอร์เรเนียน พบรความสัมพันธ์ระหว่างความหลากหลายของไอลเคนกับความเข้มข้นของก๊าซ SO_2 และ NO_x ซึ่งแสดงให้เห็นว่า SO_2 และ NO_x เป็นมลพิษที่สำคัญที่ส่งผลกระทบต่อความหลากหลายของไอลเคน

Loppi *et al.* (2002) จัดทำแผนที่ความหลากหลายของไอลเคน เพื่อใช้บ่งชี้คุณภาพอากาศ ในเมือง Siena ซึ่งตั้งอยู่บริเวณตอนกลางของประเทศอิตาลี พบรความสัมพันธ์ที่เข้มแข็ง เมื่อเทียบกับผลการสำรวจเมื่อปี ค.ศ. 1995 เนื่องจากพนความหลากหลายของไอลเคนมากขึ้น นอกจากนี้ ยังพบว่าปริมาณ SO_2 ในพื้นที่ตั้งแต่ปี ค.ศ. 1993 – 1999 มีแนวโน้มลดลงอย่างชัดเจน และพนความสัมพันธ์เชิงลบระหว่างชนิดของไอลเคนกับปริมาณของ SO_2 อย่างไรก็ตามการประเมินความหลากหลายของไอลเคนใช้ได้กับการติดตามตรวจสอบก๊าซ SO_2 และสามารถใช้คาดการณ์คุณภาพสิ่งแวดล้อมได้ โดยค่าความหลากหลายสูงสอดคล้องกับคุณภาพสิ่งแวดล้อมดี ในขณะที่ค่าความหลากหลายต่ำ ชี้บกคุณภาพสิ่งแวดล้อมไม่ดี โดยกลุ่มของไอลเคนขึ้นอยู่กับมลพิษในอากาศโดย เนพาะ SO_2 และ NO_x

Garty *et al.* (2003) ทำการข่ายปะลูกไอลเคนชนิด *Ramalina lacera* (With.) ไปไว้บริเวณรอบโรงไฟฟ้าอ่านหิน Orot Rabin ประเทศอิสราเอล เป็นเวลา 7 เดือน แล้วตรวจวัดการเปลี่ยนแปลงทางสรีรวิทยาของไอลเคน พบรว่าค่าการนำไฟฟ้าของเยื่อหุ้มเซลล์ซึ่งแสดงถึงปริมาณการรั่วของ K ภายในเซลล์ มีความสัมพันธ์ทางบวกกับปริมาณของ B, Fe, Mg, Mn, Na, Pb, S, Sn และ Ti ความเข้มข้นของก๊าซเอธีลีนซึ่งถูกสร้างขึ้นในไอลเคนภายใต้สภาพกดดันมีความสัมพันธ์ทางบวกกับปริมาณของ Al, Ba, Pb, S และ V และสัมพันธ์ทางลบกับปริมาณของ Cu และ Sn อัตราส่วนของคลอโรฟิลล์ฟลูออร์เรสเซนต์ (F/F_m) ซึ่งแสดงถึงศักยภาพในการผลิตของกระบวนการสังเคราะห์แสงมีความสัมพันธ์ทางลบกับปริมาณ S ซึ่งผลการตรวจวัดที่ได้ เป็นผลมาจากการทางลงที่พัดลมลพิษไปสู่พื้นที่ศึกษาบริเวณรอบโรงไฟฟ้า

Loppi *et al.* (2004) ทำการศึกษาคุณภาพอากาศเมือง Montecatini Terme ประเทศอิตาลี ในช่วงปี ค.ศ. 1993-2000 โดยใช้ความหลากหลายทางชีวภาพของไอลเคน และการสะสมโลหะหนักในไอลเคนชนิด *Flavoparmelia caperata* เป็นตัวบ่งชี้คุณภาพอากาศ พบร่วมกับคุณภาพอากาศของเมือง

ดีขึ้น โดยค่าดัชนีความหลากหลายเพิ่มขึ้น ความเข้มข้นของ โลหะหนักที่สะสมใน ไอลเคนลดลง แหล่งหลักที่ปล่อยมลพิษคือ ยานพาหนะจากการจราจร ซึ่งภายในตัวเองได้มีการเปลี่ยนแปลงระบบการเผาไหม้ของมีเทน ทำให้ปริมาณของ SO_2 ลดลง และมีการใช้น้ำมันเชื้อเพลิงที่ไม่มีสารตะกั่ว ทำให้สารตะกั่วลดลง การศึกษานี้แสดงให้เห็นว่า ถึงแม้ไอลเคนจะมีอัตราการเติบโตช้า แต่ก็มีการตอบสนองอย่างรวดเร็วต่อการลดลงของความเข้มข้นของมลพิษทางอากาศ

Giordani (2007) ทำการศึกษาความหลากหลายของไอลเคนในการติดตามตรวจสอบมลพิษทางอากาศในพื้นที่ป่า พื้นที่ตัวเมืองและรอบเมือง โดยใช้ตัวแปร 12 ตัว ในการทำนายมลพิษทางอากาศในเมือง Genova ซึ่งตั้งอยู่ทางทิศตะวันตกเฉียงเหนือของประเทศอิตาลี พบว่าความหลากหลายของไอลเคนมีความสัมพันธ์กับปริมาณน้ำฝน และอุณหภูมิเฉลี่ยต่อปี ส่วน SO_2 เป็นก้าชหลักที่มีอิทธิพลต่อกำลังหลากหลายของไอลเคนในเขตตัวเมือง โดยพบว่าความหลากหลายของไอลเคนจะเริ่มลดลงเมื่อปริมาณก้าช SO_2 มากกว่า 8 ตัน/ปี และความหลากหลายลดลงจนมีค่าเป็นศูนย์เมื่อปริมาณก้าช SO_2 มากกว่า 15 ตัน/ปี สำหรับพื้นที่ป่า การเก็บเกี่ยวของป่า (harvesting) และไฟป่ามีผลต่อกำลังหลากหลายของไอลเคน ซึ่งจากการศึกษานี้ ยืนยันได้ว่า ความหลากหลายของไอลเคนเป็นตัวบ่งชี้ที่เชื่อถือได้ในการติดตามตรวจสอบมลพิษทางอากาศ

Jeran *et al.* (2007) ใช้ไอลเคนเป็นตัวชี้วัดมลพิษอากาศของป่า Slovenian ในปี ค.ศ. 2000 - 2001 เพื่อเปรียบเทียบกับการสำรวจเมื่อปี ค.ศ. 1991 และ 1992 ซึ่งในการสำรวจครั้งแรกทำการสำรวจปักกลุ่มของไอลเคน สำรวจครั้งหลัง ทำการวิเคราะห์หัวปริมาณของ S, N, As, Br, Ce, Cd, Cr, K, La, Mo, Rb, Sb, Th, U และ Zn ที่สะสมอยู่ในไอลเคนชนิด *Hypogymnia physodes* (L.) Nyl. พบว่าการปักกลุ่มของไอลเคนมีน้อยมาก ในจุดเก็บตัวอย่างประมาณ 70 % พบรากปักกลุ่มของโพลิโอสไอลเคนมีน้อยกว่า 10 % และไม่มีความสัมพันธ์ระหว่างปริมาณของ N, S และธาตุพื้นฐานที่สะสมในไอลเคน *Hypogymnia physodes* (L.) Nyl. กับการปักกลุ่มของโพลิโอสไอลเคน

Munzi *et al.* (2007) ใช้ไอลเคนเป็นตัวบ่งชี้ทางชีวภาพในการศึกษาผลกระทบของมลพิษอากาศต่อกำลังหลากหลายของไอลเคนของกรุงโรม ในช่วงปี ค.ศ. 1982 – 2003 ซึ่งในช่วง 20 ปีที่ผ่านมา ไอลเคนที่พบมีความแตกต่างกันอย่างมีนัยสำคัญ ปัจจุบันสำรวจพบไอลเคน 102 ชนิด ซึ่งเป็นกลุ่มที่ขอบเปลือกไม้ที่เป็นกรด ขอบแสงมาก มีลมและไกลักษณะ โดยพบไอลเคนความหลากหลายสูงในเขตนอกเมืองและทางด้านทิศเหนือของเมือง ไอลเคนมีความหลากหลายน้อยที่สุดในบริเวณกลางเมืองและในด้านตะวันออกและตะวันตกของเมือง ในขณะที่พื้นที่ไอลเคนสูญหาย (lichen desert) ก็มีปริมาณลดลงควบคู่กับการลดลงของก้าช CO , NO_x และ SO_2

1.8 การศึกษาการใช้ไอลเคนบ่งบอกคุณภาพอากาศในประเทศไทย

Saipunkaew (1994) ใช้ไอลเคนเป็นตัวบ่งชี้ทางชีวภาพสำหรับการตรวจสอบผลกระทบจากอากาศในเมืองเชียงใหม่ โดยคำนวณค่าดัชนีคุณภาพอากาศและสร้างแผนที่คุณภาพอากาศ แผนที่บ่งชี้การกระจายตัวของไอลเคนแตกต่างกัน บริเวณที่มีความถี่ของไอลเคนสูงบ่งชี้คุณภาพอากาศดีกว่า บริเวณที่มีความถี่ของไอลเคนต่ำบ่งชี้คุณภาพอากาศต่ำ ระดับคุณภาพอากาศแบ่งได้เป็น 4 ระดับ บ่งชี้บริเวณที่มีผลกระทบทางสุขภาพมากจนถึงผลกระทบทางปานกลาง ไม่มีบริเวณใดในพื้นที่ตรวจสอบที่มีผลกระทบรุนแรงหรือมีผลกระทบต่าหรือมีผลกระทบต่ำมาก

ปาลี (2545) ใช้ไอลเคนเป็นตัวบ่งชี้ทางชีวภาพเพื่อติดตามตรวจสอบพิษทางอากาศในเขตเมืองและนอกเมืองจังหวัดเชียงใหม่ ในปี พ.ศ. 2544 โดยคำนวณค่าดัชนีคุณภาพอากาศและสร้างแผนที่คุณภาพอากาศเปรียบเทียบกับปี พ.ศ. 2536 พบว่าปี พ.ศ. 2544 ของเขตของมลพิษทางอากาศสูง ได้ขยายขอบเขตออกไปในบริเวณรอบนอกเมืองมากกว่าปี พ.ศ. 2536 เป็นการซึ่งให้เห็นว่า มลพิษทางอากาศได้เพิ่มสูงขึ้นกว่าในอดีต และจากการศึกษาปริมาณคลอโรฟิลล์และปริมาณฟีโอลไฟตินในไอลเคนชนิด *Parmotrema tinctorum* (Nyl.) Hale ที่ขึ้นมาไว้ในบริเวณตัวเมืองและรอบนอกเมือง พบว่าไอลเคนที่ขึ้นมาไว้ในบริเวณตัวเมืองซึ่งมีการจราจรหนาแน่น มีกิจกรรมของมนุษย์มาก มีปริมาณคลอโรฟิลล์ต่ำกว่าไอลเคนในบริเวณรอบนอกเมืองซึ่งมีการจราจรที่เบาบางกว่า และยังพบว่าไอลเคนที่อยู่ในบริเวณที่กลางแจ้งมีปริมาณคลอโรฟิลล์เอ สูงกว่าไอลเคนที่อยู่ในบริเวณที่ร่มในขณะที่ปริมาณฟีโอลไฟตินของไอลเคนในที่ร่มสูงกว่าไอลเคนในที่กลางแจ้ง

Pomphueak (2005) ใช้ไอลเคนประเมินคุณภาพอากาศในเขตตัวเมืองและรอบเมืองลำปาง โดยวิธีการระบุค่าความหลากหลายของไอลเคน (lichen diversity values; LDVs) แล้วนำค่าที่ได้ไปจัดกลุ่มลำดับชั้นคุณภาพอากาศ และทำการเก็บตัวอย่างอากาศแบบแพสเซิฟ เพื่อวัดความเข้มข้นของ ก้าชในโตรเจน ไดออกไซด์และก้าชซัลเฟอร์ไดออกไซด์ในแต่ละหน่วยเก็บตัวอย่าง ผลการศึกษาพบไอลเคนทั้งหมด 21 ชนิด ซึ่งเป็น crustose 15 ชนิด และเป็น foliose 6 ชนิด สามารถแบ่งลำดับชั้นคุณภาพอากาศได้ทั้งหมด 8 ชั้น วิเคราะห์หาความสัมพันธ์ของค่า LDVs และความเข้มข้นของ ก้าชซัลเฟอร์ไดออกไซด์พบว่าไม่มีความสัมพันธ์กันอย่างมีนัยสำคัญ แต่ค่า LDVs และความเข้มข้นของ ก้าชในโตรเจน ไดออกไซด์มีความสัมพันธ์กันอย่างมีนัยสำคัญ ดังนั้นก้าชในโตรเจน-ไดออกไซด์ จึงเป็นก้าชที่มีผลต่อค่าความหลากหลายของไอลเคนมากกว่าในพื้นที่ที่ทำการศึกษา

Saipunkaew et al. (2005) ทำการสำรวจไอลเคน 19 พื้นที่ ในจังหวัดเชียงใหม่และพื้นที่รอบเมืองเชียงใหม่ ซึ่งประกอบด้วยพื้นที่ในเมือง อุตสาหกรรม เกษตรกรรม และพื้นที่ป่า ในระดับความสูงจากระดับน้ำทะเล 260 – 1,450 เมตร พบว่า ความหลากหลายของไอลเคนสูงสุดในพื้นที่ป่าที่มีความสูงจากระดับน้ำทะเลมากกว่า 600 เมตร และความหลากหลายของไอลเคนต่ำสุดในพื้นที่เมือง

และเกย์ตระกูล ที่มีความสูงจากระดับน้ำทะเลเลนอยกว่า 400 เมตร ความสูงจากระดับน้ำทะเลของพื้นที่มีอิทธิพลต่อการปักกลุ่มของโพลิโอลีเคนและครัสโටส์โอลีเคน โดยพบว่าพื้นที่ที่มีความสูงจากระดับน้ำทะเลมากกว่า 600 เมตร พนโพลิโอลีเคนเด่นกว่าครัสโටส์ ส่วนพื้นที่ที่มีความสูงจากระดับน้ำทะเล 250 - 400 เมตร พนครัสโटส์โอลีเคนเป็นกลุ่มเด่น การตรวจสอบทางชีวภาพของมลพิษอากาศของพื้นที่ ไม่สามารถใช้ความหลากหลายของโอลีเคนเพียงอย่างเดียวได้ ต้องอาศัยข้อมูลการตรวจสอบมลพิษอากาศในพื้นที่ร่วมด้วย

Saipunkaew et al. (2007) ทำการสำรวจโอลีเคนบนต้นมะม่วงในเขตตัวเมืองและเขตชนบทบริเวณใกล้เคียง ในพื้นที่ภาคเหนือตอนบนของประเทศไทย พบร่วมกันว่าความหลากหลายของโอลีเคนจะต่ำสุดในตัวเมือง ซึ่งเป็นบริเวณที่มีประชากรมากที่สุด นอกจากนี้ความหลากหลายของโอลีเคนยังมีความสัมพันธ์เชิงบวกกับปริมาณน้ำฝน ตัวอย่างโอลีเคนได้รับอิทธิพลจาก PM_{10} มากกว่าก้าชซัลเฟอร์ที่มาจากการกระทำของมนุษย์

แสงรุ่ง (2551) ทำการศึกษาความหลากหลายของโอลีเคนและใช้โอลีเคนเป็นตัวบ่งชี้ในการตรวจสอบคุณภาพอากาศบริเวณรอบโรงไฟฟ้าแม่เมาะ อ.แม่เมาะ จ. ลำปาง ผลการศึกษาพบโอลีเคน 25 ชนิด คัดเลือกความหลากหลายของโอลีเคนมีค่าต่ำสุดในพื้นที่หมู่บ้านสามแมะซึ่งตั้งอยู่ใกล้โรงไฟฟ้ามากที่สุด และคัดเลือกความหลากหลายของโอลีเคนมีค่าสูงสุดในพื้นที่หมู่บ้านคง ซึ่งตั้งอยู่ทางเหนือและมีระยะห่างจากโรงไฟฟ้าออกไป โอลีเคนชนิด *Dirinaria picta*, *Chrysotrichia xanthina*, โอลีเคนในวงศ์ *Graphidaceae* และโอลีเคนกลุ่มครัสโಟส์ที่ไม่สร้าง fruiting body เป็นโอลีเคนที่พบทั่วไปในทุกบริเวณพื้นที่ศึกษา ในพื้นที่ศึกษาทุกพื้นที่พบโอลีเคนในกลุ่มครัสโटส์มากกว่าโอลีเคนกลุ่มโพลิโอลีเคน และพบการฟอกขาวของหัลลัสโอลีเคนในกลุ่มโพลิโอลีเคนชนิด นอกจากนี้ยังพบว่าโอลีเคนส่วนใหญ่ที่เจริญอยู่บนต้นมะม่วงที่ทำการศึกษามักอยู่ในทิศทางที่หลบเลี่ยงจากด้านที่หันเข้าหาโรงไฟฟ้า

2. passive sampling technique

การเก็บตัวอย่างแบบแพสซีฟ อาศัยหลักการ ให้ลองอย่างอิสระของโมเลกุลที่ต้องการวิเคราะห์ จากตัวกลางของตัวอย่างไปยังตัวกลางคุดชัน โดยอาศัยผลของการแ太太กต่างของความต่างศักย์ทางเคมีของสารที่ต้องการวิเคราะห์ระหว่างสองตัวกลาง วิธีนี้สามารถนำไปใช้สำหรับการตรวจหาสารอนินทรีย์และสารอนินทรีย์ทึ่งในอากาศ น้ำ และดิน (Gorecki and Namiesnik, 2002) จากสารนลพิษที่ปนเปื้อนอยู่ในอากาศ จะผ่านเข้าสู่ร่างกายกรองที่ชูนสารละลายที่เป็นตัวดักจับที่เหมาะสม ซึ่งอุปกรณ์ในการเก็บตัวอย่างนี้เรียกว่า passive samplers หรือ diffusive samplers (Santis *et al.*, 1997)

การเก็บตัวอย่างแบบแพสซีฟ มีข้อดี คือ มีประสิทธิภาพสูง มีราคาถูก ขั้นตอนหรือเทคนิคในการเก็บและวิเคราะห์ตัวอย่างง่าย ไม่ยุ่งยากซับซ้อน สารเคมีที่ใช้หาได้ง่ายและมีราคาถูก อุปกรณ์สามารถขยายน้ำได้สะดวก เนื่องจากมีขนาดเด็ก น้ำหนักเบา เงินไม่มีเสียงรบกวน ไม่เด่นสะคุคต่า 丑陋รักษาง่าย สามารถนำกลับมาใช้ใหม่ได้ รวมทั้งไม่ใช้ไฟฟ้าในการเก็บตัวอย่าง จึงสามารถนำไปใช้ได้แม้แต่ในพื้นที่ที่ไม่มีไฟฟ้าใช้ (Cruz *et al.*, 2004; Ferm and Svanberg, 1998; Krochmal and Kalina, 1997a; Santis *et al.*, 1997) อุปกรณ์การเก็บตัวอย่างสามารถจัดเก็บไว้ทั้งก่อนและหลังจากการเก็บตัวอย่างได้นานมากกว่า 10 อาทิตย์ และสามารถส่งไป-กลับ ลึกลงปะบันดิการกลางทางไปรษณีย์ได้ จึงทำให้ได้ข้อมูลที่สมบูรณ์มากขึ้น จึงเหมาะสมสำหรับการติดตามตรวจสอบมลพิษอากาศในหลายพื้นที่พร้อมกัน หรือพื้นที่ที่มีขนาดใหญ่ (Krochmal and Kalina, 1997b)

หลักการแพร่ของก๊าซในเทคนิคการเก็บตัวอย่างแบบแพสซีฟ สามารถอธิบายได้จาก Fick's First Law (Gair *et al.*, 1991) ดังนี้

$$F_1 = -D_{1,2}dc_1/dz \quad (2.1)$$

เมื่อ F_1 = อัตราการ ให้ลงของก๊าซ (the flux of gas) ($\text{mol cm}^{-2} \text{s}^{-1}$)

$D_{1,2}$ = สัมประสิทธิ์การแพร่ของก๊าชนิด 1 และ 2 ($\text{cm}^2 \cdot \text{s}^{-1}$)

c_1 = ความเข้มข้นของก๊าชนิด 1 และ 2 (mol cm^{-3})

z = ระยะทางที่เกิดการแพร่ (cm)

ปริมาณก๊าซที่เคลื่อนที่ (Q_1 mol) ในเวลา t วินาที ผ่านกระบวนการที่มีรัศมี r สามารถคำนวณได้ดังสมการ

$$Q_1 = F_1 (\pi r^2) t \text{ mol} \quad (2.2)$$

เพาะະະນັ້ນ

$$Q_1 = -D_{1,2} (c_1 - c_0) (\pi r^2) t/z \text{ mol} \quad (2.3)$$

เมื่อ c_0 คือ ปริมาณของก๊าซที่ตัวคูดซับสามารถดูดซับได้ เพาะະະນັ້ນ $(c_1 - c_0)/z$ มีค่าเท่ากับ ปริมาณของก๊าซที่ดูดซับได้ต่อความยาวของหลอด (z) ถ้าก๊าซชนิดที่ 1 ถูกดูดซับด้วยตัวคูดซับที่มี ประสิทธิภาพ ดังนั้น c_0 จะมีค่าเท่ากับศูนย์

ดังนั้นจึงสามารถคำนวณหาความเข้มข้นของก๊าซ SO_2 ในบรรยากาศ ในหน่วย $\mu\text{g}/\text{m}^3$ ได้จากสมการ (Plaisance *et al.*, 2002)

$$C (\mu\text{g}/\text{m}^3) = \frac{[Q \times z]}{[(\pi r^2) \times t \times D]} \quad (2.4)$$

เมื่อ C = ความเข้มข้นของก๊าซ ($\mu\text{g}/\text{m}^3$)

Q = ปริมาณของก๊าซที่เคลื่อนที่ในหลอดเก็บ (μg)

z = ความยาวของหลอดเก็บตัวอย่าง (m)

πr^2 = พื้นที่หน้าตัดของหลอดเก็บตัวอย่าง (m^2)

t = ระยะเวลาในการตรวจวัด (s)

D = สัมประสิทธิ์การแพร่ผ่าน (m^2/s)

(สัมประสิทธิ์การแพร่ของ SO_2 คือ $1.27 \times 10^{-5} \text{ m}^2/\text{s}$)

การคำนวณหาปริมาณของก๊าซในหลอดเก็บตัวอย่าง ขึ้นอยู่กับผลผลิตสุดท้ายหลังจาก ทำปฏิกิริยา กับตัวคูดซับ ซึ่งค่า Q ของก๊าซ SO_2 สามารถคำนวณได้จาก สมการ 2.5 ซึ่งได้จากการ วิเคราะห์หาความเข้มข้นของ SO_4^{2-} (ppm) จากการวิเคราะห์ด้วยเครื่องไอออนโกรามาโตกราฟ จากสารสกัดปริมาตร 4 มิลลิลิตร

$$Q (\mu\text{g}) = \text{ความเข้มข้นของ } \text{SO}_4^{2-} (\text{ppm}) \times 4 \text{ ml} \times 64/96 \quad (2.5)$$

การแปลงหน่วยของก๊าซ SO_2 จาก $\mu\text{g}/\text{m}^3$ เป็นหน่วย ppb หรือ ppbv ได้จากสมการ

$$\text{ppb} = \frac{\mu\text{g}/\text{m}^3 \times \text{molecular volume (litres)}}{\text{molecular weight}} \quad (2.6)$$

$$\text{เมื่อ molecular volume} = 22.41 \times \frac{T}{273} \times \frac{101.3}{P}$$

T = อุณหภูมิ (K)

P = ความดันบรรยากาศ (kPa)

หลอดเก็บตัวอย่าง (diffusion sampler) แบบแพสซีฟ ถูกนำมาใช้ครั้งแรกโดย Palmes *et al.* ในปี 1976 เพื่อตรวจวัดปริมาณ NO_2 ในอากาศภายในอาคาร โดยใช้หลอดเก็บตัวอย่างที่มีกระดาษกรองที่ชุบด้วยสารดูดซับอยู่ภายใน ซึ่งพบว่าจำนวนของสารดูดซับต้องได้สัดส่วนกับความเข้มข้นของก๊าซ ไม่เกลูลของก๊าซจะแพร่ไปสู่ตัวดูดซับและอัตราการแพร่จะเกิดขึ้นอย่างต่อเนื่อง (Palmes *et al.*, 1976 ถึงโดย Perkauskas and Mikelinskiene, 1998) หลังจากนั้นก็มีผู้สนใจนำเทคนิคนี้ไปประยุกต์ใช้กันอย่างกว้างขวาง เช่น การตรวจวัดก๊าซชั้โนฟอร์ไดออกไซด์ ในโตรเจนไดออกไซด์ ไอโซน แอน โมเนีย พอร์มัลดีไฮด์ เป็นต้น เริ่มแรกเทคนิคนี้ใช้ในการตรวจวัดสารมลพิษที่ปนเปื้อนในอากาศเท่านั้น แต่ในปัจจุบันได้มีการประยุกต์ใช้ให้สามารถตรวจสารมลพิษที่ปนเปื้อนทั้งในน้ำและในดินได้ด้วย (ศิวพรและประชาติ, 2547)

Krochmal and Kalina (1997a) ใช้เทคนิคการเก็บตัวอย่างแบบแพสซีฟ ในการตรวจวัดปริมาณก๊าซ NO_2 และ SO_2 ในพื้นที่เมืองและชนบทของประเทศโปแลนด์ โดยใช้กระดาษกรอง Whatman 1 Chr ที่ชุบด้วย TEA เป็นตัวดูดซับ ใช้เวลาตรวจสอบหนึ่งเดือน แล้ววิเคราะห์ NO_2 ในรูปใบเตเระด้วยเครื่องสเปกโตร โฟโตมิเตอร์ และ SO_2 ในรูปชัลเฟต์ด้วยเครื่องไอออนโคลามิกราฟ สามารถตรวจระดับของมลพิษได้แตกต่างกันตามพื้นที่เมืองและชนบท อีกทั้งสามารถสร้างแผนที่การกระจายตัวของก๊าซ NO_2 และ SO_2 ในเขตชนบทของโปแลนด์ได้และยังพบว่าในฤดูหนาวมี SO_2 สูงกว่าฤดูร้อนเนื่องจากมีการใช้เชื้อเพลิงถ่านหินในครัวเรือนเพิ่มขึ้น

Krochmal and Kalina (1997b) ได้พัฒนาช่วงเวลาในการเก็บตัวอย่างแบบแพสซีฟ เป็น 24 ชั่วโมง และ 1 เดือน พบร่วมกันว่าการใช้ suppressed และ nonsuppressed IC จะให้ detection limit ที่ต่ำกว่าช่วงเวลาในการเก็บตัวอย่าง 1 เดือนจะให้ detection limit ที่ต่ำกว่า (lower determination limit) ของทั้ง NO_2 และ SO_2 คือ 0.5 และ 0.7 $\mu\text{g}/\text{m}^3$ ตามลำดับ ส่วนช่วงเวลาในการเก็บตัวอย่าง 24 ชั่วโมง ได้ detection limit ที่สูงกว่า มีการลดผลกระทบของลม ฝน และแสงด้วยการใส่ samplers ในที่กำบังลมก่อนนำไปแขวน ซึ่งเทคนิคนี้มีความแม่นยำและ detection limit ที่ต่ำ จึงเหมาะสมสำหรับการตรวจวัดทั้งเขตเมืองและเขตชนบท

Santis *et al.* (1997) ได้พัฒนาอุปกรณ์เก็บตัวอย่างแบบ badge-type samplers ที่มีความยาวแตกต่างกันสองชนิด ในการตรวจวัดก๊าซ NO_2 และ SO_2 ในอากาศ ซึ่งใช้กรดายกรอง Whatman GF/A ที่ชุบด้วย TEA และกลิเซอรินเป็นสารคุดซับ พนว่าวิธีดังกล่าวให้ detection limit ที่ต่ำทั้ง NO_2 และ SO_2 คือ 5 ppb และ 10 ppb ตามลำดับ ซึ่งสามารถนำวิธีนี้ไปใช้ได้ในพื้นที่เมืองและพื้นที่ชนบท

Yang *et al.* (1997) พัฒนาวิธีการ FIA method โดยการนำ barium-dimethylsulfoazo-III complex มาใช้เป็น reagent และใช้ BaSO_4 - immobilized in-line reaction column เพื่อเพิ่มความไวในการตรวจวัด SO_2 ในอากาศด้วยวิธีการเก็บตัวอย่างแบบแพสซีฟ ซึ่งใช้กรดายกรองที่ชุบด้วย TEA และสักดัลฟ์เฟต ไอออน ด้วย H_2O_2 วัดด้วยเครื่องสเปกโตรโฟโตเมตร์ สามารถวัดซัลฟ์ไอออน ได้ในช่วง 0.08 – 10.00 mg/l ได้ค่า RSD น้อยกว่า 1.6 % ซึ่งวิธีที่พัฒนานี้สามารถให้ผลดีเมื่อเทียบกับการวัดด้วยเครื่องไอออนโคมาราโtopicraf ในการตรวจวัด SO_2 ในอากาศ

Ferm and Svanberg (1998) ใช้เทคนิคการเก็บตัวอย่างแบบแพสซีฟ ในการตรวจวัดปริมาณก๊าซ SO_2 และ NO_2 ในพื้นที่เมืองของประเทศสวีเดน ซึ่งในการตรวจวัดภายนอกอาคารมีผลกระทบจากลม ดังนั้นเพื่อลดผลกระทบดังกล่าวจึงใช้หลอดเก็บตัวอย่างที่ยาวขึ้น ต่อมาก่อนนำไปหลอดสั้นลงและกว้างขึ้น ซึ่งสามารถวัด SO_2 และ NO_2 ได้ $0.1 - 200 \mu\text{g}/\text{m}^3$ และ $0.1 - 400 \mu\text{g}/\text{m}^3$ ตามลำดับ ผลที่ได้จากการเปรียบเทียบกับการเก็บตัวอย่างแบบแยกหีฟ ให้ผลที่สอดคล้องกัน สามารถนำไปใช้ในการตรวจวัดได้ทั้งพื้นที่เมืองและพื้นที่ควบคุม

Perkauskas and Mikelinskiene (1998) ทำการประเมินระดับความเข้มข้นของก๊าซ SO_2 และ NO_2 ในเมือง Vilnius โดยใช้หลอดเก็บตัวอย่างแบบแพสซีฟชนิดโพลีไพลีน ขนาดเส้นผ่านศูนย์กลาง 12 mm ยาว 70 mm ใช้กรดายกรอง Whatman 40 และใช้ NaHCO_3 เป็นสารคุดซับ ช่วงเวลาวางหลอด 1 เดือน พนว่าระดับความเข้มข้นของ SO_2 ขึ้นอยู่กับอุณหภูมิเป็นหลัก โดยมีค่าเฉลี่ยของถูกที่มีอากาศอบอุ่น (warm) และถูกที่มีอากาศหนาว (cold) คือ $7 - 13 \mu\text{g}/\text{m}^3$ และ $17 - 23 \mu\text{g}/\text{m}^3$ ตามลำดับ ส่วนความเข้มข้นของ NO_2 ขึ้นอยู่กับการจราจร โดยพบว่ามีค่าสูงสุดบริเวณทางแยก และค่าต่ำสุดบริเวณพื้นที่รอบเมืองอุกมา

Kasper-Giebl and Puxbaum (1999) ใช้หลอดเก็บตัวอย่างชนิดโพลีเอทธิลีน และใช้ TEA เป็นสารคุดซับ พนว่ามีการสะสมของอนุภาคฝุ่นที่ผนังของหลอด ซึ่งไม่มีผลกระทบต่อปริมาณ NO_2 แต่มีผลกระทบต่อปริมาณ SO_2 โดยลดลงซัลฟ์เข้าทางปากหลอด และสะสมในรูปของฝุ่นที่ผนังของหลอด ส่งผลให้ได้ค่าความเข้มข้นของ SO_2 สูงขึ้น ซึ่งสามารถแก้ปัญหานี้ได้โดยการใช้ windshield หรือใช้ badge samplers

Cruz et al. (2004) ใช้เทคนิคการเก็บตัวอย่างแบบแพสซีฟ เพื่อตรวจวัดปริมาณก๊าซ SO_2 และ NO_2 ในพื้นที่อุตสาหกรรมและพื้นที่เมืองของประเทศไทย โดยใช้กระดาษกรองที่ชูบด้วย Na_2CO_3 เป็นสารคุดซับ แล้วสักด้วย H_2O_2 วัดด้วยเครื่องไอออนโคมาราโนกราฟ ช่วงเวลาของการเก็บตัวอย่างตั้งแต่ 1 – 4 สัปดาห์ พบร่วมกันของ NO_2 และ SO_2 ได้ถึง $98 \mu\text{g}/\text{m}^3$ และ $421 \mu\text{g}/\text{m}^3$ ตามลำดับ วิธีนี้มีความถูกต้องและความแม่นยำสูงเมื่อเปรียบเทียบกับวิธีการเก็บตัวอย่างแบบแยกกัน สามารถใช้ได้ในพื้นที่จริงทั้งในเขตอุตสาหกรรมและเขตเมือง

Shakya (2004) ใช้วิธีเก็บตัวอย่างแบบแพสซีฟ เพื่อวัดความเข้มข้นของ NO_2 และ SO_2 จากอากาศในเมืองเชียงใหม่ โดยใช้กระดาษกรอง Whatman 40 ชูบด้วยไตรเอทาโนลามีน บรรจุในหลอดพอลีไทรีนและหลอดพอลีเอธิลีน เพื่อดักจับก๊าซทั้งสองชนิด โดยบรรจุหลอดเก็บตัวอย่างดังกล่าวในกล่องพอลีเอธิลีน เพื่อป้องกันการรับกวนจากปัจจัยทางด้านสภาพอากาศ ทำการหาปริมาณ SO_2 โดยวิธีไอออนโคมาราโนกราฟ ในรูปของซัลเฟต ไอออน ผลที่ได้จากการเก็บตัวอย่างแบบแพสซีฟแสดงว่า การใช้หลอดเก็บตัวอย่างดังกล่าวให้ผลการตรวจวัดที่ดีทั้งสำหรับ NO_2 และ SO_2 ความแม่นยำสำหรับวิธีการเก็บตัวอย่างแบบแพสซีฟมีค่าประมาณร้อยละ 18 และร้อยละ 16 สำหรับ NO_2 และ SO_2 ตามลำดับ

Khaodee (2006) นำเทคนิคการเก็บตัวอย่างแบบแพสซีฟมาประยุกต์ใช้ในการหาปริมาณของก๊าซในโทรศัพท์มือถือ ไอโอซีด ซัลเฟอร์ไดออกไซด์ และโอโซนในอากาศ ทำการพัฒนาอุปกรณ์เก็บตัวอย่างแบบแพสซีฟชนิดหลอด เพื่อหาสภาวะที่เหมาะสมในการหาปริมาณก๊าซซึ่งเป็นสารมลพิษ อุปกรณ์เก็บตัวอย่างที่พัฒนาแล้วประกอบด้วยหลอดโพลีเอทธิลีน ซึ่งมีตัวคุดซับเป็นกระดาษกรองเย้อ Whatman (GF/A) และทำการติดตั้งอุปกรณ์ในวัตถุกำบังเพื่อลดผลกระทบจากสภาพอากาศ สารเคมีที่เหมาะสมที่สุดในการคุดซับในโทรศัพท์มือถือและซัลเฟอร์ไดออกไซด์ เพื่อ การวิเคราะห์ด้วยเทคนิคไอออนโคมาราโนกราฟ คือ ไตรเอทาโนลามีนที่มีส่วนผสมกัลเซอรีล ระยะเวลาที่ใช้ในการเก็บตัวอย่าง ต้องใช้ระยะเวลาอย่างน้อย 3 วัน ความเข้มข้นของก๊าซซัลเฟอร์ไดออกไซด์ที่ได้จากการเก็บตัวอย่างแบบแพสซีฟแล้ววิเคราะห์ด้วยเทคนิคไอออนโคอมาราโนกราฟ มีค่าสูงกว่าค่าจากเครื่องตรวจวัดแบบแยกกัน (ค่าความแตกต่างมากกว่าร้อยละ 79.8)

มีการนำเทคนิคการเก็บตัวอย่างแบบแพสซีฟ มาใช้ในการตรวจระดับมลพิษในอากาศ เพื่อศึกษาความสัมพันธ์ระหว่างสารมลพิษในอากาศกับไอลเคน โดย สุทธิวรรณ (2549) ทำการศึกษาอัตราการเติบโตของไอลเคนชนิด *Pyxine cocoës* Swartz. ในมหาวิทยาลัยเชียงใหม่และเขตตัวเมืองเชียงใหม่ และตรวจวัดปริมาณก๊าซในโทรศัพท์มือถือและก๊าซซัลเฟอร์ไดออกไซด์ในอากาศด้วยวิธีการเก็บตัวอย่างแบบแพสซีฟ และวิเคราะห์หาความเข้มข้นของก๊าซทั้งสอง ด้วยเครื่องสเปก-

โดยในเบตตัวเมืองมีปริมาณก๊าซในตรรженไดออกไซด์และซัลเฟอร์ไดออกไซด์สูงกว่า เขตมหาวิทยาลัยเชียงใหม่ และในปี ค.ศ. 2005 Pomphueak ได้นำเทคนิคการเก็บตัวอย่างอากาศ แบบแพสซีฟมาใช้ เพื่อวัดความเข้มข้นของก๊าซในตรรженไดออกไซด์และซัลเฟอร์ไดออกไซด์ใน พื้นที่ศึกษา ประกอบกับการใช้ไลเคนประเมินคุณภาพอากาศในเขตตัวเมืองและรอบเมืองลำปาง โดยใช้หลอดโพลีเอทธิลีนในการดักจับก๊าซทั้งสองชนิด นำมาวิเคราะห์ในรูปของไนโตรท (NO₂) และซัลเฟต (SO₄²⁻) โดยใช้เครื่องไอออนโกรามาโทกราฟ ผลการศึกษาพบว่าความหลากหลาย ของไลเคนไม่มีความสัมพันธ์กับความเข้มข้นของก๊าซซัลเฟอร์ไดออกไซด์อย่างมีนัยสำคัญ แต่มี ความสัมพันธ์กับอย่างมีนัยสำคัญกับความเข้มข้นของก๊าซในตรรженไดออกไซด์

บทที่ 3

วิธีดำเนินการศึกษา

3.1 เครื่องมือ อุปกรณ์และสารเคมี

3.1.1. เครื่องมือ อุปกรณ์และสารเคมีสำหรับการศึกษาໄologie

3.1.1.1 เครื่องมือ

1. กล้องจุลทรรศน์แบบเลนส์ประกอบ (compound microscope)
ยี่ห้อ Olympus CH-2, Japan
2. กล้องจุลทรรศน์แบบสามมิติ (stereo microscope) ยี่ห้อ Olympus SZ-ST, Japan
3. เครื่องชั่งอย่างละเอียด ยี่ห้อ ADAM รุ่น AFP-2100L
4. ตู้อบ ยี่ห้อ Scientific รุ่น model 900, USA
5. เครื่องวัด pH (Electrochemical analyser) ยี่ห้อ Consort รุ่น C933
6. เครื่องวัดพิกัดและตำแหน่ง (Global Positioning System; GPS)
ยี่ห้อ eTrex, Garmin, Taiwan

3.1.1.2 อุปกรณ์

1. กรอบสำรวจความถี่ (grid frame) ขนาด 20 x 50 ตารางเซนติเมตร
2. แวนขยาย (hand lens) กำลังขยาย 20x
3. สายวัด ความยาว 100 เซนติเมตร
4. เจ็มทิศ
5. มีดเก็บตัวอย่าง
6. ซอฟเก็บตัวอย่างและเปลือกไม้
7. แบบฟอร์มการสำรวจໄologie
8. แผ่นกระดาษรองเขียน
9. สมุดบันทึก ปากกา คิณสอ
10. ตะกร้าใส่อุปกรณ์
11. บีกเกอร์ ยี่ห้อ Scott Duran, Germany ขนาด 50 มิลลิลิตร
12. กระบอกตวงยี่ห้อ Scott Duran, Germany ขนาด 10 มิลลิลิตร
13. หลอดทดลอง ยี่ห้อ Pyrex, USA ขนาด 30 มิลลิลิตร

14. แผ่นสไลด์ และแผ่นปิดสไลด์
15. หลอดหยด (dropper)
16. ขวดแก้วขนาดเด็ก
17. ที่วางหลอดทดลอง
18. แพนที่หมุนบ้านในอ่างเกอแม่เมะและอ่างเกอแม่ทะ
19. กล้องถ่ายรูปดิจิตอล ยี่ห้อ Olympus รุ่น 32

3.1.1.3 สารเคมี

1. น้ำปราศจากไอออน (Deionized water ; DI)
2. โพแทสเซียมไฮด록ไซด์ (Potassium hydroxide ; K) 10%
3. สารละลายลูกอลไอโอดีน (Lugol's iodine)
4. โซเดียมไฮโปคลอไรต์ (Sodium hypochlorite ; C)

3.1.2 เครื่องมือ อุปกรณ์และสารเคมีสำหรับเทคนิคการเก็บตัวอย่างแบบแพสซีฟ (passive sampling)

3.1.2.1 เครื่องมือ

1. เครื่องไอออนโกรามาโทกราฟ (Ion Chromatograph) รุ่น Model 2.733.0020, Metrohm, Switzerland
2. เครื่องอัลตราโซนิเคเตอร์ (Ultrasonicator) ยี่ห้อ Transonic Digital S, Elma, Germany
3. ตู้อบ (Oven) Model 100-800, Memmert, Germany
4. เครื่องชั่งสาร 4 ตำแหน่ง ยี่ห้อ Mettler Toledo, Switzerland รุ่น AB304-S,
5. อุปกรณ์ควบคุมความชื้น (Desiccators)

3.1.2.2 อุปกรณ์

1. ขวดวัดปริมาตร (volumetric flask) ยี่ห้อ Duran, Germany ขนาด 1000 และ 100 มิลลิลิตร
2. ขวดวัดปริมาตร (PP volumetric flask) ยี่ห้อ Vit Lab, Germany ขนาด 25 มิลลิลิตร
3. บีกเกอร์ (beaker) ยี่ห้อ Scott Duran, Germany ขนาด 50 และ 100 มิลลิลิตร
4. ไนโตรบิเบต (Micropipettes) ขนาด 10 – 100, 100 – 1000 ไมโครลิตร และ 1 - 10 มิลลิลิตร

5. กระบอกน้ำยา (Syring) ขนาด 3 มิลลิลิตร
6. ไชริงค์ฟิลเตอร์ (Glass syringe filter), 0.45 μm cellulose acetate, Chrom Tech, U.S.A
7. กรวยกรอง eluent (funnel) ยี่ห้อ Alltech, Blegium ขนาด 1000 มิลลิลิตร
8. แหวนกรอง (Stainless steel mesh filter support ring) ยี่ห้อ Alltech, Blegium
9. ขวดใส่กรด (GL-45 safety-coated glass bottle) ยี่ห้อ Alltech, Blegium
ขนาด 1000 มิลลิลิตร
10. หลอดโพลีเอทธิลีน (Polyethylene tubes ; PE)
11. กระดาษกรอง Whatman (GF/A) ยี่ห้อ Whatman international Ltd., England
12. ไวนิล (vial)
13. กล่องป้องกัน (Protective shelter)
14. พาราฟิล์ม (Parafilm)
15. ถุงซิป (zip lock bag)
16. กล่องโฟม
17. กระดาษกรอง mobile phase

3.1.2.2 สารเคมี

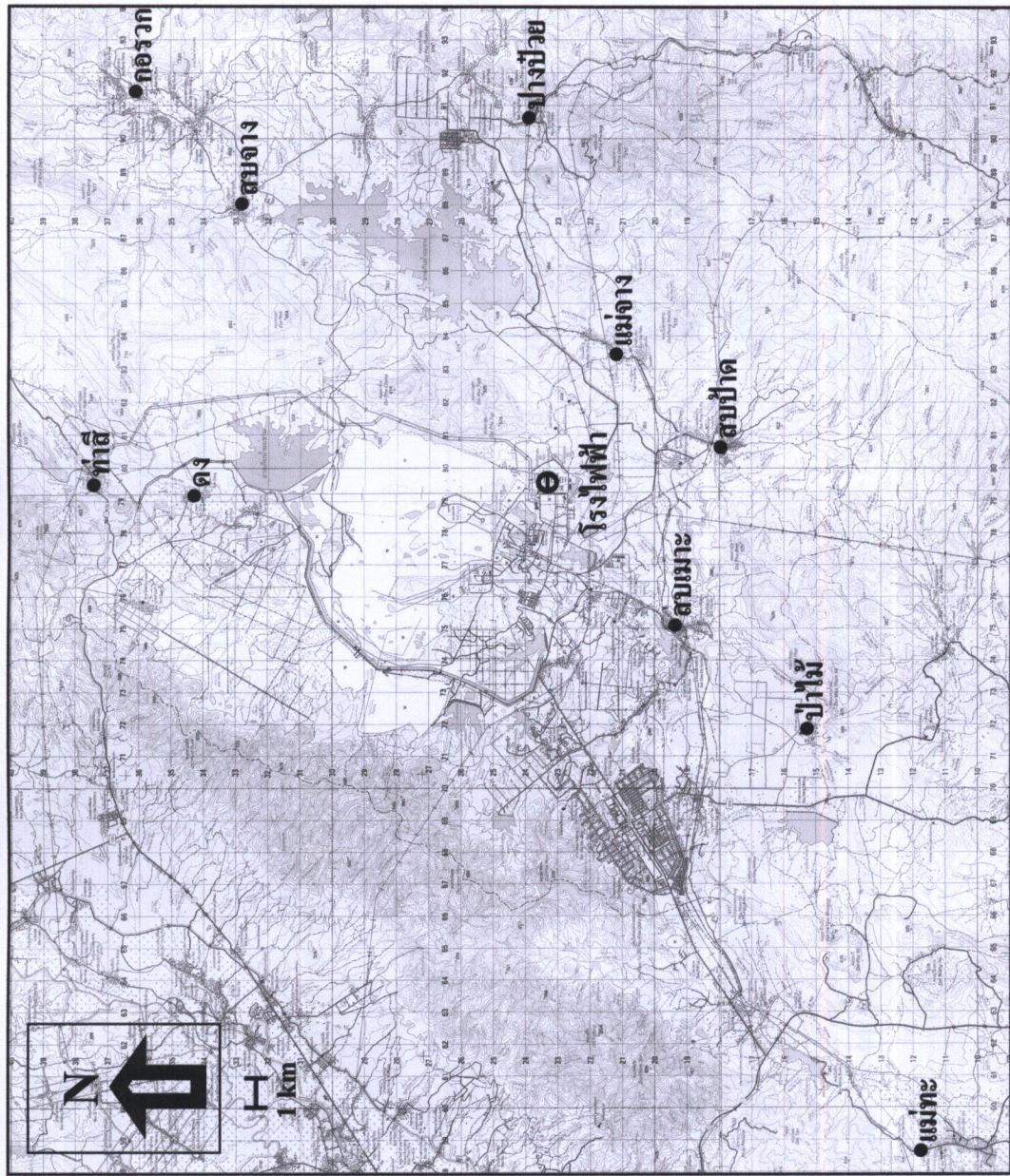
1. สารละลายน้ำตาลเฟตมาตรฐาน (Sulfate standard solution ; SO_4^{2-}) 1000 ppm, Merck, Germany
2. โซเดียมคาร์บอเนต (Sodium carbonate ; Na_2CO_3), 99.9% Scharlau, Spain
3. โซเดียมไฮドโรเจนคาร์บอเนต (Sodium hydrogen carbonate ; NaHCO_3), 99.7% Scharlau, Spain
4. กรดซัลฟูริก (Sulfuric acid ; H_2SO_4), 95-97% Merck, Germany
5. ไตรอีทาโนลาไมน์ (Triethanolamine ; TEA) ($\text{C}_6\text{H}_{15}\text{NO}_3$, 149.19), 99%, BDH Chemicals Ltd., England
6. กลีเซอริน (Glycerin) ($\text{C}_3\text{H}_8\text{O}_2$, 92.09), 99.5 %, Carlo Erba, Italy
7. น้ำประปาจากไออกอน (Deionized water ; DI)

3.2 วิธีการศึกษา

3.2.1 การกำหนดพื้นที่ศึกษา

อำเภอแม่เมะตั้งอยู่ที่ละติจูด $18^{\circ}16'30''$ เหนือ ลองจิจูด $99^{\circ}39'0''$ ตะวันออก ซึ่งอยู่ทางทิศตะวันออกของจังหวัดลำปาง ห่างจากตัวเมืองลำปางประมาณ 20 กิโลเมตร มีพื้นที่ 860.44 ตารางกิโลเมตร มีประชากร 38,760 คน (ปี พ.ศ. 2551) (ศูนย์สารสนเทศเพื่อการบริหารและพัฒนางานปักครอง, 2552) สภาพพื้นที่เป็นแอ่งกระทะ ทางตอนเหนือของอำเภอเป็นภูเขาและป่าไม้ครอบคลุมพื้นที่ประมาณร้อยละ 80 ของพื้นที่อำเภอ มีพื้นที่ราบลุ่มที่ใช้เพาะปลูกได้ประมาณ 4,000 ไร่ สภาพพื้นที่เป็นที่ราบรื่นห่วงหุบเขา สภาพดินทั่วไปเป็นดินปนทราย อาณาศักดิ์อ่อนข้างอบอ้าวและหนาวยั่ดในถุุหน้าว มีโอกาสฝนตกหนักอยู่ส่วนใหญ่จะอยู่ในเขางาน ลักษณะภูมิอากาศเป็นแบบมรสุม มี 3 ฤดู คือ ฤดูร้อน ฤดูฝน ฤดูหนาว (กองทุนพัฒนาชุมชนในพื้นที่รอบโรงไฟฟ้าจังหวัดลำปาง, 2552)

เนื่องจากต้องการศึกษาความสัมพันธ์ระหว่างความหลากหลายของໄลเคนกับปริมาณก้าชชัลเพอร์ไซด์ในบริเวณรอบโรงไฟฟ้าแม่เมะ อ.แม่เมะ จ.ลำปาง จึงทำการคัดเลือกพื้นที่ศึกษาที่อยู่บริเวณรอบโรงไฟฟ้า ได้แก่ หมู่บ้านที่อยู่รอบโรงไฟฟ้า โดยวางแนวเส้นเก็บตัวอย่าง (transect) ห้าแนวจากโรงไฟฟ้า ได้แก่ ทิศเหนือ ทิศตะวันออกเฉียงเหนือ ทิศตะวันออก ทิศใต้ และทิศตะวันตกเฉียงใต้ โดยปรับให้เหมาะสมตามลักษณะภูมิประเทศ ให้มีระยะห่างที่แตกต่างกันจากโรงไฟฟ้า โดยวัดระยะจากแผนที่ เลือกหมู่บ้านที่เป็นชุมชนขนาดเล็กถึงปานกลาง เนื่องจากหมู่บ้านขนาดใหญ่อาจมีปัจจัยอื่นที่มีผลกระทบกับໄลเคนและปริมาณก้าชชัลเพอร์ไซด์ที่จะต้องคำนึงถึง เช่น ควันเสียจากการจราจร การเผาไหม้และเชื้อเพลิงต่าง ๆ เป็นต้น คัดเลือกพื้นที่ศึกษาได้ 10 พื้นที่ ได้แก่ บ้านแม่ทะ บ้านป่าไม้ (เวียงสวารค์) บ้านสนเมะ บ้านสนป่าค บ้านแม่จาง บ้านปางปวย บ้านสนจาง บ้านกอรวก บ้านคง และบ้านท่าสี กำหนดพื้นที่ศึกษาขนาด 1×1 ตารางกิโลเมตร ดังภาพ 3.1 และตาราง 3.1



ภาพ 3.1 แผนที่แสดงพื้นที่ศึกษาในบริเวณของไฟฟ้าเมือง (กรณีพื้นที่ห้าร ทองบัญชากาฬารสุทธิ์, 2542)

ตาราง 3.1 พื้นที่ศักยภาพในการสำรวจโดยคนบินรีโวโนบอโร่ไฟฟ้าเมือง

ลำดับ	พื้นที่ศักยภาพ	ตำแหน่งที่ตั้ง	ความสูง จากระดับ น้ำทะเล	ทิศทาง	ระยะทาง จาก จุด	ลักษณะของที่ดิน
1	ป่าชายเลนแม่ทะ	18° 11' 15" N, 99° 33' 46" E	320	SW	25	หมู่บ้านชนบทกลาง พื้นที่ส่วนใหญ่ใช้ในการสร้างที่อยู่อาศัย มีการปลูกผลไม้ในบ้านเรือนบ้าน หมู่บ้านที่อยู่อาศัย มีการปลูกผลไม้ในบ้านเรือนบ้าน หมู่บ้านที่อยู่อาศัย รองรับบ้านเรือนบ้าน
2	ป่าชายเลนป่าหิม (เวียงต่าวรรค)	18° 13' 33" N, 99° 40' 34" E	330	SW	11	หมู่บ้านชนบทเล็ก พื้นที่ส่วนใหญ่ใช้ในการสร้างที่อยู่อาศัย มีการปลูกผลไม้ในบ้านเรือนบ้าน พื้นที่รอบบ้านเป็นที่ทำการเกษตร
3	ป่าชายเลนแม่เตา	18° 15' 41" N, 99° 42' 38" E	310	SW	5	หมู่บ้านชนบทกลาง พื้นที่ส่วนใหญ่ใช้ในการสร้างที่อยู่อาศัย มีการปลูกผลไม้ในบ้านเรือนบ้าน
4	ป่าชายเลนป่าต	18° 15' 3" N, 99° 45' 50" E	320	S	5	หมู่บ้านชนบทกลาง พื้นที่ส่วนใหญ่ใช้ในการสร้างที่อยู่อาศัย มีการปลูกผลไม้ในบ้านเรือนบ้าน
5	ป่าชายเลนเจ้า	18° 16' 44" N, 99° 47' 16" E	330	SE	4	หมู่บ้านชนบทเล็ก พื้นที่ส่วนใหญ่ใช้ในการสร้างที่อยู่อาศัย มีการปลูกผลไม้ในบ้านเรือนบ้าน

ตาราง 3.1 (ต่อ) ผู้สำรวจที่ทำสำหรับภาระน้ำหนักภาระของโครงสร้างทางพานิช

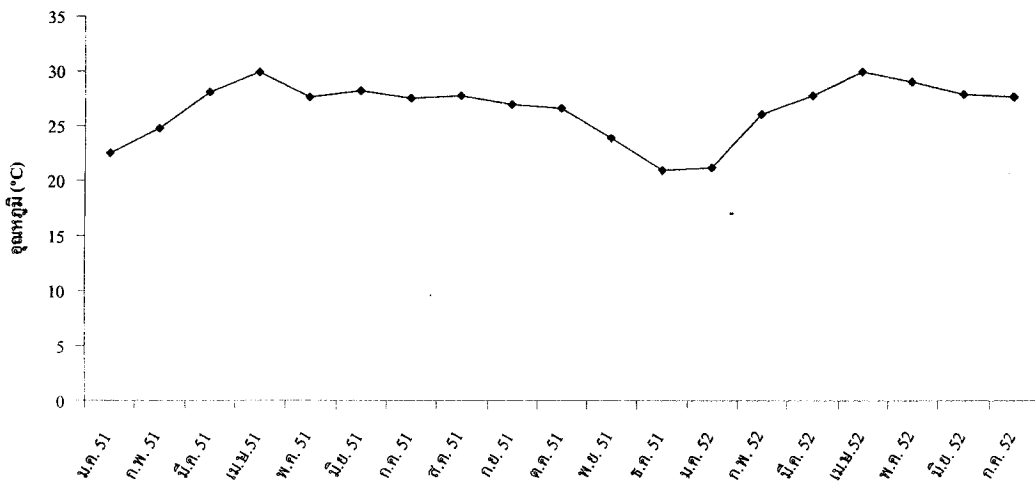
ลำดับ	พื้นที่ศึกษา	ตำแหน่งที่ตั้ง	ความสูง	ทิศทาง	ระยะห่าง
6	บ้านปางป่าย ต. นาตัก	18° 13' 9" N, 99° 51' 20" E	380 น้ำหนัก (ม.)	E จาก โรงไฟฟ้า	11 จาก โรงไฟฟ้า (กม.)
7	บ้านสถาจัง ต. นาตัก	18° 22' 56" N, 99° 50' 14" E	360 NE	12 หมู่บ้านชนบทกลาง พื้นที่ส่วนใหญ่ใช้ในการสร้างที่อยู่ อาศัย มีการปลูกผลไม้ในบริเวณบ้าน มีพื้นที่เกษตร รองหนูป่าย	หมู่บ้านชนบทกลาง พื้นที่ส่วนใหญ่ใช้ในการสร้างที่อยู่ อาศัย มีการปลูกผลไม้ในบริเวณบ้าน มีพื้นที่เกษตร รองหนูป่าย
8	บ้านกอรวก ต. บางหน่อ	18° 24' 30" N, 99° 51' 58" E	390 NE	17 หมู่บ้านชนบทกลาง พื้นที่ส่วนใหญ่ใช้ในการสร้างที่อยู่ อาศัย มีการปลูกผลไม้ในบริเวณบ้าน	หมู่บ้านชนบทกลาง พื้นที่ส่วนใหญ่ใช้ในการสร้างที่อยู่ อาศัย มีการปลูกผลไม้ในบริเวณบ้าน มีพื้นที่เกษตร รองหนูป่าย
9	บ้านดง ต. บ้านดง	18° 23' 53" N, 99° 45' 0" E	340 N	10 หมู่บ้านชนบทกลาง พื้นที่ส่วนใหญ่ใช้ในการสร้างที่อยู่ อาศัย มีการปลูกผลไม้ในบริเวณบ้าน มีพื้นที่เกษตร รองหนูป่าย	หมู่บ้านชนบทกลาง พื้นที่ส่วนใหญ่ใช้ในการสร้างที่อยู่ อาศัย มีการปลูกผลไม้ในบริเวณบ้าน มีพื้นที่เกษตร รองหนูป่าย
10	บ้านห้วย ต. บ้านดง	18° 25' 37" N, 99° 45' 29" E	370 N	13 หมู่บ้านชนบทกลาง พื้นที่ส่วนใหญ่ใช้ในการสร้างที่อยู่ อาศัย มีการปลูกผลไม้ในบริเวณบ้าน มีพื้นที่เกษตร ล้ำป่า-เจ้า ตัดผ่านหนูป่าย	หมู่บ้านชนบทกลาง พื้นที่ส่วนใหญ่ใช้ในการสร้างที่อยู่ อาศัย มีการปลูกผลไม้ในบริเวณบ้าน มีพื้นที่เกษตร ล้ำป่า-เจ้า ตัดผ่านหนูป่าย

สภาพภูมิอากาศของพื้นที่ศึกษา

จังหวัดลำปางตั้งอยู่ในภาคเหนือตอนบนของประเทศไทย ซึ่งอยู่ภายใต้อิทธิพลของลมมรสุมสองชนิด คือลมมรสุมตะวันตกเฉียงใต้ และลมมรสุมตะวันออกเฉียงเหนือ โดยลมมรสุมตะวันตกเฉียงใต้พัดปกคลุนระหว่างกลางเดือนพฤษภาคมถึงกลางเดือนตุลาคม มีแหล่งกำเนิดจากบริเวณความกดอากาศสูงในเข็มโลกใต้ บริเวณมหาสมุทรอินเดีย ซึ่งพัดออกจากศูนย์กลางเป็นลมตะวันออกเฉียงใต้ และเปลี่ยนเป็นลมตะวันตกเฉียงใต้เมื่อพัดข้ามเส้นศูนย์สูตร ลมมรสุมนี้จะนำมวลอากาศชื้นจากมหาสมุทรอินเดีย ทำให้มีเมฆมากและฝนตกชุกทั่วไป (ฤดูฝน) ส่วนลมมรสุมตะวันออกเฉียงเหนือจะพัดปกคลุนระหว่างกลางเดือนตุลาคมจนถึงกลางเดือนกุมภาพันธ์ มีแหล่งกำเนิดจากบริเวณความกดอากาศสูงในเข็มโลกเหนือแทนประเทศไทยของโ哥เดิร์และจีนจึงพัดพาลมมวลอากาศเย็นและแห้งจากแหล่งกำเนิดเข้ามาปกคลุมทำให้ห้องฟ้าโปร่งอากาศหนาวเย็นและแห้งแล้งทั่วไป (ฤดูหนาว) (กรมอุตุนิยมวิทยา, 2552) จากอิทธิพลของลมมรสุมทั้งสองชนิด สร้างผลให้สภาพภูมิอากาศทั่วๆ ไปของจังหวัดลำปาง ในช่วงปี พ.ศ. 2534 – 2550 ที่ผ่านมา มีอุณหภูมิเฉลี่ยตลอดปี 25.8 – 27.5 องศาเซลเซียส อุณหภูมิสูงสุดเฉลี่ยตลอดปี 33.2 – 35.3 องศาเซลเซียส อุณหภูมิต่ำสุดเฉลี่ยตลอดปี 20.0 – 21.8 องศาเซลเซียส ความชื้นสัมพัทธ์เฉลี่ยตลอดปี 70 – 75 % และมีปริมาณน้ำฝน 712.3 – 1,537.8 มิลลิเมตร (ศูนย์อุตุนิยมวิทยาภาคเหนือ, 2552)

ทำการเก็บตัวอย่างไอลูเคนและอากาศในช่วงเดือนกุมภาพันธ์ - กรกฎาคม พ.ศ. 2552 ซึ่งช่วงเวลาดังกล่าว มีสภาพภูมิอากาศ ได้แก่ อุณหภูมิเฉลี่ยรายเดือน ความชื้นสัมพัทธ์ในอากาศ ปริมาณน้ำฝน และทิศทางลม ที่ทำการตรวจวัด ณ สถานีอุตุนิยมวิทยาลำปาง ดังนี้

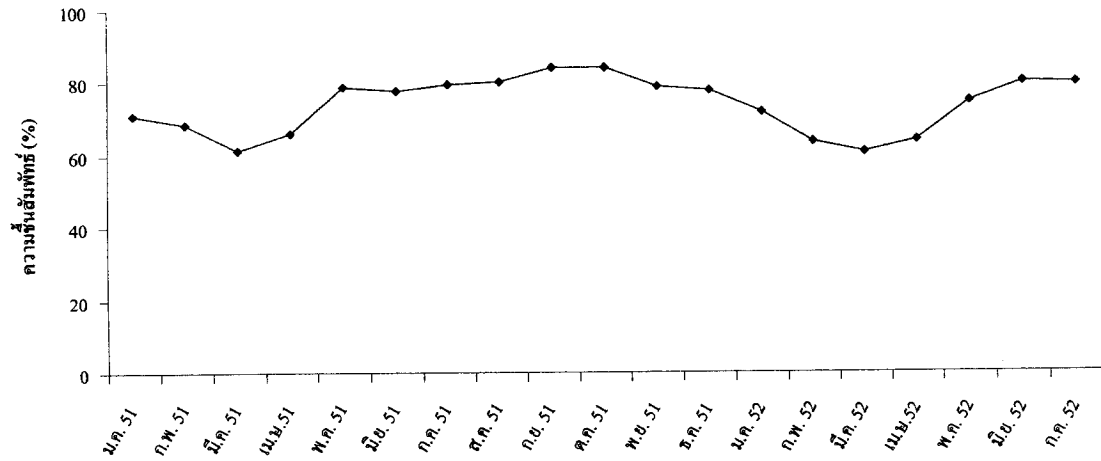
อุณหภูมิเฉลี่ยรายเดือน ช่วงเดือนมกราคม ปี พ.ศ. 2551 ถึง เดือนกรกฎาคม ปี พ.ศ. 2552 มีค่าเท่ากับ 20.9 – 29.9 องศาเซลเซียส ดังภาพ 3.2



ภาพ 3.2 อุณหภูมิเฉลี่ยในแต่ละเดือนของจังหวัดลำปาง

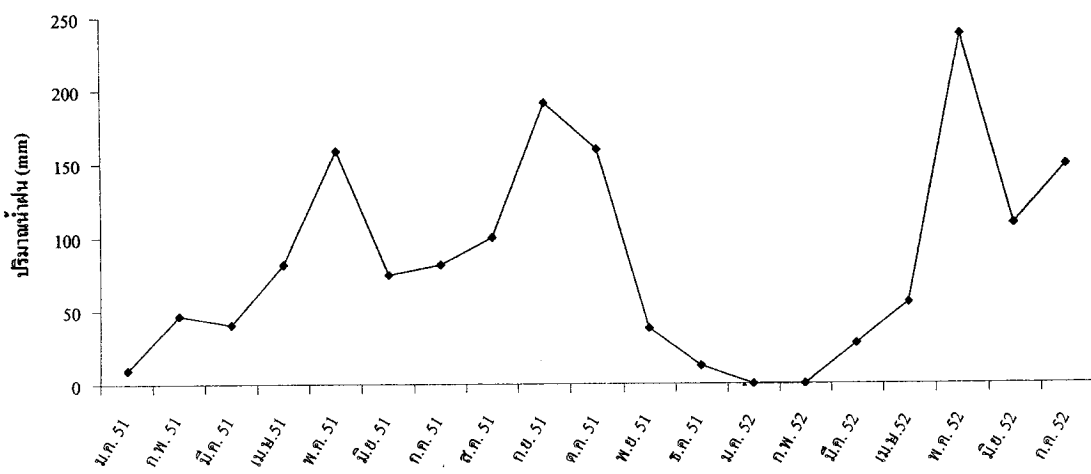
ในช่วงเดือนมกราคม 2551 – กรกฎาคม 2552 (ศูนย์อุตุนิยมวิทยาภาคเหนือ, 2552)

ความชื้นสัมพัทธ์ในอากาศเฉลี่ยรายเดือน ช่วงเดือนมกราคม ปี พ.ศ. 2551 ถึง เดือนกรกฎาคม ปี พ.ศ. 2552 มีค่าเท่ากับ 60.7 – 84.2 % ตั้งภาพ 3.3



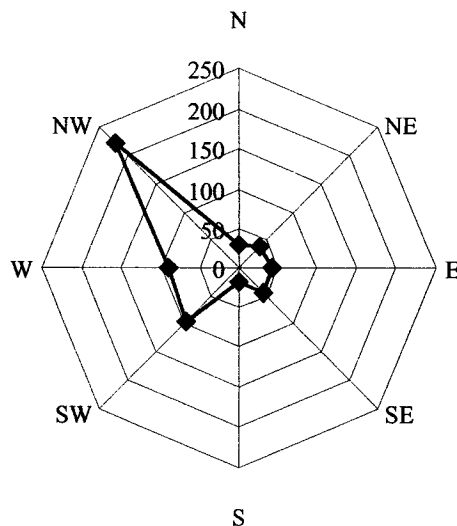
ภาพ 3.3 ความชื้นสัมพัทธ์ในอากาศเฉลี่ย ช่วงเดือนมกราคม 2551 – กรกฎาคม 2552
(ศูนย์อุตุนิยมวิทยาภาคเหนือ, 2552)

ปริมาณน้ำฝนรายเดือน ช่วงเดือนมกราคม ปี พ.ศ. 2551 ถึง เดือนกรกฎาคม ปี พ.ศ. 2552 มีค่าเท่ากับ 0.0 – 237.7 มิลลิเมตร ตั้งภาพ 3.4

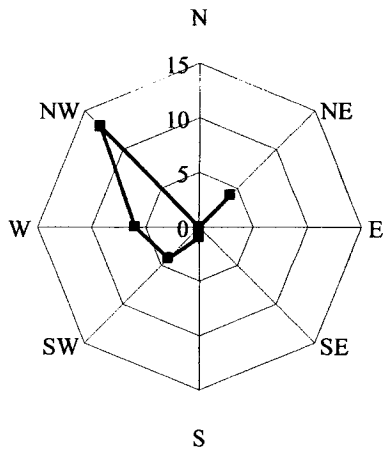


ภาพ 3.4 ปริมาณน้ำฝนรายเดือน ช่วงเดือนมกราคม 2551 – กรกฎาคม 2552
(ศูนย์อุตุนิยมวิทยาภาคเหนือ, 2552)

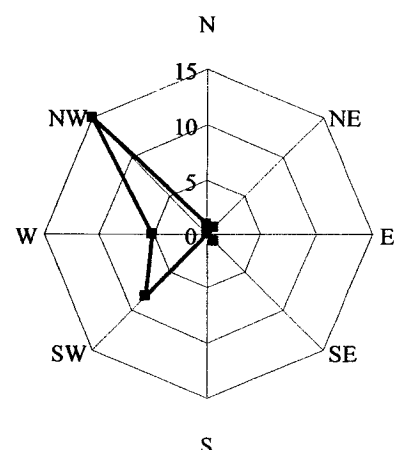
ทิศทางลมที่พัดผ่านพื้นที่จังหวัดลำปาง ช่วงเดือนมกราคม ปี พ.ศ. 2551 ถึง เดือนกรกฎาคม ปี พ.ศ. 2552 ส่วนมากจะเป็นลมที่พัดมาทางทิศตะวันตกเฉียงเหนือ รองลงมาเป็นทิศตะวันตกเฉียงใต้ ทิศตะวันตก ทิศตะวันออกเฉียงใต้ ทิศตะวันออก ทิศตะวันออกเฉียงเหนือ ทิศเหนือ และทิศใต้ ตามลำดับ ดังภาพ 3.5 เมื่อแยกข้อมูลทิศทางลมที่พัดผ่านพื้นที่จังหวัดลำปาง ในเดือนกุมภาพันธ์ถึงเดือนกรกฎาคม ปี พ.ศ. 2552 แสดงดังภาพ 3.6



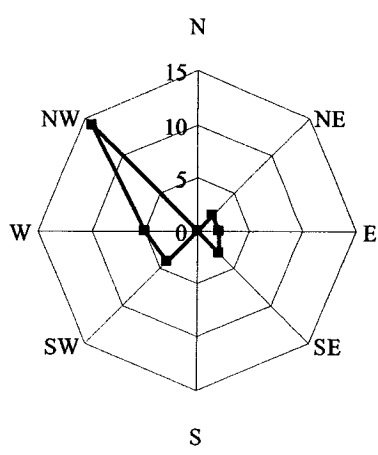
ภาพ 3.5 ทิศทางลมที่พัดผ่านพื้นที่จังหวัดลำปาง ช่วงมกราคม 2551 – กรกฎาคม 2552
(ศูนย์อุตุนิยมวิทยาภาคเหนือ, 2552)



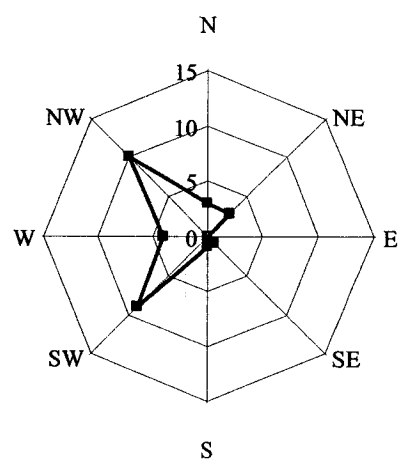
ภาพ 3.6 – ก เดือนกุมภาพันธ์



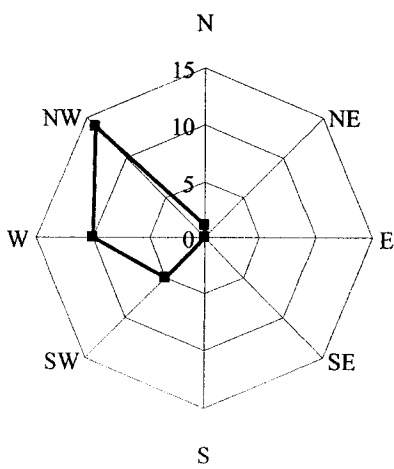
ภาพ 3.6 – ข เดือนมีนาคม



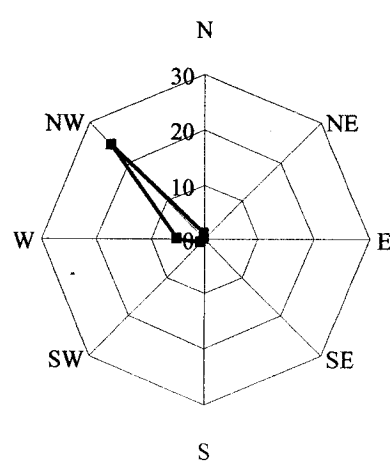
ภาพ 3.6 – ค เดือนเมษายน



ภาพ 3.6 – ง เดือนพฤษภาคม



ภาพ 3.6 – จ เดือนมิถุนายน



ภาพ 3.6 – ฉ เดือนกรกฎาคม

ภาพ 3.6 ก-ฉ ทิศทางลมที่พัดผ่านพื้นที่จังหวัดลำปาง ในเดือนกุมภาพันธ์ถึงกรกฎาคม 2552
(ศูนย์อุตุนิยมวิทยาภาคเหนือ, 2552)

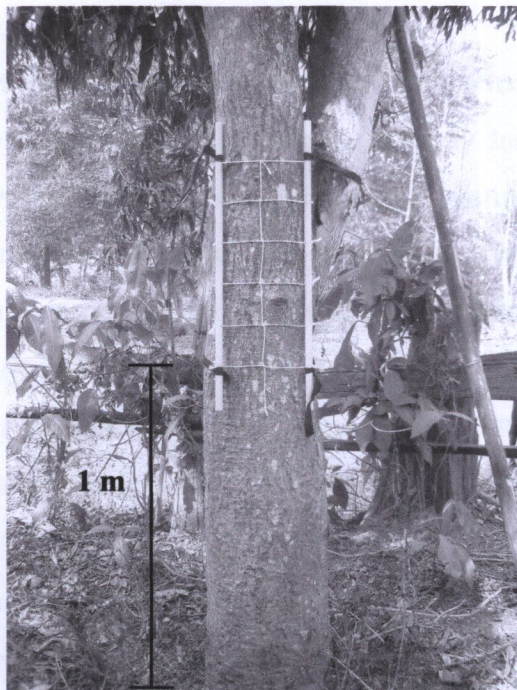
3.2.2 การศึกษาความหลากหลายของໄລເຄີນ

3.2.2.1 การคัดเลือกต้นใหม้

ทำการศึกษาໄລເຄີນบนต้นมะม่วง (*Mangifera indica L.*) เนื่องจาก ต้นมะม่วงเป็นพืชที่พบ ทั่วไปในพื้นที่ศึกษา เปลือกของต้นมะม่วงมีค่าความความเป็นกรด – ด่าง ที่ไม่ต่ำหรือสูงเกินไป เหมาะสมต่อศึกษาเดิบโตมากกว่าเมื่อเปรียบเทียบกับพืชที่พบได้ทั่วไปอื่น ๆ เช่น ลำไย (*Dimocarpus longan Lour.*) ลิ้นจี่ (*Litchi chinesis Sonn.*) และ หูกวาง (*Terminalia catappa L.*) (Saipunkaew, 1994) การเลือกต้นมะม่วงที่มีเส้นรอบวงประมาณ 60 - 280 เซนติเมตร มีลำต้นตรง หากเอียงไม่ควรเกิน 5 องศา ไม่ถูกปักลุ่มด้วยพืชชนิดอื่น อยู่ในที่โล่ง ไม่มีสิ่งก่อสร้างบดบังแสง ซึ่งอาจมีอิทธิพลต่อการเจริญเติบโตของໄລເຄີນในพื้นที่ทำการศึกษา (ปาลี, 2545) และเลือกต้น มะม่วงที่ไม่ถูก耘กวนจากมนุษย์ หรือถูกทำลายจากสัตว์กินหญ้า (VDI, 1995) สู่มเลือกต้นมะม่วง เพื่อทำการสำรวจໄລເຄີນในพื้นที่ละ 10 ต้น รวมทั้งหมด 100 ต้น

3.2.2.2 การสำรวจชนิดและความถี่ของໄລເຄີນ

ทำการสำรวจชนิดและความถี่ของจำนวนໄລເຄີນบนลำต้นของต้นมะม่วง โดยวิธีที่ประยุกต์ จากวิธีการของ VDI (1995) ซึ่งปรับใช้ให้เหมาะสมกับพื้นที่ศึกษาในประเทศไทย โดยใช้กรอบ สำรวจ (grid frame) ขนาด 20 x 50 ตารางเซนติเมตร ซึ่งแบ่งเป็น 10 ตารางย่อย ขนาด 10 x 10 ตารางเซนติเมตร วางทابบนลำต้นมะม่วง โดยให้ขอบล่างของกรอบสำรวจสูงจากพื้นดิน 100 เซนติเมตร (ภาพ 3.7) เลือกกรอบสำรวจบนต้นมะม่วงด้านที่พบໄລເຄີນมากหรือหลากหลายที่สุด ควรหลีกเลี่ยงด้านที่ไม่เหมาะสม เช่น มีร่องบาดแผล ปุ่ม บ່ານ ตะปູ เป็นต้น บันทึกชนิดและ นับความถี่ของจำนวนໄລເຄີນแต่ละชนิดที่พบในกรอบสำรวจ ในการนับความถี่หากพบໄລເຄີນชนิดเดียวกันอยู่ในตารางย่อยเดียวกันมากกว่า 1 หัลลัส นับความถี่เท่ากับ 1 และถ้าໄລເຄີນหัลลัสเดียวกัน อยู่ด้านกันกันมากกว่า 1 ตารางย่อย จะนับความถี่ตามจำนวนตารางย่อยที่ด้านกันกัน ทำการเก็บตัวอย่างໄລເຄີນที่ไม่สามารถจัดจำแนกชนิดในภาคสนามได้ในช่องเก็บตัวอย่าง เพื่อนำมาตรวจสอบ ในห้องปฏิบัติการภายหลัง พร้อมทั้งเก็บตัวอย่างเปลือกไม้เพื่อนำมาวัดค่า pH เปลือกไม้ บันทึก ลักษณะทางกายภาพของต้นไม้ที่สำรวจໄລເຄີນ เช่น เส้นรอบวงลำต้น ลักษณะของเปลือกไม้ ทิศการ วางแผนรอบสำรวจ ลงในแบบฟอร์มการสำรวจໄລເຄີນ (ภาคผนวก ก)



ภาพ 3.7 การ量กรอบสำรวจ (grid frame) บนลำต้นของต้นมะม่วง

จำแนกชนิดไลเคนที่เก็บตัวอย่างมา โดยใช้โครงสร้างภายนอก เช่น ประเททัลลัส สีทัลลัส ไรซิน ซิเลีย โครงสร้างการสืบพันธุ์ เป็นต้น และโครงสร้างภายใน เช่น สปอร์ ถุงหุ้มสปอร์ ลักษณะ paraphyses เป็นต้น รวมทั้งการใช้สารเคมีในการทดสอบ เช่น สาร K สาร C สาร Lugol's iodine เป็นต้น เพื่อจดจำแนกชนิดของไลเคน โดยใช้คู่มือการจำแนกชนิดของไลเคน เช่น Key to the lichen genera of Bogor, Cibodas and Singapore (Sipman, 2003), Lichen of tropical forest in Thailand: A field key to characteristic epiphytic species in northern Thailand (Wolseley and Aquirre-Hudson, 1997) และ A Key to Microlichens of India, Nepal and Sri Lanka (Awasthi, 1991) เป็นต้น บางตัวอย่างได้จัดส่งให้แก่ผู้เชี่ยวชาญเพื่อตรวจสอบชนิดต่อไป

3.2.2.3 การวิเคราะห์ pH เปลือกไม้

เก็บตัวอย่างเปลือกไม้จากลำต้นของต้นมะม่วงที่ทำการสำรวจ เก็บรอบลำต้น ที่ระดับความสูง 1 – 1.5 เมตร โดยหลักเลี้ยงบริเวณที่มีไลเคนขึ้นคลุน เก็บเปลือกไม้หนา 2 - 3 มิลลิเมตร เก็บไว้ในช่องเก็บเปลือกไม้และนำไปไว้ในตู้เย็นจนกว่าจะนำมาวิเคราะห์ จากนั้นนำเปลือกไม้ไปอบที่อุณหภูมิ 80 องศาเซลเซียส เป็นเวลา 24 ชั่วโมง และบดให้ละเอียด ชั้นน้ำหนักให้ได้ 2 กรัม ใส่ในหลอดทดลอง เดินน้ำกลั่น 10 มิลลิลิตร ตั้งทิ้งไว้ 24 ชั่วโมง จากนั้นนำสารละลายที่ได้มามาวัด pH ด้วยเครื่องวัด pH (Staxäng, 1969)

3.2.2.4 การวิเคราะห์ข้อมูลทางสถิติ

นำข้อมูลจำนวนชนิดและความถี่ของໄลเคนในแต่ละพื้นที่ศึกษา ไปคำนวณหาดัชนีความหลากหลายของแซนนอนวีเนอร์ (Shannon – Wiener's Diversity Index: H') ค่าความสม่ำเสมอ (Evenness: E) และค่าความหลากหลาย (species richness) และจัดกลุ่มพื้นที่ศึกษา ด้วยโปรแกรม MVSP version 3.1 ทำการเบรี่ยนเที่ยบความหลากหลายของໄลเคนในพื้นที่ศึกษาทุกพื้นที่ รวมทั้งวิเคราะห์หาความสัมพันธ์ระหว่างดัชนีความหลากหลายของໄลเคนกับระยะห่างจากโรงไฟฟ้าและค่า pH เปลีอิกไน์ ในแต่ละพื้นที่ศึกษา โดยใช้ค่าสัมประสิทธิ์สหสัมพันธ์ของเพียร์สัน (Pearson Correlation coefficient / Pearson Correlation: r) ด้วยโปรแกรม SPSS (Statistical Package for social Science) for window Version 14.0

3.2.3 Passive sampling technique

ทำการเก็บตัวอย่างก้าชชัลเฟอร์โดยออกไซค์ในอากาศในแต่ละพื้นที่ศึกษา โดยเก็บตัวอย่างอากาศในช่วงฤดูแล้งและฤดูฝน ในฤดูแล้งทำการเก็บตัวอย่างอากาศเป็นเวลา 1 สัปดาห์ ในช่วงวันที่ 21- 28 กุมภาพันธ์ พ.ศ. 2552 ส่วนฤดูฝนทำการเก็บตัวอย่างอากาศเป็นเวลา 1 สัปดาห์ เข่นกัน ในช่วงวันที่ 5 - 12 กรกฎาคม พ.ศ. 2552

3.2.3.1 การเตรียมอุปกรณ์และสารเคมีในการเก็บตัวอย่างอากาศ

1. หลอดเก็บตัวอย่างอากาศ

ใช้หลอดเก็บตัวอย่างอากาศชนิดโพลีเอทธิลีน (Polyethylene; PE) ที่มีความยาว 5.4 เซนติเมตร เส้นผ่านศูนย์กลาง 1.4 เซนติเมตร โดยล้างทำความสะอาดหลอดด้วยน้ำปราศจากไฮอาโนน (DI) ด้วยเครื่อง ultrasonicator เป็นเวลา 30 นาที 2 - 3 ครั้ง นำไปอบให้แห้งที่อุณหภูมิ 60 องศาเซลเซียส เป็นเวลา 1 คืน (Khaodee, 2006)

2. กระดาษกรอง

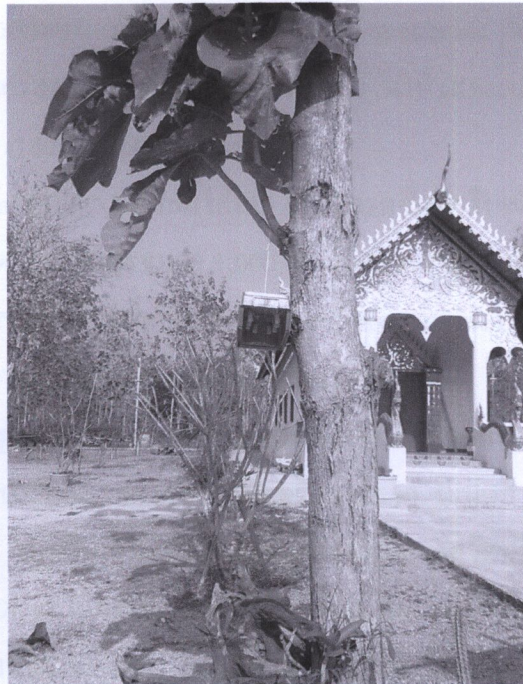
ใช้กระดาษกรอง Whatman (GF/A) โดยตัดกระดาษกรองให้มีขนาดพอๆ กับเส้นผ่านศูนย์กลางภายในของหลอดเก็บตัวอย่าง นำกระดาษกรองที่ตัดแล้ว นำไปทำความสะอาดด้วยน้ำ DI โดยเขย่าด้วยเครื่อง ultrasonicator เป็นเวลา 15 นาที แล้วล้างด้วยน้ำ DI อีก 2 - 3 ครั้ง อบให้แห้งที่อุณหภูมิ 60 °C เป็นเวลา 1 คืน เก็บกระดาษกรองที่เตรียมแล้วในอุปกรณ์ควบคุมความชื้น (desiccators) จนกว่าจะนำไปใช้ ใส่กระดาษกรองลงในหลอดเก็บตัวอย่าง โดยให้กระดาษกรองอยู่ล่างสุดของหลอดเก็บตัวอย่าง (Khaodee, 2006)

3. สารคุณชั้บ

สารคุณชั้บที่เหมาะสมในการเก็บตัวอย่างก้าชชัลเฟอร์ไครอออกไซด์ตามวิธีของ Khaodee (2006) คือไตรเอทานอลามีน (Triethanolamine ; TEA) 12 % ที่มีส่วนผสมกลีเซอรีน (Glycerin) 4 % ซึ่งเตรียมได้จาก ปีเป็ตสาร TEA มาปริมาตร 12 มิลลิลิตร และกลีเซอรีน 4 มิลลิลิตร เติมลงในขวดวัสดุปริมาตรขนาด 100 มิลลิลิตร แล้วปรับปริมาตรด้วยน้ำ DI จนครบ 100 มิลลิลิตร

3.2.3.2 การวางแผนทดลองเก็บตัวอย่างอากาศ

ในการวางแผนทดลองเก็บตัวอย่างอากาศของแต่ละพื้นที่ศึกษา จะใช้ทดลองเก็บตัวอย่างอากาศจำนวน 8 ทดลองต่อพื้นที่ศึกษา สำหรับเป็นทดลองเก็บตัวอย่างอากาศจำนวน 5 ทดลอง และเป็น blank จำนวน 3 ทดลอง ซึ่งทดลองเก็บตัวอย่างอากาศเตรียมได้จาก นำสารคุณชั้บ (12 % TEA + 4 % Glycerin) ปริมาตร 50 ไมโครลิตร ผ้าดูดในกระดาษกรอง Whatman (GF/A) ที่บรรจุอยู่ในหลอดเก็บตัวอย่างอากาศ ปิดฝาหลอดและพันด้วยพาราฟิล์ม แล้วนำหลอดเก็บตัวอย่างที่เตรียมเสร็จแล้ว บรรจุลงในกล่องป้องกัน (shelter) เพื่อช่วยป้องกันหรือลดผลกระทบจากสภาพสิ่งแวดล้อมอื่นๆ เช่น แสง ลม ฝน และฝุ่นละอองต่างๆ ไม่ให้เข้าไปในรากน้ำในหลอดเก็บตัวอย่างอากาศ นำกล่องป้องกันไปแขวนที่โล่งแจ้ง ไม่มีสิ่งกีบบังลม ที่ระดับความสูงเหนือพื้นดิน 1.5 – 2 เมตร โดยผูกติดกับสิ่งยึดเกาะให้แน่นเพื่อป้องกันไม่ให้กล่องป้องกันเคลื่อนที่ได้ (ภาพ 3.8) เปิดฝาหลอดเก็บตัวอย่างอากาศ ส่วนหลอดเก็บตัวอย่างที่เป็น blank จะปิดฝาหลอดไว้ บันทึกเวลาที่เริ่มแขวนทดสอบ ทิ้งไว้เป็นเวลา 7 วัน (168 ชั่วโมง) เมื่อครบกำหนดเวลา บันทึกเวลาเก็บหลอดเก็บตัวอย่างอากาศ และเก็บหลอดเก็บตัวอย่างอากาศโดยปิดฝาหลอดให้สนิทและพันด้วยพาราฟิล์ม เก็บไว้ในถุงซิปในกล่องโฟมที่รักษาอุณหภูมิตามที่กำหนดมาไว้คร่าวที่ห้องปฏิบัติการ เก็บหลอดเก็บตัวอย่างอากาศไว้ในตู้เย็นจนกว่าจะนำมาวิเคราะห์ (Khaodee, 2006)



ภาพ 3.8 การวางแผนเก็บตัวอย่างอากาศ

3.2.3.3 การสกัดตัวอย่าง

ก่อนสกัดตัวอย่าง ควรล้างด้านนอกของหลอดเก็บตัวอย่างอากาศด้วยน้ำให้สะอาด ทำการสกัดตัวอย่างด้วยการเติมน้ำ DI ปริมาตร 4 มิลลิลิตร ลงในหลอดเก็บตัวอย่างอากาศ ปิดฝาหน้าไปเบ่าด้วยเครื่อง ultrasonicator เป็นเวลา 15 นาที เพื่อสกัดสารละลายน้ำ soluble ออกโซน (SO_4^{2-}) ดูดสารละลายน้ำที่ได้ด้วยกระบอกฉีดยา (syring) ขนาด 3 มิลลิลิตร แล้วกรองด้วย glass syringe filter (cellulose acetate ขนาดกรุพrun 0.45 ไมโครเมตร) จะได้สารตัวอย่างที่ต้องการวิเคราะห์ด้วยเทคนิคไอออนโครโนมาโทกราฟต่อไป (Khaodee, 2006)

3.2.3.4 การวิเคราะห์ชัลเฟต์ไอออน (SO_4^{2-}) ด้วยเครื่องไอออนโครโนมาโทกราฟ

1. การเตรียม eluent หรือ mobile phase

สาร eluent 3.2 mM Na_2CO_3 / 1.0 mM NaHCO_3 เตรียมได้จาก ชั้งสาร Na_2CO_3 3.4046 กรัม และ NaHCO_3 0.8426 กรัม ละลายน้ำ DI ในบีกเกอร์ เทสารละลายทึบสองลงในขวดวัดปริมาตรขนาด 100 มิลลิลิตร แล้วปรับปริมาตรด้วยน้ำ DI จนครบ 100 มิลลิลิตร จากนั้นปิดเป็ตสารละลายน้ำที่เตรียมได้ มาปริมาตร 10 มิลลิลิตร ใส่ลงในขวดวัดปริมาตรขนาด 1,000 มิลลิลิตร แล้วปรับปริมาตรด้วยน้ำ DI จนครบ 1,000 มิลลิลิตร ทำซ้ำ 2 ครั้ง จะได้สาร eluent 2 ลิตร นำสาร

eluent ที่ได้กรองด้วยกรองและ cellulose acetate membrane ขนาด 0.45 ไมโครเมตร แล้วทำการ degassed ด้วยเครื่อง ultrasonicator เป็นเวลา 30 นาที (Khaodee, 2006)

2. การเตรียม suppresser (100 mM H₂SO₄)

suppresser (100 mM H₂SO₄) เตรียมได้จาก ปีเปตกรดซัลฟิวโรกเข้มข้น (H₂SO₄) นาปริมาตร 5.5 มิลลิลิตร ลงในขวดปริมาตรขนาด 1,000 มิลลิลิตร แล้วปรับปริมาตรด้วยน้ำ DI จนครบ 1,000 มิลลิลิตร นำสารละลายที่ได้กรองด้วย 0.45 μm cellulose acetate membrane (Khaodee, 2006)

3. การเตรียมสารละลายมาตรฐาน (standards solution)

สารละลายมาตรฐานในการวิเคราะห์หาความเข้มข้นของซัลเฟต ไอออน (SO₄²⁻) ใช้ความเข้มข้น 0.1, 0.2, 0.4, 0.6, 0.8 และ 1.0 ppm โดยเตรียมได้จาก ปีเปตสารละลายซัลเฟตมาตรฐานความเข้มข้น 1,000 ppm นาปริมาตร 250 ไมโครลิตร ลงในขวดปริมาตรขนาด 25 มิลลิลิตร แล้วปรับปริมาตรด้วยน้ำ DI จะได้สารละลายซัลเฟตมาตรฐานความเข้มข้น 10 ppm จากนั้นปีเปตสารละลายซัลเฟตมาตรฐานความเข้มข้น 10 ppm นาปริมาตร 250, 500, 1,000, 1,500, 2,000 และ 2,500 ไมโครลิตร ลงในขวดปริมาตรขนาด 25 มิลลิลิตร แล้วปรับปริมาตรด้วยน้ำ DI จนครบ จะได้สารละลายมาตรฐานที่ความเข้มข้น 0.1, 0.2, 0.4, 0.6, 0.8 และ 1.0 ppm ตามลำดับ (Khaodee, 2006)

4. การวิเคราะห์หาปริมาณซัลเฟต ไอออน (SO₄²⁻)

การวิเคราะห์หาความเข้มข้นของก๊าซซัลเฟอร์ไดออกไซด์ในอากาศ หาได้จากการวิเคราะห์หาปริมาณซัลเฟต ไอออน (SO₄²⁻) ด้วยเครื่อง ไอออนโครโนม่าโทรกราฟ โดยใช้สภาวะที่เหมาะสมของเครื่อง ดังตาราง 3.2 (Wiriya, 2008)

ตาราง 3.2 สภาวะที่เหมาะสมของเครื่อง ไอออนโครโนม่าโทรกราฟ สำหรับการวิเคราะห์ไอออนลบ

Analysis item	Anion
Eluent	3.2 mM Na ₂ CO ₃ / 1.0 mM NaHCO ₃
Flow late	0.70 ml/min
Volume	20 μl
Analysis column	Metrosep A supp 5 – 250 (4.0 x 250 mm)
Particle size	5.0 μm
Suppressor	Anion self-generating suppressor with DI water / 100 mM H ₂ SO ₄
Temperature	20.0 °C
Pressure	12.0 MPa

เริ่มด้วยการจัดสภาพที่เหมาะสมให้กับเครื่องไอออน โครโนมาโทรกราฟ ตามด้วยการ run base line จนนิ่ง (ประมาณ 1 ชั่วโมง) ตามด้วยการฉีดสารละลายน้ำแร่ฐานทั้ง 6 ความเข้มข้น เพื่อใช้ทำการฟอกมาตรฐาน แล้วจึงตามด้วยการฉีดสารตัวอย่าง ซึ่งจะได้ความเข้มข้นของซัลเฟตไอออน (SO_4^{2-}) ในหน่วย ppm หลังจากนั้นทำการคำนวณโดยใช้สูตร 2.4, 2.5 และ 2.6 (หน้า 20) ได้ความเข้มข้นของก๊าซซัลเฟอร์ไดออกไซด์ในหน่วย ppbv

3.2.4 การหาความสัมพันธ์ของปริมาณก๊าซซัลเฟอร์ไดออกไซด์กับความหลากหลายของไอลเคน

วิเคราะห์หาความสัมพันธ์ระหว่างปริมาณก๊าซซัลเฟอร์ไดออกไซด์กับดัชนีความหลากหลายของไอลเคนในแต่ละพื้นที่ โดยใช้ค่าสัมประสิทธิ์สหสัมพันธ์ของเพียร์สัน (Pearson Correlation coefficient / Pearson Correlation: r) ด้วยโปรแกรม SPSS (Statistical Package for social Science) for window Version 14.0

บทที่ 4

ผลการศึกษา

จากการศึกษาความหลากหลายของไอลเคน และการตรวจวัดปริมาณก้าชซัลเฟอร์-ไซดออกไซด์ ในพื้นที่หมู่บ้านบริเวณรอบโรงไฟฟ้าแม่เมะ อําเภอแม่เมะ จังหวัดลำปาง ทั้งหมด 10 พื้นที่ ตั้งแต่เดือนกุมภาพันธ์ - กรกฎาคม พ.ศ. 2552 ได้ผลการศึกษาดังนี้

4.1 การศึกษาความหลากหลายของไอลเคน

4.1.1 การศึกษานิodicและความถี่ของจำนวนไอลเคน

จากการสำรวจนิodicของไอลเคนในพื้นที่ศึกษาทั้งหมด 10 พื้นที่ ของหมู่บ้านในบริเวณรอบโรงไฟฟ้าแม่เมะ ตั้งแต่เดือนกุมภาพันธ์ - เมษายน พ.ศ. 2552 ซึ่งได้สำรวจจากต้นมะม่วงจำนวน 100 ต้น พบไอลเคนทั้งหมด 13 วงศ์ (family) 24 สกุล (genus) 43 ชนิด (species) ประกอบด้วย ไอลเคนกลุ่มโพลิโอสจำนวน 5 สกุล 11 ชนิด และเป็นไอลเคนกลุ่มครัสโตรสจำนวน 19 สกุล 32 ชนิด โดยไอลเคนส่วนใหญ่ที่พบอยู่ในสกุล *Dirinaria*, *Pyxine*, *Chrysothrix*, *Cryptothecia*, *Arthonia*, *Lecanographa*, *Laurera* และ *Hyperphyscia* ส่วนน้อยที่พบเป็นไอลเคนที่อยู่ในสกุล *Buellia*, *Ocellularia* และ *Chapsa* มีไอลเคนที่ไม่สามารถจัดจำแนกสกุลได้ 1 ตัวอย่าง ดังตาราง 4.1 นอกจากนี้ไอลเคน *Dirinaria picta* และ *Pyxine cocoes* เป็นไอลเคนที่พบในความถี่สูงและพบในทุกพื้นที่ศึกษา ไอลเคนที่พบบ่อยและมีความถี่สูงได้แก่ ไอลเคนชนิด *Chrysothrix xanthina*, *Arthonia tumidula*, และ *Laurera subbenguelensis* ซึ่งพบได้ในพื้นที่ศึกษา 9 แห่ง จากพื้นที่ศึกษาทั้งหมด 10 แห่ง (ตาราง 4.2) ไอลเคนที่พบน้อยที่สุด ซึ่งพบในพื้นที่ศึกษาเพียงแห่งเดียวและมีความถี่ต่ำ ได้แก่ ไอลเคนชนิด *Arthonia* sp.2 พบที่บ้านแม่ทะ *Chapsa* sp. พบที่บ้านสนป่าด *Rinodina* sp.2 พบที่บ้านแม่จาง *Physcia* cf. *erumpens* และ *Ocellularia* sp. พบที่บ้านปางปวย *Arthonia* sp.3, *Lecanora* sp.4 และ *Porina* sp.2 พบที่บ้านกอรวก และ cf. *Anisomeridium* sp.2 พบที่บ้านท่าสี

ตาราง 4.1 รายชื่อวงศ์ สกุลและชนิดของ ໄລເຄນທີ່ພົບຈາກການສໍາຮວງໃນພື້ນທີ່ເກີມຢາ
(ຈັດຂໍາແນກຕາມ Purvis et al., 1992)

Thallus Type	Family	Genus	Species
Foliose	Parmeliaceae	<i>Parmotrema</i>	<i>P. praesorediosum</i>
			<i>P. tinctorum</i>
	Physciaceae	<i>Dirinaria</i>	<i>D. picta</i>
			<i>H. adglutinata</i>
	Physciaceae	<i>Hyperphyscia</i>	<i>H. pandani</i>
			<i>H. cf. tuckermanii</i>
			<i>P. cf. dilatata</i>
			<i>P. cf. erumpens</i>
			<i>P. poncinsii</i>
	Pyxine	<i>Physcia</i>	<i>P. undulata</i>
			<i>P. cocoes</i>
Crustose	Arthoniaceae	<i>Arthonia</i>	<i>A. tumidula</i>
			<i>Arthonia</i> sp.2
			<i>Arthonia</i> sp.3
	Arthoniaceae	<i>Arthothelium</i>	<i>Arthothelium</i> sp.1
			<i>Arthothelium</i> sp.2
	Chrysotrichaceae	<i>Cryptothecia</i>	<i>Cryptothecia</i> sp.
			<i>C. xanthina</i>
	Gyalectaceae	<i>Dimerella</i>	<i>Dimerella</i> sp.
	Lecanoraceae	<i>Lecanora</i>	<i>L. ecoronata</i>
			<i>L. leprosa</i>
			<i>Lecanora</i> sp.3
			<i>Lecanora</i> sp.4
Monoblastiaceae	cf. <i>Anisomeridium</i>	cf. <i>Anisomeridium</i> sp.1	cf. <i>Anisomeridium</i> sp.1
			cf. <i>Anisomeridium</i> sp.2
	Physciaceae	<i>Buellia</i>	<i>Buellia</i> sp.

ตาราง 4.1 (ต่อ) รายชื่อวงศ์ สกุลและชนิดของไอลเคนที่พ้นจากการสำรวจในพื้นที่ศึกษา
(จัดจำแนกตาม Purvis *et al.*, 1992)

Thallus Type	Family	Genus	Species
Crustose	Physciaceae	<i>Rinodina</i>	<i>Rinodina</i> sp.1 <i>Rinodina</i> sp.2
	Pyrenulaceae	<i>Pyrenula</i>	<i>Pyrenula</i> sp.
	Bacidiaceae	<i>Bacidia</i>	<i>Bacidia</i> sp.1 <i>Bacidia</i> sp.2 <i>Bacidia</i> sp.3
	Roccellaceae	<i>Lecanographa</i>	<i>Lecanographa</i> sp.
	Thelotremaeae	<i>Chapsa</i>	<i>Chapsa</i> sp.
	Thelotremaeae	<i>Ocellularia</i>	<i>Ocellularia</i> sp.
	Thelotremaeae	<i>Leucodection</i>	<i>L. occultum</i>
	Trichotheliaceae	<i>Porina</i>	<i>P. aciculosa</i> <i>Porina</i> sp.2
	Trypetheliaceae	<i>Laurera</i>	<i>L. subbenguelensis</i> <i>Laurera</i> sp.2
	Trypetheliaceae	<i>Trypethelium</i>	<i>T. aff. tropicum</i> <i>T. eluteriae</i>
ไม่ทราบ	ไม่ทราบ		Unknown1

ตาราง 4.2 ความถี่รวมของจำนวนไลค์เคนแท้ละชนิด ในพื้นที่ศึกษา

ตาราง 4.2 (ต่อ) ความถี่รวมของจำนวนไอลเคนแต่ละชนิด ในพื้นที่ศึกษา

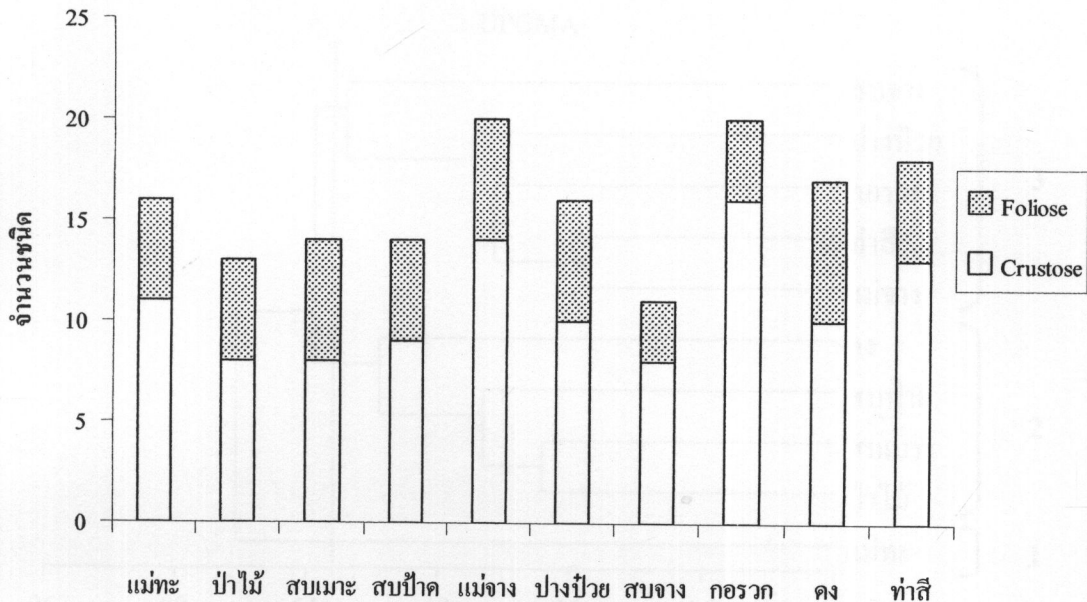
ไอลเคน	ความถี่ไอลเคนในพื้นที่ศึกษา										จำนวนรวม
	เมือง	ป่าไม้	สับเมือง	สวนปาล์ม	นาข้าว	ป่าร่อง	สวนยาง	กรุงเทพฯ	ท่าสี	อื่นๆ	
<i>Lecodection occultum</i>						3			3		6
<i>Physcia cf. dilatata</i>									5		5
<i>Dimerella</i> sp.					5						5
<i>Lecanora</i> sp.3	5										5
<i>Hyperphyscia pandani</i>						4					4
<i>Hyperphyscia</i> cf. <i>tuckermanii</i>	4										4
<i>Bacidia</i> sp.3			4								4
<i>Pyrenula</i> sp.					1				1	2	4
<i>Buellia</i> sp.	1							1			2
<i>Ocellularia</i> sp.					2						2
<i>Physcia</i> cf. <i>erumpens</i>						1					1
cf. <i>Anisomeridium</i> sp.2									1		1
<i>Arthonia</i> sp.2	1										1
<i>Arthonia</i> sp.3								1			1
<i>Lecanora</i> sp.4							1				1
<i>Rinodina</i> sp.2				1							1
<i>Chapsa</i> sp.					1						1
<i>Porina</i> sp.2							1				1

เมื่อเปรียบเทียบจำนวนชนิดของไอลเคนกลุ่มครัสโടส กับจำนวนชนิดของไอลเคนกลุ่มโพลิโอส ที่พบในแต่ละพื้นที่ศึกษา พบร้าทุกพื้นที่ศึกษามีจำนวนชนิดของครัสโटสามารถกว่าจำนวนชนิดของโพลิโอส ซึ่งในพื้นที่ศึกษาที่ 5 และ 8 ตือบ้านแม่จางและบ้านกอรวกพบจำนวนชนิดของไอลเคนมากที่สุดคือ 20 ชนิด รองลงมาคือพื้นที่ศึกษาที่ 10 บ้านท่าสี พบร้าไอลเคนจำนวน 18 ชนิด ในขณะที่พื้นที่ศึกษาที่ 7 บ้านสนจางพบจำนวนชนิดของไอลเคนน้อยที่สุดเพียง 11 ชนิด ดังตาราง

4.3 แลกภาค 4.1

ตาราง 4.3 จำนวนชนิดของไอลเคนกลุ่มครัสโಟสและไอลเคนกลุ่มโพลิโอสในแต่ละพื้นที่ศึกษา

ลำดับ	พื้นที่ศึกษา	จำนวนชนิดของไอลเคน		
		Crustose	Foliose	รวม
1	บ้านแม่ทะ	11	5	16
2	บ้านป่าໄน	8	5	13
3	บ้านสนมะ	8	6	14
4	บ้านสนป้าด	9	5	14
5	บ้านแม่จาง	14	6	20
6	บ้านปางปัวย	10	6	16
7	บ้านสนจาง	8	3	11
8	บ้านกอรวก	16	4	20
9	บ้านคง	10	7	17
10	บ้านท่าสี	13	5	18
รวม		32	11	43

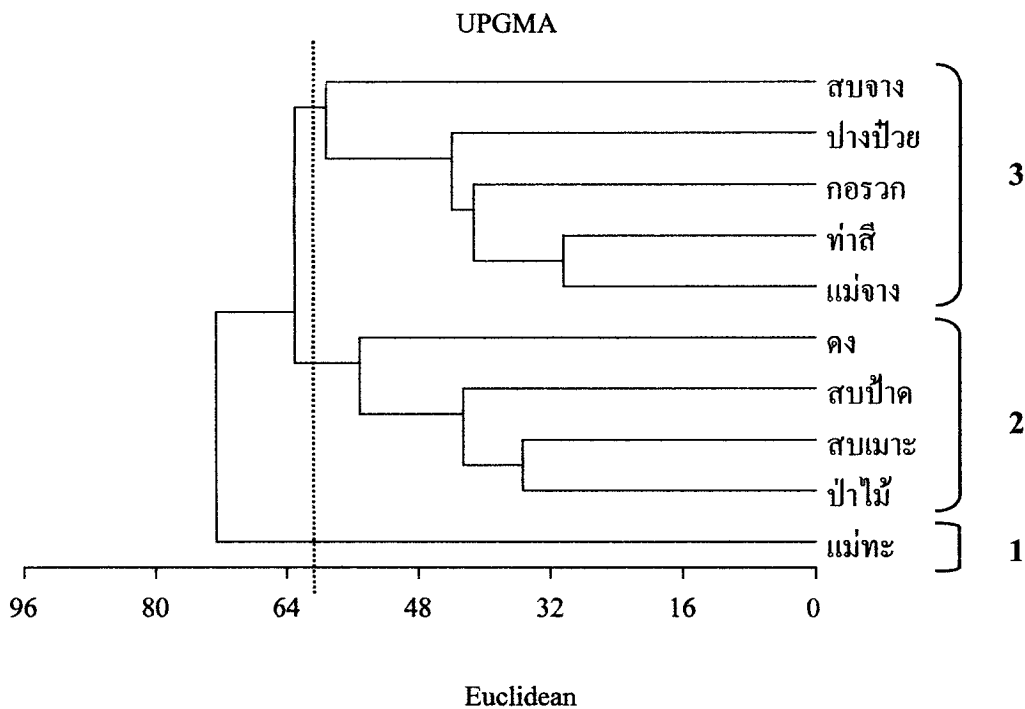


ภาพ 4.1 จำนวนชนิดของไอลิเคนกลุ่มครัสตอิสและไอลิเคนกลุ่มโฟลิโอิส ในแต่ละพื้นที่ศึกษา

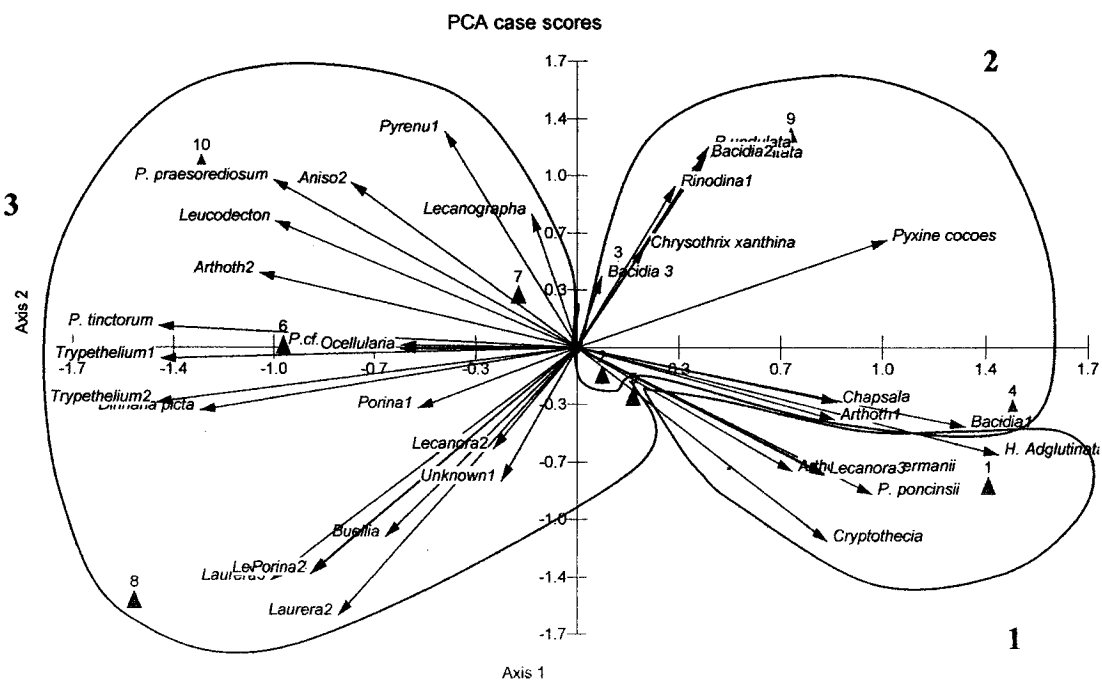
จากการจัดกลุ่มพื้นที่ศึกษา (Cluster Analysis) โดยใช้ข้อมูลชนิดและความถี่ของไอลิเคนในแต่ละพื้นที่ ด้วยวิธี UPGMA Euclidean ด้วยโปรแกรม MVSP version 3.1 พบว่า สามารถจัดกลุ่มพื้นที่ศึกษาได้เป็น 3 กลุ่ม ดังภาพ 4.2 และ ภาพ 4.3 ได้แก่ กลุ่ม 1 ประกอบด้วยพื้นที่ศึกษาที่ 1 บ้านแม่ทะ พบไอลิเคนชนิด *Cryptothecia* sp., *Dirinaria picta* และ *Pyxine cocoae* มีความถี่สูงสุด นอกจากนี้ยังพบ *Hyperphyscia adglutinata*, *Lecanographa* sp. และ *Physcia poncinsii* และเป็นพื้นที่เดียวที่พบ *Hyperphyscia cf. tuckermanii*, *Arthonia* sp.2 และ *Lecanora* sp.3

กลุ่ม 2 ประกอบด้วยพื้นที่ศึกษาที่ 2, 3, 4 และ 9 ได้แก่หมู่บ้านเปาไน บ้านสนเมะ บ้านสนป่าด และบ้านคง พบไอลิเคนชนิด *Chrysotricha xanthina*, *Dirinaria picta*, *Pyxine cocoae* และ *Arthonia tumidula* มีความถี่สูงสุด ในกลุ่ม 2 พบไอลิเคน 6 ชนิด ที่ไม่พบในกลุ่ม 1 และ 3 ได้แก่ *Physcia cf. dilatata*, *Physcia undulata*, *Bacidia* sp.2, *Bacidia* sp.3, *Dimerella* sp. และ *Chapsa* sp.

กลุ่ม 3 ประกอบด้วยพื้นที่ศึกษา 5, 6, 7, 8 และ 10 ได้แก่หมู่บ้านแม่งจาง บ้านปางปีว บ้านสนจาง บ้านกอรวก และบ้านท่าสี พบไอลิเคนชนิด *Dirinaria picta* มีความถี่สูงกว่ากลุ่ม 1 และ กลุ่ม 2 อันงัชเด่น และพบไอลิเคน *Parmotrema praesorediosum*, *Parmotrema tinctorum*, *Laurera subbenguelensis*, *Laurera* sp.2, *Lecanographa* sp., *Lecanora leprosa* และ *Trypethelium eluteriae* มีความถี่สูงกว่ากลุ่ม 2 นอกจากนี้ยังพบไอลิเคน 13 ชนิด ที่พบเพียงในกลุ่ม 3 เช่น cf. *Anisomeridium* sp.1, cf. *Anisomeridium* sp.2, *Arthothelium* sp.2, *Porina aciculosa*, *Leucodecton occultum*, *Ocellularia* sp. และ Unknown เป็นต้น (ตาราง 4.2)



ภาพ 4.2 การจัดกลุ่มพื้นที่ศึกษา (Cluster Analysis)



ภาพ 4.3 ชนิดไลเคนที่พบในกลุ่มพื้นที่ศึกษาที่ได้จากการจัดกลุ่ม (Cluster Analysis)

4.1.2 การศึกษาความหลากหลายของໄລເຄນ

จากข้อมูลชนิดและความถี่ของໄລເຄນที่ພບໃນແຕ່ລະພື້ນທີ່ສຶກຍາທັງໝົດ 10 ພື້ນທີ່ເມື່ອນຳມາ
ກໍານວດຫາຄໍາດັ່ງນີ້ຄວາມหลากหลายຂອງແຜນນອນວິເນໂຮ (Shannon – Wiener's Diversity Index: H')
ຄໍາຄວາມສໍາເສນອ (Evenness: E) ແລະຄໍາຄວາມຫລາກຫນິດ (species richness) ພບວ່າພື້ນທີ່ສຶກຍາທີ່ 8
ບ້ານກອງຮັກມີຄໍາດັ່ງນີ້ຄວາມหลากหลายຂອງໄລເຄນສູງທີ່ສຸດ ຄື່ອ 2.30 ແລະມີຄວາມຫລາກຫນິດຂອງ
ໄລເຄນ (species richness) ສູງສຸດ ຄື່ອ 20 ຜົນດ ຮອງລົງນາຄື່ອ ບ້ານສບປັດ ບ້ານແມ່ທະ ບ້ານຄົງ
ບ້ານທ່າສີ ບ້ານແມ່ຈາງ ບ້ານປ່າໄນ້ ບ້ານສບເມາະ ແລະບ້ານປາງປ່ວຍ ຕາມຄໍາດັ່ງ ສ່ວນພື້ນທີ່ສຶກຍາທີ່ 7
ບ້ານສບຈາງມີຄໍາດັ່ງນີ້ຄວາມหลากหลายຂອງໄລເຄນຕໍ່າທີ່ສຸດ ຄື່ອ 1.67 ແລະມີຄວາມຫລາກຫນິດຂອງໄລເຄນ
ນ້ອຍທີ່ສຸດເພີ່ງ 11 ຜົນດ ສໍາຫຼັບຄໍາຄວາມສໍາເສນອຂອງໄລເຄນໃນແຕ່ລະພື້ນທີ່ມີຄ່າອູ້ໃນຊ່ວງ
0.65 – 0.86 ໂດຍພື້ນທີ່ສຶກຍາທີ່ 4 ບ້ານສບປັດ ມີຄໍາຄວາມສໍາເສນອຂອງໄລເຄນສູງທີ່ສຸດ (ຕາຮາງ 4.4)

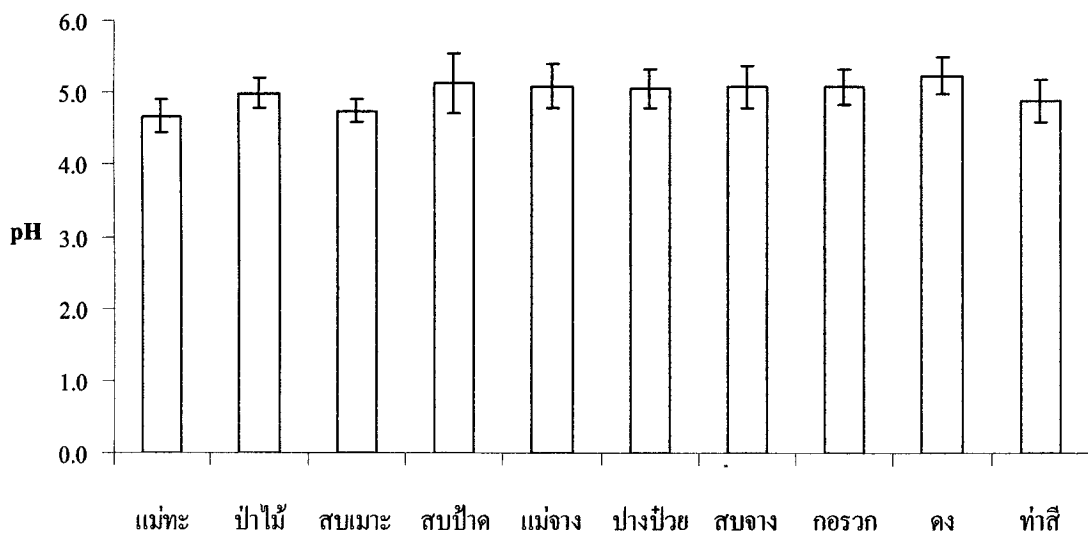
ຕາຮາງ 4.4 ດັ່ງນີ້ຄວາມຫລາກຫລາຍ (diversity index) ຄໍາຄວາມສໍາເສນອ (evenness) ແລະ
ຄວາມຫລາກຫນິດ (species richness) ຂອງໄລເຄນໃນພື້ນທີ່ສຶກຍາ

ພື້ນທີ່ສຶກຍາ	Diversity Index	Evenness	Species richness
ບ້ານແມ່ທະ	2.24	0.81	16
ບ້ານປ່າໄນ້	2.04	0.80	13
ບ້ານສບເມາະ	2.04	0.77	14
ບ້ານສບປັດ	2.26	0.86	14
ບ້ານແມ່ຈາງ	2.14	0.71	20
ບ້ານປາງປ່ວຍ	1.81	0.65	16
ບ້ານສບຈາງ	1.67	0.70	11
ບ້ານກອງຮັກ	2.30	0.77	20
ບ້ານຄົງ	2.17	0.77	17
ບ້ານທ່າສີ	2.17	0.75	18

4.2 การศึกษา pH เปลือกไม้ของต้นมะม่วงในพื้นที่ศึกษา

จากการวัดค่า pH เปลือกไม้ของต้นมะม่วงที่ทำการศึกษาทั้งหมดจำนวน 100 ต้น ใน 10 พื้นที่ศึกษา พบว่าค่า pH เปลือกไม้ของต้นมะม่วงมีค่าเฉลี่ยอยู่ระหว่าง 4.67 – 5.23 ซึ่งค่า pH เปลือกไม้ของทุกพื้นที่ศึกษามีค่าค่อนข้างเป็นกรด โดยพื้นที่ศึกษาที่เปลือกไม้มีค่า pH เฉลี่ยน้อยที่สุดคือพื้นที่ศึกษาที่ 1 บ้านแม่ทะ (4.67) ส่วนพื้นที่ศึกษาที่เปลือกไม้มีค่า pH เฉลี่ยมากที่สุดคือพื้นที่ศึกษาที่ 9 บ้านคง (5.23) ดังตาราง 4.5 จากการนำข้อมูลค่า pH เปลือกไม้ของแต่ละพื้นที่ศึกษา มาทำการวิเคราะห์ความแตกต่างของค่า pH โดยเฉลี่ยของเปลือกไม้ในแต่ละพื้นที่ ด้วยการวิเคราะห์ความแปรปรวนแบบทางเดียว (one-way ANOVA) พบว่าค่า pH เปลือกไม้ของแต่ละพื้นที่ศึกษามีความแตกต่างกันอย่างมีนัยสำคัญที่ระดับความเชื่อมั่น 95 % ($F^* = 4.079$, $p < 0.05$) ดังภาพ 4.4 และตาราง 4.5

จากการวิเคราะห์หาความสัมพันธ์ระหว่างค่า pH เปลือกไม้ของแต่ละพื้นที่ศึกษากับดัชนีความหลากหลายของไอลเคนในแต่ละพื้นที่ โดยใช้ค่าสัมประสิทธิ์สหสัมพันธ์ของเพียร์สัน พบว่าค่า pH เปลือกไม้ไม่มีความสัมพันธ์กับดัชนีความหลากหลายของไอลเคนในแต่ละพื้นที่ศึกษาอย่างมีนัยสำคัญที่ระดับความเชื่อมั่น 95% ($r = -0.096$, $p < 0.05$) (ภาคผนวก ค) (ภาพ 4.5)

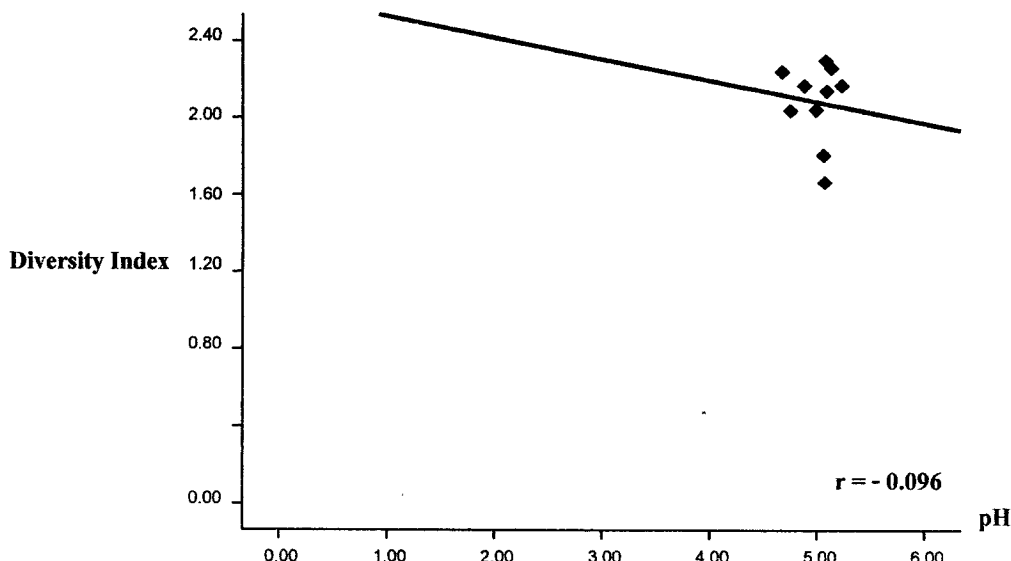


ภาพ 4.4 ค่า pH โดยเฉลี่ยของเปลือกต้นมะม่วงในแต่ละพื้นที่ศึกษา

ตาราง 4.5 pH โดยเฉลี่ยของเปลือกต้นมะม่วงในแต่ละพื้นที่ศึกษา

พื้นที่ศึกษา	pH เปลือกไม้ ± SD	ค่านิความหลากหลายของไอลคน
แม่ทะ	4.67±0.23 ^a	2.24
ป่าไม้	4.99±0.20 ^{abc}	2.04
สบเมะ	4.75±0.16 ^{ab}	2.04
สนป่าค	5.13±0.41 ^{bc}	2.26
แม่จาง	5.09±0.30 ^{bc}	2.14
ปางป่าอย	5.06±0.26 ^{abc}	1.81
สบชาง	5.07±0.30 ^{bc}	1.67
กอรวก	5.08±0.24 ^{bc}	2.30
ดง	5.23±0.25 ^c	2.17
ท่าสี	4.88±0.30 ^{abc}	2.17

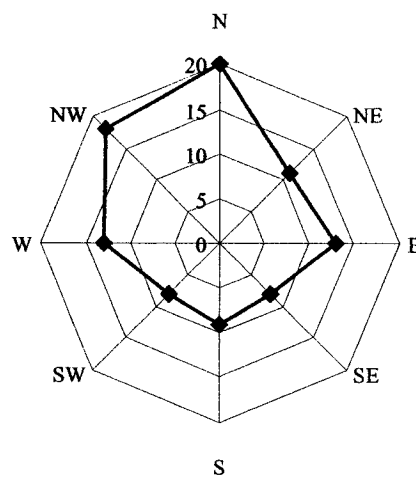
หมายเหตุ a, b, c แสดงความแตกต่างอย่างมีนัยสำคัญของค่า pH โดยเฉลี่ยของเปลือกไม้ โดยข้อมูลชุดที่มีตัวอักษรที่เหมือนกัน ไม่มีความแตกต่างกันทางสถิติ (one-way ANOVA, $p < 0.05$)



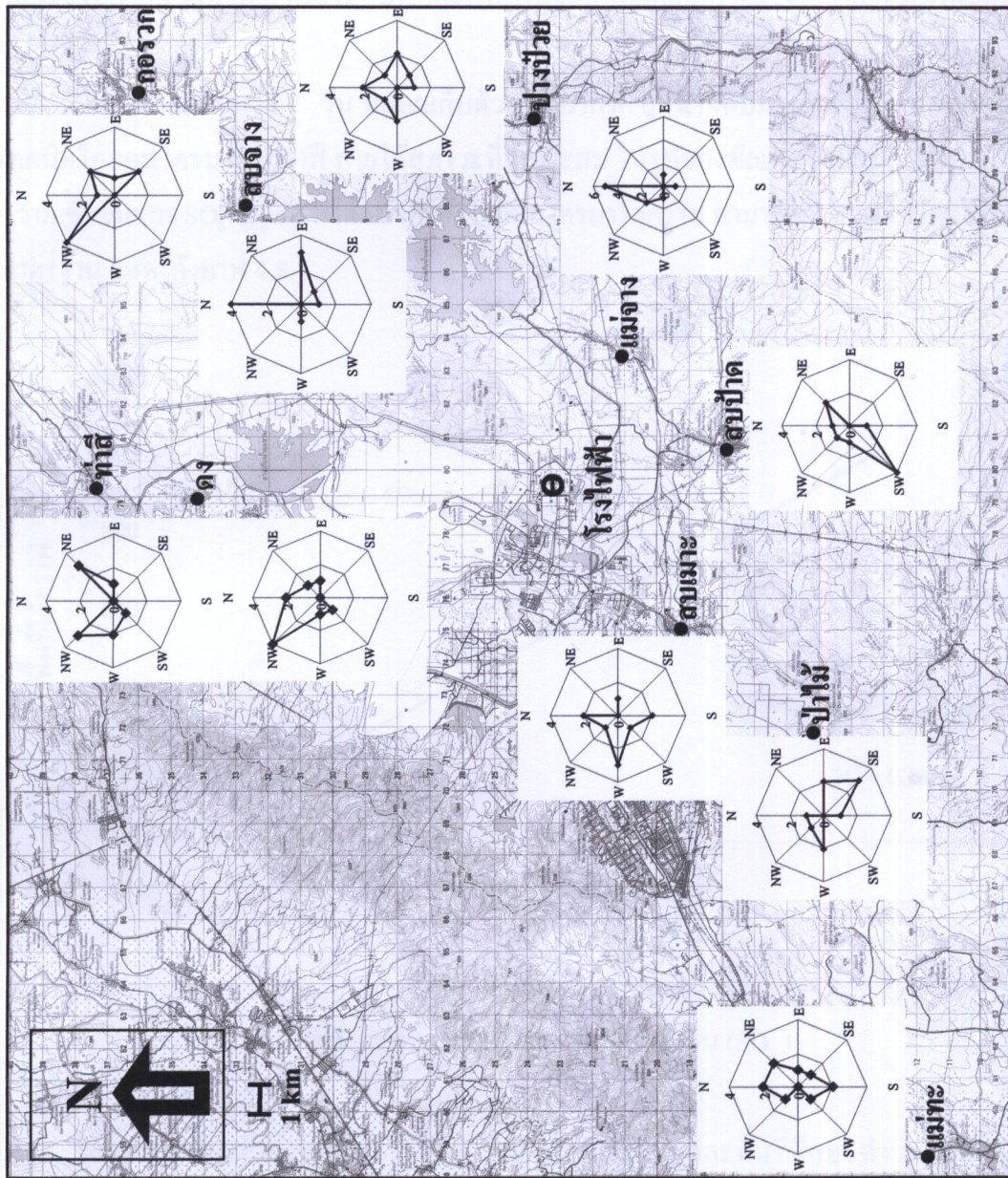
ภาพ 4.5 ความสัมพันธ์ระหว่างค่า pH เปลือกไม้กับค่านิความหลากหลายของไอลคน ในพื้นที่ศึกษา

4.3 ทิศทางบนต้นมะม่วงที่พบໄไลเคนมากที่สุด

จากการบันทึกทิศทางการวางกรอบสำรวจ ที่วางทับบนลำด้านของต้นมะม่วง ซึ่งเลือกว่างบนลำด้านที่มีໄไลเคนขึ้นมากหรือหลากหลายที่สุด พบว่าทิศทางที่พบໄไลเคนมากที่สุด คือ ทิศเหนือ รองลงมาเป็นทิศตะวันตกเฉียงเหนือ ทิศตะวันออก ทิศตะวันตก ทิศตะวันออกเฉียงเหนือ ตามลำดับ ส่วนในทิศใต้ ทิศตะวันออกเฉียงใต้ และทิศตะวันตกเฉียงใต้ พ奔น้อย (ภาพ 4.6) อย่างไรก็ตามเมื่อแยกข้อมูลที่บันทึกได้ของแต่ละพื้นที่ศึกษา พบว่าทิศทางการวางกรอบสำรวจมีความแตกต่างกันในแต่ละพื้นที่ศึกษา ดังภาพ 4.7



ภาพ 4.6 จำนวนทิศทางบนต้นมะม่วงที่พบໄไลเคนมากที่สุด

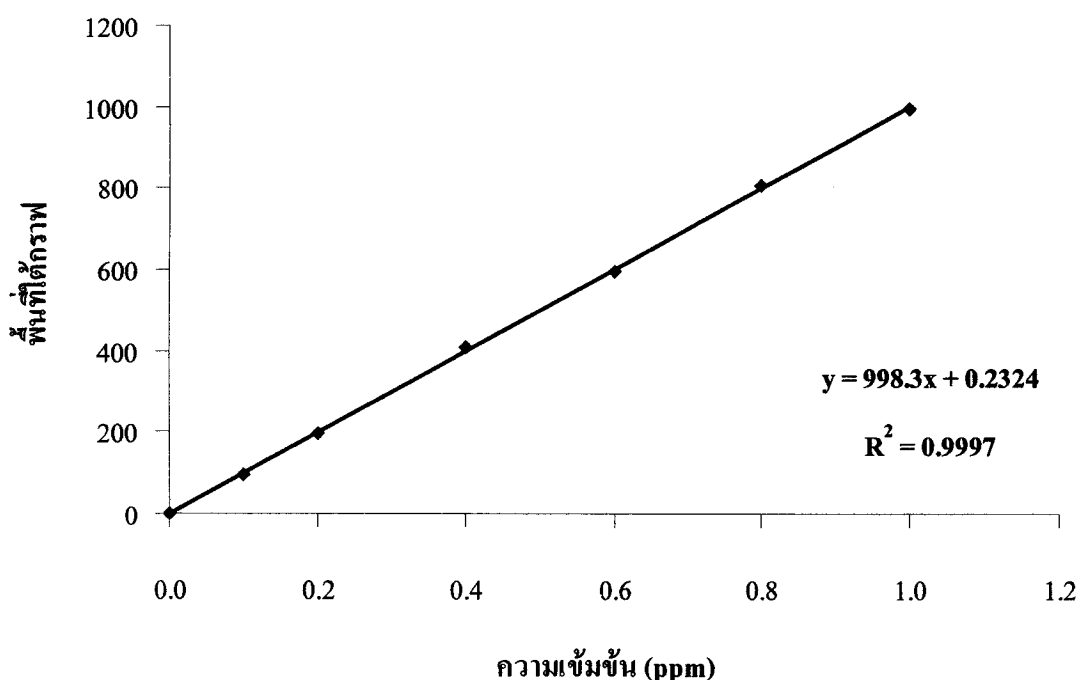


ภาพ 4.7 ทิศทางลมตั้งแต่ลมเมืองทั่วไป ถึงลมตามที่ตั้ง ในแต่ละพื้นที่ศึกษา (กรรมการที่ทำการสำรวจทางสูงชุด, 2542)

4.4 การตรวจวัดปริมาณก๊าซซัลเฟอร์ไดออกไซด์ โดยใช้เทคนิคการเก็บตัวอย่างแบบแพลซีฟ

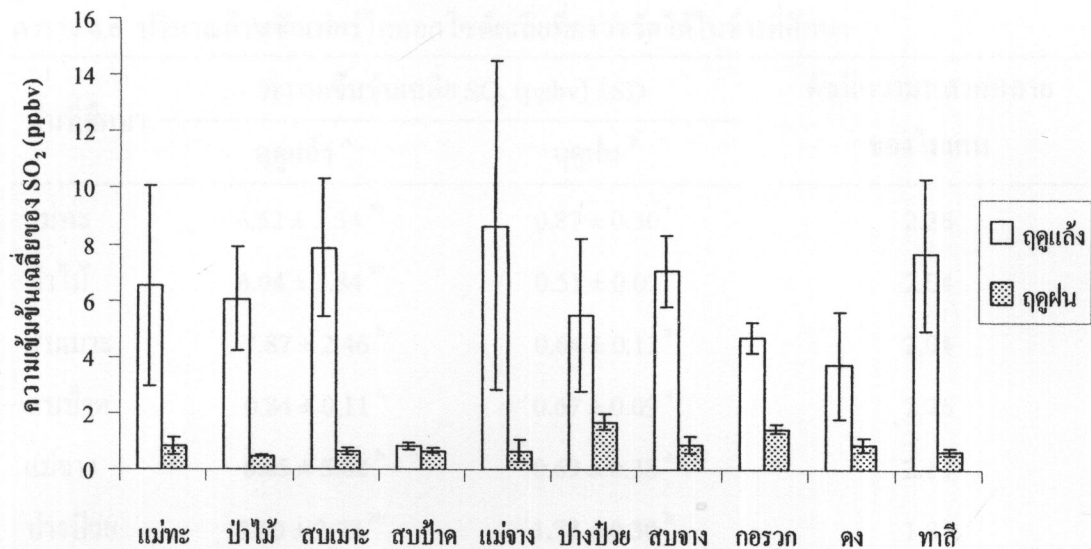
ตรวจวัดปริมาณก๊าซซัลเฟอร์ไดออกไซด์ในอากาศของพื้นที่ศึกษาทั้งหมด 10 พื้นที่ ซึ่งได้เก็บตัวอย่างอากาศของถูกแล้ง ในช่วงวันที่ 21 - 28 กุมภาพันธ์ พ.ศ. 2552 และถูกฝน ในช่วงวันที่ 5 - 12 กรกฎาคม พ.ศ. 2552 โดยในแต่ละพื้นที่ศึกษาได้ทำการวางแผนหลอดเก็บตัวอย่างอากาศที่บรรจุในกล่องป้องกัน จำนวน 8 หลอด/พื้นที่ โดยทำการแขวนหลอดเก็บตัวอย่างอากาศในพื้นที่เป็นเวลา 7 วัน

หลังจากแขวนไว้ 7 วัน หลอดเก็บตัวอย่างอากาศ ถูกนำกลับมาเพื่อทำการวิเคราะห์ด้วยเทคนิคไอออนโครโนม่าโตกราฟ ภายใต้สภาวะที่เหมาะสม ในรูปของซัลเฟตไอออน (SO_4^{2-}) โดยความเข้มข้นของ SO_4^{2-} (ppm) ที่ได้จากเครื่องไอออนโครโนม่าโตกราฟ สามารถคำนวณได้โดยใช้กราฟมาตรฐาน แสดงดังภาพ 4.8



ภาพ 4.8 กราฟมาตรฐานของซัลเฟตไอออน (SO_4^{2-})

ความเข้มข้นของก๊าซซัลเฟอร์ไดออกไซด์ในอากาศ ในแต่ละพื้นที่ศึกษา คำนวณได้โดยใช้สมการ 2.4 ในหน่วย $\mu\text{g}/\text{m}^3$ และทำการคำนวณในสมการ 2.6 จะได้ก๊าซซัลเฟอร์ไดออกไซด์ในหน่วย ppbv ค่าความเข้มข้นของก๊าซซัลเฟอร์ไดออกไซด์เฉลี่ยในแต่ละพื้นที่ศึกษา ทั้งในถูกแล้ง และถูกฝน แสดงดังภาพ 4.9



ภาพ 4.9 ค่าความเข้มข้นเฉลี่ยของก๊าซซัลเฟอร์ไดออกไซด์ในพื้นที่ศึกษา ในช่วงฤทธิ์แล้งและฤทธิ์ฝน

ความเข้มข้นเฉลี่ยของก๊าซซัลเฟอร์ไดออกไซด์ในแต่ละพื้นที่ศึกษาของฤทธิ์แล้ง ในช่วงที่ตรวจวัดมีค่าเท่ากับ 0.84 - 8.65 ppbv โดยค่าต่ำสุดที่ตรวจวัดได้พบที่บ้านสนป้า และค่าสูงสุดที่ตรวจวัดได้พบที่บ้านแม่จาง ในขณะที่ฤทธิ์ฝนตรวจวัดปริมาณของก๊าซซัลเฟอร์ไดออกไซด์ได้ค่าความเข้มข้นเฉลี่ยเท่ากับ 0.51 – 1.72 ppbv โดยค่าต่ำสุดที่ตรวจวัดได้พบที่บ้านป่าไม้ และค่าสูงสุดที่ตรวจวัดได้พบที่บ้านปางปวย โดยค่าความเข้มข้นเฉลี่ยของก๊าซซัลเฟอร์ไดออกไซด์ของฤทธิ์แล้ง จะมีค่ามากกว่าฤทธิ์ฝน ดังตาราง 4.6

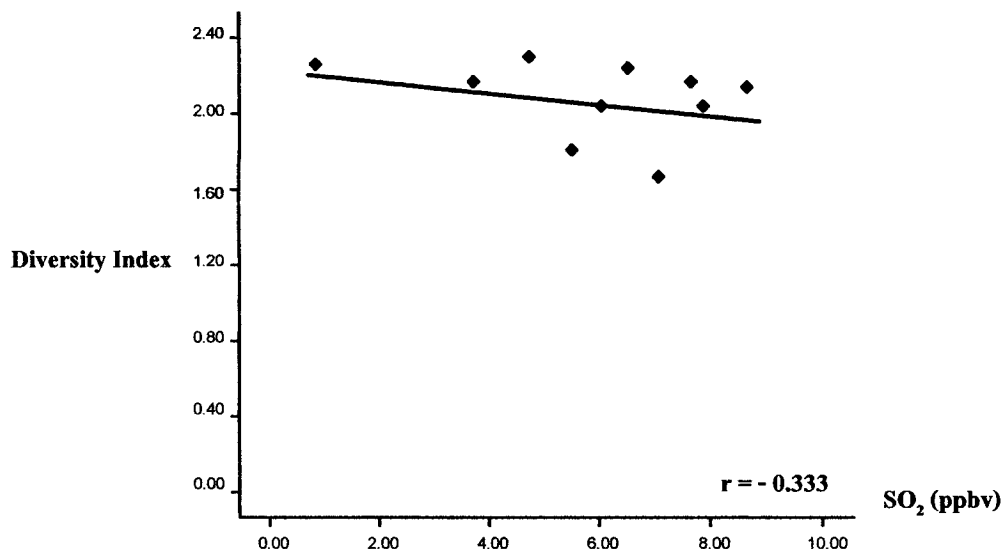
จากการเปรียบเทียบค่าความเข้มข้นเฉลี่ยของก๊าซซัลเฟอร์ไดออกไซด์ในแต่ละพื้นที่ศึกษา ด้วยการวิเคราะห์ความแปรปรวนแบบทางเดียว (one-way ANOVA) พบว่าค่าความเข้มข้นเฉลี่ยของก๊าซซัลเฟอร์ไดออกไซด์ในแต่ละพื้นที่ศึกษาของฤทธิ์แล้งมีความแตกต่างกันอย่างมีนัยสำคัญที่ระดับความเชื่อมั่น 95 % ($F^* = 2.921$, $p < 0.05$) (ภาคผนวก ค) ในทำนองเดียวกันค่าความเข้มข้นเฉลี่ยของก๊าซซัลเฟอร์ไดออกไซด์ในแต่ละพื้นที่ศึกษาของฤทธิ์ฝน มีความแตกต่างกันอย่างมีนัยสำคัญที่ระดับความเชื่อมั่น 95 % ($F^* = 12.709$, $p < 0.05$) และเมื่อทำการเปรียบเทียบผลจากการตรวจวัดค่าความเข้มข้นเฉลี่ยของก๊าซซัลเฟอร์ไดออกไซด์ของฤทธิ์แล้งและฤทธิ์ฝน ไปทำการทดสอบแบบจับคู่ (Pair - test) พบว่าค่าความเข้มข้นเฉลี่ยของก๊าซซัลเฟอร์ไดออกไซด์ในฤทธิ์แล้ง มีความแตกต่างกันในฤทธิ์ฝนอย่างมีนัยสำคัญที่ระดับความเชื่อมั่น 95 % ($t^* = 10.009$, $p < 0.05$) (ตาราง 4.6)

ตาราง 4.6 ปริมาณก๊าซชัลฟอร์ไดออกไซด์เฉลี่ยที่ตรวจได้ในพื้นที่ศึกษา

พื้นที่ศึกษา	ความเข้มข้นเฉลี่ย SO_2 (ppbv) $\pm \text{SD}$		ตัวชี้วัดความหลากหลาย ของไอลูเคน
	ถ้วนเฉลี่ย ^A	ถ้วน分 ^B	
แม่ทะ	$6.52 \pm 3.54^{\text{ab}}$	$0.87 \pm 0.30^{\text{a}}$	2.26
ป่าไม้	$6.04 \pm 1.84^{\text{ab}}$	$0.51 \pm 0.02^{\text{a}}$	2.04
สนมะ	$7.87 \pm 2.46^{\text{b}}$	$0.64 \pm 0.12^{\text{a}}$	2.04
สนป่าค	$0.84 \pm 0.11^{\text{a}}$	$0.67 \pm 0.09^{\text{a}}$	2.26
แม่จาง	$8.65 \pm 5.82^{\text{b}}$	$0.69 \pm 0.38^{\text{a}}$	2.14
ปางปวย	$5.50 \pm 2.72^{\text{ab}}$	$1.72 \pm 0.30^{\text{b}}$	1.81
สนจาง	$7.07 \pm 1.29^{\text{ab}}$	$0.93 \pm 0.30^{\text{a}}$	1.67
กอรวก	$4.73 \pm 0.55^{\text{ab}}$	$1.46 \pm 0.15^{\text{b}}$	2.30
คง	$3.72 \pm 1.92^{\text{ab}}$	$0.88 \pm 0.24^{\text{a}}$	2.17
ท่าสี	$7.65 \pm 2.68^{\text{b}}$	$0.67 \pm 0.10^{\text{a}}$	2.17

หมายเหตุ A, B, a, b, c แสดงความแตกต่างอย่างมีนัยสำคัญของความเข้มข้นเฉลี่ยของก๊าซ SO_2 , โดยข้อมูลดูที่มีตัวอักษรที่เหมือนกัน ไม่มีความแตกต่างกันทางสถิติ (one-way ANOVA, $p < 0.05$)

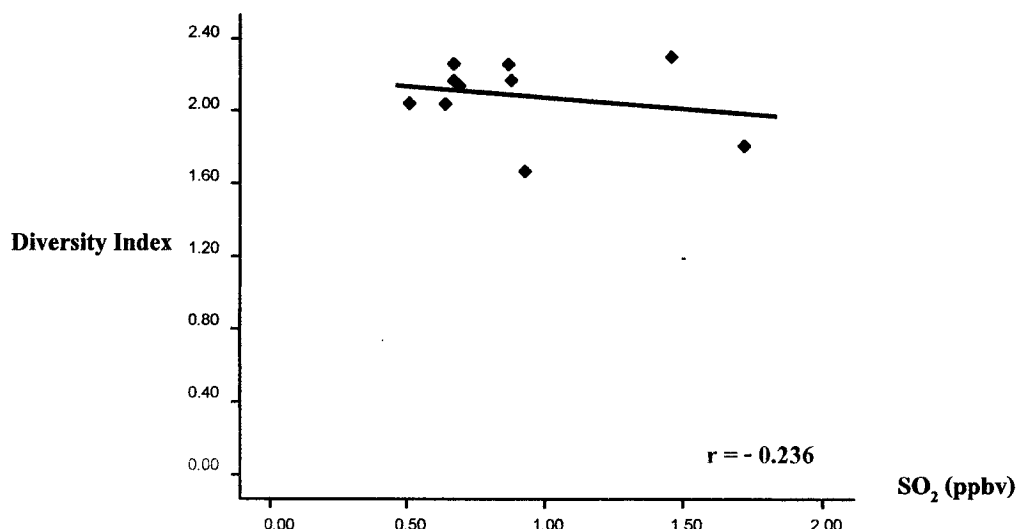
เมื่อนำค่าความเข้มข้นเฉลี่ยของก๊าซชัลฟอร์ไดออกไซด์ มาทำการวิเคราะห์ความสัมพันธ์ กับตัวชี้วัดความหลากหลายของไอลูเคนในแต่ละพื้นที่ศึกษา โดยใช้ค่าสัมประสิทธิ์สหสัมพันธ์ของ เพียร์สัน พ布ว่าค่าความเข้มข้นเฉลี่ยของก๊าซชัลฟอร์ไดออกไซด์ในถ้วนเฉลี่ย ไม่มีความสัมพันธ์กับ ตัวชี้วัดความหลากหลายของไอลูเคนอย่างมีนัยสำคัญ ที่ระดับความเชื่อมั่น 95 % ($r = -0.333$, $p < 0.05$) ดังภาพ 4.10



ภาพ 4.10 ความสัมพันธ์ระหว่าง SO_2 ถูกແລ້ວกับค่าชั้นความหลากหลายของໄລເຄນໃນພື້ນທີ່ສຶກຍາ

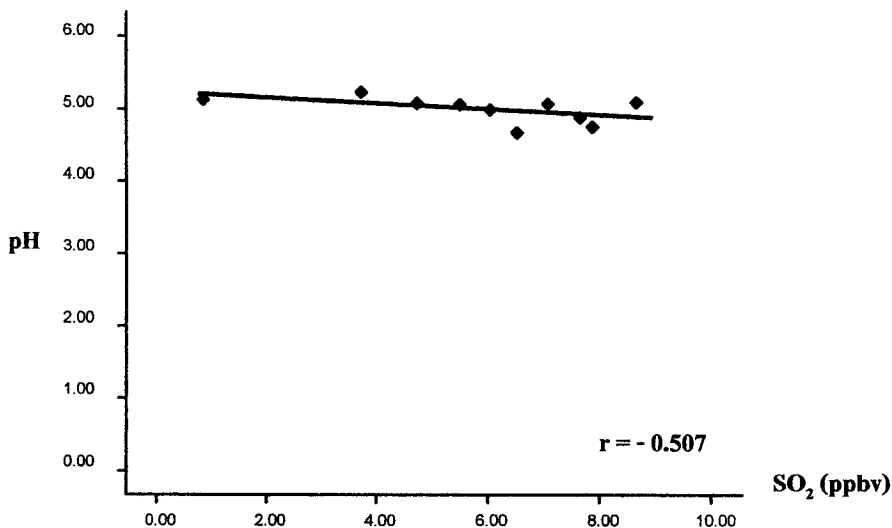
ໃນທຳນອງເຄີຍກັນ ຄ່າຄວາມເຂັ້ມຂົ້ນເຂົ້າລືບຂອງກຳໜັດເຟ່ອໄດ້ອອກໃຊ້ດີໃນແຕ່ລະພື້ນທີ່ສຶກຍາ ຂອງຖຸຜູນ ໄນມີຄວາມສັນພັນທີ່ກັບຄ່າປັ້ນນີ້ຄວາມຫລາກຫລາຍຂອງໄລເຄນໃນແຕ່ລະພື້ນທີ່ສຶກຍາຍ່າງນີ້ນັບສຳຄັນ ທີ່ຮະດັບຄວາມເຫຼືອນັ້ນ 95 % ($r = -0.236$, $p < 0.05$) ດັ່ງການ 4.11

ຈຶ່ງຈາກການ 4.10 ແລະ ການ 4.11 ແສດງໄຫ້ເຫັນວ່າ ດິນແນ້ມຄ່າຄວາມເຂັ້ມຂົ້ນເຂົ້າລືບຂອງກຳໜັດເຟ່ອໄດ້ອອກໃຊ້ ແລະ ຄ່າປັ້ນນີ້ຄວາມຫລາກຫລາຍຂອງໄລເຄນໃນຊ່ວງທີ່ທໍາການສຶກຍາ ຈະໄນ້ມີຄວາມສັນພັນທີ່ກັນ ແຕ່ກີ່ພອເຫັນແນວໂນ້ນວ່າ ຄ່າປັ້ນນີ້ຄວາມເຂັ້ມຂົ້ນຂອງກຳໜັດເຟ່ອໄດ້ອອກໃຊ້ດີໃນພື້ນທີ່ເພີ່ມເຂົ້ນຄ່າປັ້ນນີ້ຄວາມຫລາກຫລາຍຂອງໄລເຄນໃນພື້ນທີ່ມີແນວໂນ້ນທີ່ຈະລັດລົງ

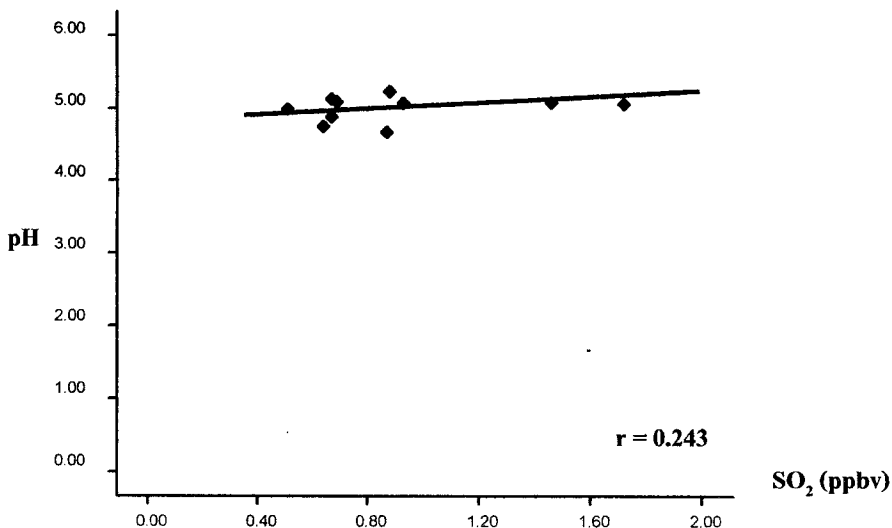


ການ 4.11 ຄວາມສັນພັນທີ່ກັບ SO_2 ຖຸຜູນກັບຄ່າປັ້ນນີ້ຄວາມຫລາກຫລາຍຂອງໄລເຄນໃນພື້ນທີ່ສຶກຍາ

จากการวิเคราะห์หาความสัมพันธ์ระหว่างปริมาณก๊าซซัลเฟอร์ไดออกไซด์ในแต่ละพื้นที่ กับค่า pH โดยเฉลี่ยของเปลือกไม้ของแต่ละพื้นที่ศึกษา โดยใช้ค่าสัมประสิทธิ์สหสัมพันธ์ของ เพียร์สัน พบร่วมค่า pH เปลือกไม้ไม่มีความสัมพันธ์กับปริมาณก๊าซซัลเฟอร์ไดออกไซด์ในแต่ละ พื้นที่ศึกษาอย่างมีนัยสำคัญที่ระดับความเชื่อมั่น 95% ($r = -0.507$, $p < 0.05$) สำหรับถูดแล้ง ดังภาพ 4.12 และถูฝุ่น ($r = 0.243$, $p < 0.05$) ดังภาพ 4.13



ภาพ 4.12 ความสัมพันธ์ระหว่าง SO₂ ถูดแล้งกับค่า pH โดยเฉลี่ยของเปลือกไม้ในพื้นที่ศึกษา



ภาพ 4.13 ความสัมพันธ์ระหว่าง SO₂ ถูฝุ่นกับค่า pH โดยเฉลี่ยของเปลือกไม้ในพื้นที่ศึกษา

บทที่ 5

อภิปรายผลการศึกษา

จากการศึกษาพนไลเคนทั้งหมด 13 วงศ์ 24 สกุล 43 ชนิด มีໄลเคนบางชนิดกระจายตัวอยู่ในทุกพื้นที่ศึกษา ได้แก่ *Dirinaria picta* และ *Pyxine cocoae* ซึ่งสอดคล้องกับการศึกษาของ Saipunkaew *et al.* (2005) และ Saipunkaew *et al.* (2007) ที่พบว่า *Dirinaria picta* และ *Pyxine cocoae* มีการกระจายตัวกว้างในพื้นที่ที่มีระดับความสูง 250 - 400 เมตรจากระดับน้ำทะเล ในบริเวณภาคเหนือตอนบนของประเทศไทย โดยพบ *Dirinaria picta* และ *Pyxine cocoae* ทั้งในพื้นที่เขตตัวเมืองและพื้นที่เกยตอร์รอน โดย *Dirinaria picta* มักพบได้ในบริเวณชานเมืองและชุมชนขนาดเล็ก ซึ่งลักษณะของพื้นที่ที่ทำการศึกษาริเวณโรงไฟฟ้าแม่เมะเป็นชุมชนที่มีขนาดเล็ก ส่วน *Pyxine cocoae* มีการกระจายตัวกว้าง มักพบในพื้นที่เขตเมืองที่ได้รับผลกระทบจากกิจกรรมต่างๆ ของมนุษย์มาก ในการศึกษานี้สำรวจพนไลเคนชนิด *Parmotrema tinctorum* ในพื้นที่ศึกษาที่มีความสูงจากระดับน้ำทะเล 300 - 400 เมตร ซึ่งจากการศึกษาของ Saipunkaew *et al.* (2005) ไม่พบไลเคนชนิดนี้บนลำต้นของต้นไม้ในพื้นที่รบกวนที่ทำการสำรวจแต่พบในบริเวณพื้นที่สูง

จากการศึกษาพนไลเคนในกลุ่มครัสโตกสมีจำนวนชนิดมากกว่าไลเคนในกลุ่มโพลิโอสในทุกพื้นที่ศึกษา ซึ่งสอดคล้องกับการศึกษาของ Pomphueak (2005) ที่ทำการศึกษาไลเคนในเขตตัวเมืองและนอกตัวเมืองจังหวัดลำปาง และการศึกษาของ Buaruang *et al.* (2005) ที่ทำการสำรวจไลเคนบนเกาะครามและเกาะแสมสาร ซึ่งพบจำนวนชนิดของครัสโตกสมีมากกว่าโพลิโอสที่นี่เนื่องจากโครงสร้างหัลลัสของครัสโตกสไม้ซับซ้อน แบบรายติดกันที่วัตถุยึดเกาะและเจริญเติบโตได้ดี ส่วนโพลิโอสที่พบในพื้นที่ศึกษาเกาะครามและเกาะแสมสาร มีโครงสร้างไกลสเคียงกับครัสโตก เช่น *Dirinaria applanata* และ *Pyxine cocoae* ซึ่งยึดติดแน่นกันที่เกาะอาศัย และยังเป็นไลเคนชนิดนูกเบิก จึงสามารถเจริญในสภาพแวดล้อมที่รุนแรงได้ นอกจากนี้จากการศึกษาของ Saipunkaew *et al.* (2005) พบว่าระดับความสูงจากน้ำทะเลของพื้นที่ มีอิทธิพลต่อจำนวนของโพลิโอสไลเคนและครัสโตกสไลเคนที่พบ พื้นที่ที่มีความสูงจากระดับน้ำทะเล 600 เมตร ขึ้นไป จะพบไลเคนกลุ่มโพลิโอสจำนวนเพิ่มขึ้น ส่วนพื้นที่ที่มีความสูงจากระดับน้ำทะเล 250 - 400 เมตร พบไลเคนกลุ่มครัสโตกสเป็นกลุ่มเด่น ซึ่งสอดคล้องกับการศึกษาในครั้งนี้ที่พบไลเคนในกลุ่มครัสโตกมากกว่าโพลิโอสในพื้นที่ที่สำรวจ ซึ่งมีความสูงจากระดับน้ำทะเล 300 - 400 เมตร

จากการจัดกลุ่มพื้นที่ศึกษาโดยใช้ข้อมูลชนิดและความถี่ของໄลเดน สามารถจัดกลุ่มพื้นที่ศึกษาได้เป็น 3 กลุ่ม ดังภาพ 4.2 และภาพ 4.3 ได้แก่ กลุ่ม 1 บ้านแม่ทะ พบໄลเดน *Cryptothecia* sp., *Dirinaria picta* และ *Pyxine cocoae* มีความถี่สูง กลุ่ม 2 ประกอบด้วยหมู่บ้านป่าไม้ บ้านสนเมะ บ้านสนป้า และบ้านคง พบໄลเดนชนิด *Chrysothrix xanthina*, *Dirinaria picta*, *Pyxine cocoae* และ *Arthonia tumidula* มีความถี่สูงและเป็นกลุ่มที่ทนทาน (Saipunkaew et al., 2005; Saipunkaew et al., 2007) ในขณะที่กลุ่ม 3 ประกอบด้วยหมู่บ้านแม่จาง บ้านป่างปวย บ้านสนจาง บ้านกอรวก และบ้านท่าสี พบໄลเดนชนิด *Dirinaria picta*, *Parmotrema praesorediosum*, *Parmotrema tinctorum*, *Laurera subbenguelensis*, *Laurera* sp.2, *Lecanographa* sp., *Lecanora leprosa* และ *Trypethelium eluteriae* มีความถี่สูงกว่ากลุ่ม 2 ซึ่งเป็นໄลเดนกลุ่มที่พบได้ในพื้นที่ที่ได้รับผลกระทบจากมนุษย์น้อยกว่า (Saipunkaew et al., 2005; Saipunkaew et al., 2007) โดยเฉพาะ *Dirinaria picta* พบในความถี่สูงกว่ากลุ่ม 1 และ 2 มาก ໄลเดนชนิดนี้พบได้บ่อยในเขตตัวเมือง แต่ไม่พบในเขตตัวเมืองที่ได้รับผลกระทบจากมลพิษอากาศ (Saipunkaew et al., 2007) นอกจากนี้ในกลุ่ม 3 ยังพบໄลเดนหลายชนิดที่ไม่พบในกลุ่ม 1 และกลุ่ม 2 จากการจัดกลุ่มพื้นที่ศึกษานี้ พบ *Hyperphyscia adglutinata* ซึ่งเป็นໄลเดนที่ทนทานต่อมลพิษอากาศ ในกลุ่ม 1 และ 2 และพบในพื้นที่ศึกษาเพียงหนึ่งแห่งในกลุ่ม 3 ซึ่งสอดคล้องกับการศึกษาของ Saipunkaew et al. (2005) ซึ่งพบ *Hyperphyscia adglutinata* มีการกระจายตัวกว้างในพื้นที่ร่วมของภาคเหนือตอนบนของประเทศไทย และมีการกระจายตัวสูงในพื้นที่เขตตัวเมืองและอุตสาหกรรม นอกจากนี้ Saipunkaew et al. (2007) ยังพบ *Hyperphyscia adglutinata* มีการกระจายตัวสูงในพื้นที่เขตเมืองที่มีจำนวนประชากรสูง

สำหรับໄลเดนชนิด *Chrysothrix xanthina* พบในทุกพื้นที่ศึกษา ยกเว้นพื้นที่ศึกษาที่ 5 บ้านแม่จาง โดยพบความถี่ในกลุ่ม 2 สูงกว่า กลุ่ม 3 และกลุ่ม 1 ตามลำดับ จากการศึกษาของ Saipunkaew et al. (2005) ในพื้นที่เมืองและรอบเมืองเชียงใหม่ จะพบໄลเดนชนิด *Chrysothrix xanthina* กระจายตัวทั่วพื้นที่สูงและพื้นที่ราบ ซึ่งในพื้นที่สูงนั้นจะพบในป่าที่เกิดไฟป่าเป็นประจำ เป็นໄลเดนชนิดที่ทนทาน ซึ่งจากการศึกษาริ้นพบໄลเดนชนิดนี้ทั้งบนลำต้นของต้นมะม่วงและตามรากบ้านที่ทำจากไม้

ในกลุ่ม 3 พบความถี่ของໄลเดนชนิด *Parmotrema praesorediosum* และ *Parmotrema tinctorum* สูงกว่ากลุ่ม 2 โดยเฉพาะบ้านท่าสี และไม่พบໄลเดนชนิดนี้ในกลุ่ม 1 ซึ่งจากการศึกษาของ Saipunkaew et al. (2005) พบว่าໄลเดนในวงศ์ *Parmeliaceae* มีความสัมพันธ์กับระดับความสูงจากน้ำทะเล โดยพบมากในพื้นที่สูงซึ่งมีปริมาณน้ำฝนและความชื้นสัมพัทธ์ในอากาศสูงกว่าพื้นที่ราบ โดยพบໄลเดนชนิด *Parmotrema tinctorum* บนดินไม่มีที่ระดับความสูง 1 – 1.5 เมตร

เห็นอีกนี่ดิน ในพื้นป่าที่มีความสูงจากระดับน้ำทะเลมากกว่า 420 เมตร และไม่พบในพื้นที่รบกวนที่ทำการสำรวจ แสดงให้เห็นว่า ໄลเคนชนิดนี้อาจถูกจำกัดด้วยลักษณะอากาศ หรือการเปลี่ยนแปลงสภาพแวดล้อมของถิ่นอาศัยเดิม และจากการศึกษาของ Saipunkaew *et al.* (2007) พบ.ໄลเคนในสกุล *Parmotrema* ยกเว้น *P. praeioreiosum* ในพื้นที่รบกวนที่มีปริมาณน้ำฝนสูง แสดงให้เห็นว่า ความชื้น เป็นปัจจัยที่สำคัญในการเจริญเติบโตของໄลเคนกลุ่มนี้ ซึ่งข้อมูลการจัดคลุ่มพื้นที่ศึกษาในครั้งนี้ พบว่าพื้นที่กลุ่ม 3 ซึ่งส่วนใหญ่เป็นหมู่บ้านที่อยู่ใกล้ภูเขา อาจมีความชื้นสูงกว่าพื้นที่กลุ่ม 2 ซึ่งส่วนใหญ่เป็นหมู่บ้านในพื้นที่รบกวนที่ถูกครอบครองมากกว่า โดยเฉพาะบ้านท่าสีซึ่งพบໄลเคนในสกุล *Parmotrema* นี้ มากกว่าพื้นที่อื่นๆ เป็นบริเวณที่อยู่ติดกับภูเขาและพื้นที่ป่า ซึ่งอาจมีการกระจายตัวของໄลเคนชนิดนี้จากภูเขาระบบบริเวณดังกล่าว

จากการศึกษาค่าดัชนีความหลากหลายของแซนนอนวีเนอร์ (Shannon – Wiener's Diversity Index: H') ค่าความสมมาตร (Evenness: E) และความหลากหลายนิคของໄลเคน (species richness) ในหมู่บ้านบริเวณรอบโรงไฟฟ้าแม่น้ำ พบร่วมกับรากซึ่งตั้งอยู่ทางทิศตะวันออกเฉียงเหนือของโรงไฟฟ้า มีค่าดัชนีความหลากหลายของໄลเคนและจำนวนนิคของໄลเคนมากที่สุด รองลงมาคือ บ้านสนป้าด บ้านแม่ทะ บ้านคง บ้านท่าสี ส่วนบ้านสนวางซึ่งตั้งอยู่ทางทิศตะวันออกเฉียงเหนือของโรงไฟฟ้า เช่นกับบ้านกอรวก แต่มีค่าดัชนีความหลากหลายของໄลเคนและมีจำนวนนิคของໄลเคนน้อยที่สุด (ตาราง 4.4) ปัจจัยที่มีผลต่อความหลากหลายของໄลเคนมีหลายประการร่วมกัน ซึ่งระยะห่างจากแหล่งกำเนิดลมพิษ และทิศทางลมก็เป็นปัจจัยสำคัญ เมื่อจากเมื่อระยะห่างจากโรงไฟฟ้าเพิ่มมากขึ้น ความเข้มข้นของลมพิษจะลดลงตามลำดับ (Riga-Karandios and Karandios, 1998) นอกจากนี้ลมยังสามารถพัดพาสารมลพิษในอากาศไปสู่ໄลเคนที่อยู่ในพื้นที่ศึกษาริเวอรอบๆ ได้ (Garty *et al.*, 2003) ทำให้พื้นที่ศึกษาที่มีระยะห่างและแต่ละทิศทาง ได้รับผลกระทบจากลมพิษแตกต่างกันไป เมื่อทำการวิเคราะห์หาความสัมพันธ์ระหว่างดัชนีความหลากหลายของໄลเคนและจำนวนนิคของໄลเคนกับระยะห่างจากโรงไฟฟ้า พบร่วมกับความสัมพันธ์กันอย่างมีนัยสำคัญที่ระดับความเชื่อมั่น 95 % (ภาคผนวก ค) อย่างไรก็ตาม เมื่อทั้งสิ่งของໄลเคนเปียกน้ำหรืออยู่ในสภาพที่มีความชื้น ไอลเคนจะมีอัตราเมตาบólism และกระบวนการต่าง ๆ ภายในเซลล์เพิ่มขึ้น ส่งผลให้ไม่ทนทานต่อมลพิษอากาศ (VDI, 1995) ในฤดูฝน ประเทศไทยได้รับอิทธิพลจากลมมรสุมตะวันตกเฉียงใต้ (กรมอุตุนิยมวิทยา, 2552) ดังนั้นพื้นที่ศึกษาที่อยู่ทางทิศตะวันออกเฉียงเหนือของโรงไฟฟ้าน่าจะเป็นทิศที่ໄลเคนได้รับผลกระทบมากที่สุด หากลมได้พัดพาเอาสารมลพิษจากโรงไฟฟ้าไปด้วย บ้านสนวางที่ตั้งอยู่ทางทิศตะวันออกเฉียงเหนือของโรงไฟฟ้า ถึงแม้จะอยู่ในระยะห่างที่ไกลออกมาก แต่ก็อาจได้รับผลกระทบตั้งกล่าว นอกจากนี้จากสภาพที่ตั้งของบ้านสนวางซึ่งอยู่ใกล้กับอ่างเก็บน้ำแม่น้ำ ซึ่งเป็นแหล่งน้ำ

ขนาดใหญ่ ໄລເຄນບຣິວເພດັ່ງກ່າວອາຈ ໄດ້ຮັບຄວາມຊື້ນທີ່ພັດພານາຈາກແຫ່ງນຳໃນຂ່າງຖຸມຮສູມເຊັ່ນກັນ ຈຶ່ງທຳໃຫ້ໄລເຄນ ໄນທັນທານ ຈຶ່ງພັບດ້ານນີ້ຄວາມຫລາກຫລາຍຂອງໄລເຄນແລະຈຳນວນໜີດຂອງໄລເຄນນີ້ຍີ້ ທີ່ສຸດ ແຕ່ເມື່ອຕຽບສອບໜີດຂອງໄລເຄນທີ່ພັບໃນບ້ານສບຈາງ ພບ *Dirinaria picta* ເປັນໜີດເດັ່ນ ແລະ ພບ *Lecanographa* sp. ນາກທີ່ສຸດເມື່ອປີຢັບເທິບກັບພື້ນທີ່ອື່ນໆ ນອກຈາກນີ້ພັບໄລເຄນທີ່ບ່ອງເຊື່ອສັກພ ຂອງພື້ນທີ່ໃນອົດຕ່ວ່າອາຈນີກລຸ່ມສັງຄນ ໄລເຄນທີ່ຫລາກຫລາຍນາກ່ອນ ສ່ວນບ້ານກອຽກຮູ້ທີ່ກ່າວ ທີ່ສົກລວມອອກເຊີຍເໜືອຂອງໂຮງໄຟຟ້າເຊັ່ນກັນ ກລັບພັບດ້ານນີ້ຄວາມຫລາກຫລາຍຂອງໄລເຄນແລະຈຳນວນໜີດຂອງໄລເຄນນາກທີ່ສຸດ ອາຈນີ້ອາງບ້ານກອຽກຮູ້ທີ່ກ່າວໂຮງໄຟຟ້າອອກມາ ທຳໃຫ້ໂອກາສໃນ ການໄດ້ຮັບພັດທະບ່ນນ້ອຍກວ່າ ຜົ່ງສອດຄລື້ອງກັບການສຶກໝາຂອງແສງຮົງ (2551) ທີ່ໄດ້ສຶກໝາຄວາມຫລາກຫລາຍຂອງໄລເຄນບຣິວເພດຮອບໂຮງໄຟຟ້າແມ່ນເມາະ ພບວ່າດ້ານນີ້ຄວາມຫລາກຫລາຍຂອງໄລເຄນມີຄ່າຕໍ່າສຸດໃນພື້ນທີ່ໜຸ່ງບ້ານສບເມາະ ຜົ່ງຕັ້ງອູ່ໄກດ້ໂຮງໄຟຟ້ານາກທີ່ສຸດ ແລະດ້ານນີ້ຄວາມຫລາກຫລາຍຂອງໄລເຄນມີຄ່າສູງສຸດໃນພື້ນທີ່ໜຸ່ງບ້ານຄົງ ຜົ່ງຕັ້ງອູ່ທຳກ່າວເໜືອແລະມີຮະບະທ່າງຈາກໂຮງໄຟຟ້າອອກໄປ ນອກຈາກນີ້ Pomphueak (2005) ຍັງພັບວ່າຄວາມຫລາກຫລາຍຂອງໄລເຄນມີຄ່າຕໍ່າສຸດໃນເບຕັວເມືອງລຳປາງທີ່ມີລົມພິຍາກາຮຈາຮສູງ ໃນຂະໜາດທີ່ຄ່າຄວາມຫລາກຫລາຍຂອງໄລເຄນສູງສຸດໃນໜຸ່ງບ້ານນາດເລີກໃນເຂດຫນບທີ່ເປັນພື້ນທີ່ເກຍຕຽກຮົມທີ່ອູ່ທ່າງຈາກຕົວເມືອງອອກມາ ນອກຈາກນີ້ Saipunkaew et al. (2005) ພບຄວາມຫລາກຫລາຍຂອງໄລເຄນສູງສຸດໃນພື້ນທີ່ປ້າ ແລະຄວາມຫລາກຫລາຍຂອງໄລເຄນຕໍ່າສຸດໃນພື້ນທີ່ເມືອງແລະພື້ນທີ່ເກຍຕຽກຮົມຂອງເມືອງເຊີຍໄໝມໍແລະຮອບເມືອງເຊີຍໄໝມໍ Saipunkaew et al. (2007) ພບວ່າໃນພື້ນທີ່ກາກແໜ້ນອຕອນບັນຂອງປະເທດໄທ ພບຄວາມຫລາກຫລາຍຂອງໄລເຄນຕໍ່າສຸດໃນຕົວເມືອງ ຜົ່ງເປັນບຣິວເພດທີ່ມີປະກາມນາກທີ່ສຸດ

ຈາກພັດການສຶກໝາຄ່າ pH ເປັນປົກໄນ້ຂອງຕົນນະນ່ວງທີ່ວັດ ໄດ້ໃນພື້ນທີ່ສຶກໝາ ມີຄ່າເຄລີ່ຍອູ່ຮະຫວ່າງ 4.67 – 5.23 ສໍາຫັບການເປັນປົກໄນ້ pH ເປັນປົກໄນ້ ມີສາເຫຼຸມຈາກກໍ້າໜັກເພື່ອຮ່າໂຄອກໄໝດ້ວຍແລະນົມລົມເອື່ນໆ ຂອງອຸຕສາຫກຮົມ ສ່າງຜົດໄທ້ pH ເປັນປົກໄນ້ມີຄ່າຕໍ່າ ສ່ວນຄ່າ pH ເປັນປົກໄນ້ສູງ ເນື່ອຈາກມີກາຮະສນໃນໂຕຮົງຈາກແອນໂມນິຍ (van Herk, 2001; Frati et al., 2008) ທັງກໍ້າໜັກເພື່ອຮ່າໂຄອກໄໝດ້ວຍແລະແອນໂມນິຍ ມີຜລຕ່ອດຄ່າ pH ຂອງປົກໄນ້. ໂດຍກໍ້າໜັກເພື່ອຮ່າໂຄອກໄໝດ້ວຍມີຜລຕ່ອດກາຮະປັກ – ດ່າງຂອງປົກໄນ້ນັກກວ່າແອນໂມນິຍ (van Dobben and ter Braak, 1998) ອັບໆໄກ້ຕາມຈາກກາຮວິເກຣະທີ່ກ່າວສົດຕິພວກວ່າຄ່າ pH ເປັນປົກໄນ້ທີ່ທ່າການສຶກໝາໃນຄົງນີ້ ໄນມີຄວາມສັນພັນຮັບດ້ານນີ້ຄວາມຫລາກຫລາຍຂອງໄລເຄນທີ່ພັບ ແລະ ໄນມີຄວາມສັນພັນຮັບປະມານກໍ້າໜັກເພື່ອຮ່າໂຄອກໄໝດ້ວຍມີຄ່າ pH ເປັນປົກໄນ້ທີ່ສຶກໝາ ຈາກກາຮະສຶກໝາຂອງ Subsri and Saipunkaew (2002) ຜົ່ງທ່າການສຶກໝາ pH ເປັນປົກໄນ້ຂອງຕົນນະນ່ວງໃນພື້ນທີ່ເບຕັວເມືອງແລະພື້ນທີ່ຮອບເມືອງເຊີຍໄໝມໍ ພບວ່າ pH ເປັນປົກໄນ້ມີຄ່າທ່າກັນ 5.0 – 5.3 ໂດຍພື້ນທີ່ເບຕັວເມືອງມີຄ່າ pH ຂອງຕົນນະນ່ວງຕໍ່າກວ່າພື້ນທີ່ຮອບເມືອງ ແລະ

ได้เสนอว่าค่า pH เปลือกจะมีผลต่อข้องกับความหนาแน่นของการจราจร โดยค่า pH จะเพิ่มขึ้น เมื่อระยะห่างจากถนนเพิ่มมากขึ้น ในขณะที่การศึกษาของ Pomphueak (2005) ที่ได้ศึกษาค่า pH เปลือกไม้ของต้นมะม่วงในเขตอำเภอเมืองลำปาง พบว่าค่า pH เปลือกไม้มีค่าเท่ากับ 5.22 - 5.74 โดยค่า pH ต่ำสุดพบในเขตที่มีน้ำพิษน้อยสุด และค่า pH สูงสุดพบในเขตที่มีน้ำพิษมากสุด และได้พบว่า pH เปลือกไม้ไม่มีความสัมพันธ์กับปริมาณของก้าชชัลเฟอร์ไดออกไซด์ในพื้นที่ศึกษา เนื่องจากปริมาณก้าชชัลเฟอร์ไดออกไซด์ที่ตรวจวัดได้มีค่าต่ำ

จากการศึกษาทิศทางบนต้นมะม่วงที่พบໄลเกนมากที่สุด ในการศึกษาระบบนี้พบว่า ทิศเหนือ ของต้นมะม่วงที่ทำการศึกษาเป็นด้านที่มีໄลเกนเจริญอยู่มากที่สุด อันดับต่อมาคือ ทิศตะวันตก - เนียงเหนือ ส่วนในทิศใต้ ทิศตะวันออกเฉียงใต้ และทิศตะวันตกเฉียงใต้พบน้อย (ภาพ 4.6) ซึ่ง สอดคล้องกับการศึกษาของ Saipunkaew *et al.* (2007) ที่พบໄลเกนมากบนด้านไม้ทางทิศ ตะวันออกและทิศเหนือ แต่พบน้อยในทิศตะวันตกและทิศใต้ ซึ่งคาดว่าเนื่องจากในทิศตะวันตก และทิศใต้ ได้รับแสงปริมาณมากในช่วงบ่าย อาจเป็นสาเหตุทำให้ความชื้นบนวัตถุที่ໄลเกนเกาะอยู่ ต่ำ ในขณะที่การศึกษาของปารี (2545) พบໄลเกนเจริญอยู่ทางทิศตะวันออกเฉียงเหนือของต้นไม้ มากที่สุด จากการศึกษาระบบนี้เมื่อแยกพิจารณาทิศทางบนต้นมะม่วงที่พบໄลเกนในแต่ละพื้นที่รอบ โรงไฟฟ้าแม่مهะ พบว่าแนวโน้มการเจริญของໄลเกนบนต้นมะม่วงมีมากในทิศทางที่หลักหนึ่งจาก ทิศที่หันเข้าสู่โรงไฟฟ้าแม่مهะ (ภาพ 4.7) เช่น บ้านสนเมะ ซึ่งตั้งอยู่ทางทิศตะวันตกเฉียงใต้ของ โรงไฟฟ้า และห่างจากโรงไฟฟ้าเพียง 5 กิโลเมตร พบໄลเกนเจริญอยู่ในทิศตะวันตกของต้นมะม่วง มากที่สุด ส่วนทิศตะวันออกเฉียงเหนือซึ่งเป็นด้านที่หันเข้าสู่โรงไฟฟ้านี้ จากการสำรวจไม่พบ ໄลเกนเจริญอยู่เลย ในทำนองเดียวกับบ้านสนจาง ซึ่งเป็นหมู่บ้านที่ตั้งอยู่ทางทิศตะวันออก- เฉียงเหนือของโรงไฟฟ้า ถึงแม้ว่าจะมีระยะห่างจากโรงไฟฟ้ามากถึง 12 กิโลเมตรก็ตาม ก็ยังพบว่า ทิศทางบนต้นมะม่วงที่พบໄลเกนมากที่สุด คือทิศเหนือ ส่วนทิศตะวันตกเฉียงใต้ซึ่งเป็นด้านที่หัน เข้าสู่โรงไฟฟ้า จากการสำรวจก็ไม่พบໄลเกนเจริญอยู่ เช่นกัน ซึ่งสอดคล้องกับการศึกษาของแสร์วี (2551) ที่พบໄลเกนเจริญบนต้นไม้ในทิศที่หลักหนึ่งจากทิศที่หันเข้าสู่โรงไฟฟ้า

จากการตรวจปริมาณก้าชชัลเฟอร์ไดออกไซด์ ในแต่ละพื้นที่ศึกษา พบว่าในฤดูแล้งค่า ความชื้นขึ้นเฉลี่ยของก้าชชัลเฟอร์ไดออกไซด์สูงสุดที่บ้านแม่จาง และค่าต่ำสุดที่บ้านสนป้าด (ตาราง 4.6) ที่เป็นชั้นน้ำอาจเนื่องมาจากระยะห่างจากแหล่งกำเนิดก้าชชัลเฟอร์ไดออกไซด์และ ทิศทางลม โดยในช่วงปลายเดือนกุมภาพันธ์ที่ได้ทำการเก็บตัวอย่างอากาศของฤดูแล้ง พบร่วมมีลม ตะวันตกเฉียงเหนือ ลมตะวันตกและลมตะวันตกเฉียงใต้ พัดผ่านพื้นที่จังหวัดลำปาง (ภาพ 3.6 ก-ฉ: ศูนย์อุตุนิยมวิทยาภาคเหนือ, 2552) ทำให้บ้านแม่จางที่ตั้งอยู่ใกล้โรงไฟฟ้ามากที่สุดเพียง 4 กิโลเมตร อยู่ได้ลม จึงพบค่าสูงสุด ในขณะที่บ้านสนป้าดแม้ว่าจะอยู่ใกล้โรงไฟฟ้าเพียง 5 กิโลเมตร

แต่ตั้งอยู่ทางทิศใต้ของโรงไฟฟ้า จึงทำให้บ้านสบป้าดไม่อยู่ในแนวที่ลมพัดผ่าน จึงมีค่าต่ำสุด และจากการตรวจปริมาณก๊าซชัลเฟอร์ไดออกไซด์ของถูกฝุ่น พบว่าค่าความเข้มข้นเฉลี่ยของ ก๊าซชัลเฟอร์ไดออกไซด์ในแต่ละพื้นที่ศึกษา มีค่าต่ำมากและใกล้เคียงกัน ซึ่งค่าสูงสุดพบที่บ้านปางปวย และค่าต่ำสุดพบที่บ้านป่าไม้ ที่เป็นชั้นน้ำอาจเนื่องมาจากทิศทางลม โดยในช่วง กลางเดือนกรกฎาคม ที่ได้ทำการเก็บตัวอย่างอากาศของถูกฝุ่น พบว่ามีลมตะวันตกเฉียงเหนือ ลมตะวันตก และลมตะวันตกเฉียงใต้ พัดผ่านพื้นที่จังหวัดลำปาง (gap 3.6 ก-ฉ: ศูนย์อุตุนิยมวิทยา ภาคเหนือ, 2552) บ้านป่าไม้ซึ่งตั้งอยู่ทางทิศตะวันตกเฉียงใต้ของโรงไฟฟ้าจึงเป็นพื้นที่หนีลมของ ถูกฝุ่น ในขณะที่บ้านปางปวยซึ่งตั้งอยู่ทางทิศตะวันออกของโรงไฟฟ้า อาจได้รับมลพิษจากลมที่ พัดพาไป สำหรับความเข้มข้นเฉลี่ยของก๊าซชัลเฟอร์ไดออกไซด์ที่ตรวจวัดได้จากการศึกษารังนี้ ทั้งในถูกแล้งและถูกฝน มีค่าอยู่ในช่วง 0.51 - 8.65 ppbv ซึ่งมีค่าต่ำมาก จากการศึกษาของ Pomphueak (2005) ที่ทำการตรวจวัดปริมาณก๊าซชัลเฟอร์ไดออกไซด์ในเขตอำเภอเมืองจังหวัด ลำปาง โดยใช้หลอดโพลีเอทธิลีน ใช้ 20 % TEA เป็นสารคุดซับ และตรวจวัดเป็นเวลา 14 วัน พบปริมาณก๊าซชัลเฟอร์ไดออกไซด์เท่ากับ $7.88 - 52.57 \mu\text{g}/\text{m}^3$ (3 - 20 ppbv) ในขณะที่ Kasper-Giebl and Puxbaum (1999) ทำการตรวจวัดปริมาณก๊าซชัลเฟอร์ไดออกไซด์ในเขตเมือง Vienna (Austria) โดยใช้หลอดโพลีเอทธิลีน ใช้ 20 % TEA เป็นสารคุดซับและตรวจวัดเป็นเวลา 7 - 49 วัน พบปริมาณก๊าซชัลเฟอร์ไดออกไซด์เท่ากับ $8 - 14 \mu\text{g}/\text{m}^3$ (3 - 5 ppbv) ถึงแม้ว่าการตรวจวัดปริมาณ ก๊าซชัลเฟอร์ไดออกไซด์จากการศึกษานี้ เป็นการตรวจด้วยเทคนิคการเก็บตัวอย่างแบบแพลซีฟ ซึ่งทำการตรวจวัดเป็นเวลา 7 วัน แต่ค่าที่ตรวจได้ ก็มีค่าต่ำกว่าเกณฑ์มาตรฐานที่กรมควบคุมมลพิษ กำหนด คือค่ามาตรฐานก๊าซชัลเฟอร์ไดออกไซด์ ค่าเฉลี่ยความเข้มข้นในเวลา 24 ชั่วโมง ไม่เกิน 120 ppb (กรมควบคุมมลพิษ, 2552)

สำหรับค่าความเข้มข้นเฉลี่ยของก๊าซชัลเฟอร์ไดออกไซด์ที่ตรวจวัดได้ในถูกแล้งมีค่าสูง กว่าในถูกฝน (gap 4.9) จากข้อมูลรายงานคุณภาพอากาศแสดงผลการตรวจวัดก๊าซชัลเฟอร์- ไดออกไซด์เฉลี่ย 24 ชั่วโมง ณ เวลา 09.00 น. ของโรงไฟฟ้าแม่เมะ พบว่าในช่วง 21 - 28 กุมภาพันธ์ 2552 ที่ทำการเก็บตัวอย่างอากาศของถูกแล้ง มีค่าเท่ากับ $0 - 9 \mu\text{g}/\text{m}^3$ (0 - 3 ppbv) และ ในช่วง 5 - 12 กรกฎาคม 2552 ที่ทำการเก็บตัวอย่างอากาศของถูกฝน มีค่าเท่ากับ $0 - 3 \mu\text{g}/\text{m}^3$ (0 - 1 ppbv) (หน่วยงานสารสนเทศโรงไฟฟ้าแม่เมะ, 2552) ในขณะที่ข้อมูลจากการตรวจนับคุณมลพิษที่ สถานีสบป้าด อ. แม่เมะ ในช่วง 21 - 28 กุมภาพันธ์ 2552 ที่ทำการเก็บตัวอย่างอากาศของถูกแล้ง พบก๊าซชัลเฟอร์ไดออกไซด์ มีค่าเท่ากับ $0 - 0.9 \text{ ppb}$ และในช่วง 5 - 12 กรกฎาคม 2552 ที่ทำการ เก็บตัวอย่างอากาศของถูกฝน มีค่าเท่ากับ $0 - 3.1 \text{ ppb}$ (กรมควบคุมมลพิษ, 2552) จากข้อมูลการ ตรวจวัดในครั้งนี้แสดงให้เห็นว่าถูกแล้งมีปริมาณก๊าซชัลเฟอร์ไดออกไซด์สูงกว่าถูกฝน

ซึ่งสอดคล้องกับการศึกษาของ Siniarovina and Engardt (Saipunkaew *et al.*, 2007) พบว่าปริมาณ ก้าชชัลเฟอร์ ไดออกไซด์ในจังหวัดลำปาง ในช่วงเดือนธันวาคมซึ่งเป็นฤดูหนาว (ฤดูแล้ง) มีก้าชชัลเฟอร์ ไดออกไซด์สูงกว่าเดือนกรกฎาคมซึ่งเป็นฤดูฝน เนื่องจากในช่วงฤดูฝนมีการระบายน้ำ น้ำพิษต่างๆ ในบรรยากาศออกไป

จากการวิเคราะห์หาความสัมพันธ์ระหว่างค่าความเข้มข้นเฉลี่ยของก้าชชัลเฟอร์-ไดออกไซด์กับค่าดัชนีความหลากหลายของไอลเคนในแต่ละพื้นที่ศึกษา พบว่าค่าความเข้มข้นเฉลี่ยของก้าชชัลเฟอร์ ไดออกไซด์ทั้งในฤดูแล้งและฤดูฝน ไม่มีความสัมพันธ์กับดัชนีความหลากหลายของไอลเคนในแต่ละพื้นที่ศึกษาอย่างมีนัยสำคัญ ที่ระดับความเชื่อมั่น 95 % ดังภาพ 4.10 และภาพ 4.11 ตามลำดับ ถึงแม้ว่าค่าความเข้มข้นเฉลี่ยของก้าชชัลเฟอร์ ไดออกไซด์จะค่าดัชนีความหลากหลายของไอลเคนจะไม่มีความสัมพันธ์กัน แต่ก็พอเห็นแนวโน้มว่า ถ้าหากความเข้มข้นของ ก้าชชัลเฟอร์ ไดออกไซด์ในพื้นที่เพิ่มขึ้น ค่าดัชนีความหลากหลายของไอลเคนในพื้นที่มีแนวโน้มที่ จะลดลง การศึกษาของ van Dobben *et al.* (2001), Giordani *et al.* (2002), Loppi *et al.* (2002) และ Loppi *et al.* (2004) พบว่าก้าชชัลเฟอร์ ไดออกไซด์ และในโตรเรน ไดออกไซด์ในบรรยากาศเป็น ปัจจัยสำคัญที่มีผลต่อความหลากหลายของไอลเคน โดยก้าชชัลเฟอร์ ไดออกไซด์และในโตรเรน-ไดออกไซด์ ส่งผลลบต่อความหลากหลายของไอลเคน ซึ่งนิคและดัชนีความหลากหลายของไอลเคน เพิ่มขึ้น เมื่อปริมาณก้าชชัลเฟอร์ ไดออกไซด์และในโตรเรน ไดออกไซด์ในบรรยากาศลดลง และจากการศึกษาของ Giordani (2007) พบว่าความหลากหลายของไอลเคนมีความสัมพันธ์กับปริมาณ น้ำฝน และอุณหภูมิเฉลี่ยต่อปี ส่วนก้าชชัลเฟอร์ ไดออกไซด์ เป็นก้าชหลักที่มีอิทธิพลต่อความ หลากหลายของไอลเคนในเขตตัวเมือง สำหรับพื้นที่ป่า การเก็บเกี่ยวของป่า (harvesting) และไฟป่ามี ผลต่อความหลากหลายของไอลเคน อย่างไรก็ตามจากการศึกษาของ Pomphueak (2005) ที่ใช้ไอลเคน ประเมินคุณภาพอากาศในเขตตัวเมืองและรอบเมืองจังหวัดลำปาง พบว่าค่าความหลากหลายของ ไอลเคนและความเข้มข้นของก้าชชัลเฟอร์ ไดออกไซด์ ไม่มีความสัมพันธ์กันอย่างมีนัยสำคัญ ทั้งนี้ เนื่องจากค่าความเข้มข้นของก้าชชัลเฟอร์ ไดออกไซด์ที่ตรวจวัด ได้มีค่าต่ำ เพราะ ไม่มีแหล่งที่เป็น แหล่งน้ำพิษหลักที่ปล่อยก้าชชัลเฟอร์ ไดออกไซด์ แต่ค่าความหลากหลายของไอลเคนและความ เข้มข้นของก้าช ในโตรเรน ไดออกไซด์มีความสัมพันธ์กันอย่างมีนัยสำคัญ เนื่องจากมีแหล่งน้ำพิษ หลักที่ปล่อยออกมาน้อย ในเมือง ดังนั้น ก้าช ที่มีผลต่อค่าความหลากหลายของไอลเคนมากกว่าในพื้นที่ ที่ทำการศึกษาที่ตัวเมืองลำปาง คือ ก้าช ในโตรเรน ไดออกไซด์ จากการศึกษาระยะนี้ พบว่า ไม่มี ความสัมพันธ์ระหว่างปริมาณ ก้าชชัลเฟอร์ ไดออกไซด์กับดัชนีความหลากหลายของไอลเคนในพื้นที่ ศึกษา ซึ่งสาเหตุยังไม่ชัดเจน ทั้งนี้ มีหลายปัจจัยที่อาจเกี่ยวข้อง เช่น ปริมาณก้าชชัลเฟอร์ ไดออกไซด์ ที่ตรวจวัด ได้ในช่วงเวลาที่ทำการศึกษา ไม่มีความแตกต่างกันมากนัก ในแต่ละพื้นที่ศึกษา และมี

ปริมาณต่ำ แม้จะมีแหล่งหลักที่ปล่อยก๊าซชัลเฟอร์ไดออกไซด์ก็ตาม หรือช่วงเวลาในการตรวจวัดสั้นเพียง 7 วัน ตรวจวัดเพียง 1 ครั้ง/ถูกุกาล หรือการตรวจวัดเพียงจุดเดียวในแต่ละพื้นที่ศึกษาซึ่งอาจไม่ครอบคลุมช่วงเวลาและพื้นที่ทั้งหมดของพื้นที่ศึกษาในครั้งนี้

การใช้ไลเคนเป็นตัวบ่งชี้ทางชีวภาพสำหรับการติดตามตรวจสอบคุณภาพอากาศโดยการศึกษาความหลากหลายของไลเคนและการตรวจวัดปริมาณลดพิษในพื้นที่ สามารถบ่งชี้บริเวณที่ได้รับผลกระทบจากมลพิษทางอากาศได้ สำหรับการศึกษาครั้งนี้ควรมีการเพิ่มความถี่และระยะเวลาของการตรวจวัดปริมาณก๊าซชัลเฟอร์ไดออกไซด์ในพื้นที่ศึกษาให้มากขึ้น และมีจำนวนจุดตรวจวัดในแต่ละพื้นที่ศึกษาหลายจุดมากขึ้น เพื่อจะได้ข้อมูลที่ครอบคลุมทั้งด้านเวลาและพื้นที่ได้มากขึ้น อย่างไรก็ตามการวิเคราะห์ปริมาณชัลเฟอร์ที่สะสมในไลเคน ก็มีความสำคัญเป็นอย่างยิ่ง เพื่อจะนำข้อมูลที่ได้นั้น มาใช้ร่วมกับข้อมูลที่ได้จากการตรวจวัดปริมาณก๊าซชัลเฟอร์ไดออกไซด์ ในบรรยากาศ รวมทั้งการศึกษาความหลากหลายของไลเคนในพื้นที่ เพื่อได้ข้อสรุปที่ถูกต้องและชัดเจนยิ่งขึ้นต่อไป

บทที่ 6

สรุปผลการศึกษา

การศึกษาความหลากหลายของไอลเคนและการตรวจวัดปริมาณก้าชซัลเฟอร์ไดออกไซด์ในพื้นที่ศึกษาทั้งหมด 10 พื้นที่ ของหมู่บ้านบริเวณรอบโรงไฟฟ้าแม่เมะ อำเภอแม่เมะ จังหวัดลำปาง ในช่วงเดือนกุมภาพันธ์ - กรกฎาคม พ.ศ. 2552

จากการสำรวจไอลเคนบนต้นมะม่วงจำนวน 100 ต้น พบไอลเคนทั้งหมด 13 วงศ์ 24 สกุล 43 ชนิด โดยไอลเคนส่วนใหญ่ที่พบอยู่ในสกุล *Dirinaria*, *Pyxine*, *Chrysothrix*, *Cryptothecia*, *Arthonia*, *Lecanographa*, *Laurera* และ *Hyperphyscia* ส่วนน้อยที่พบเป็นไอลเคนที่อยู่ในสกุล *Buellia*, *Ocellularia* และ *Chapsa* ซึ่งมีไอลเคนที่ไม่สามารถจัดจำแนกสกุลได้ 1 ตัวอย่าง และพบไอลเคนบางชนิดได้แก่ *Dirinaria picta* และ *Pyxine cocoes* กระจายตัวได้ในทุกพื้นที่ศึกษา นอกจากนี้ยังพบว่าไอลเคนกลุ่มครัสโตรส์มีจำนวนชนิดมากกว่าไอลเคนกลุ่มโพลิโอส์ในทุกพื้นที่ศึกษา พบจำนวนชนิดของไอลเคนมากที่สุดที่บ้านแม่จางและบ้านกอรวม และน้อยที่สุดที่บ้านสนจาง

สามารถแบ่งกลุ่มความคล้ายคลึงของพื้นที่ศึกษาออกได้เป็น 3 กลุ่ม โดยอาศัยชนิดและความถี่ของไอลเคนที่พบในพื้นที่ศึกษา ได้แก่ กลุ่ม 1 บ้านแม่ทะ พบไอลเคน *Cryptothecia* sp., *Dirinaria picta* และ *Pyxine cocoes* มีความถี่สูง กลุ่ม 2 ประกอบด้วยหมู่บ้านป้าไม้ บ้านสนเมะ บ้านสนป้าด และบ้านคง พบไอลเคนชนิด *Chrysothrix xanthina*, *Dirinaria picta*, *Pyxine cocoes* และ *Arthonia tumidula* มีความถี่สูง และกลุ่ม 3 ประกอบด้วยหมู่บ้านแม่จาง บ้านปางป่วย บ้านสนจาง บ้านกอรวม และบ้านท่าสี พบไอลเคนชนิด *Dirinaria picta*, *Parmotrema praesorediosum*, *Parmotrema tinctorum*, *Laurera subbenguelensis*, *Laurera* sp.2, *Lecanographa* sp., *Lecanora leprosa* และ *Trypethelium eluteriae* มีความถี่สูง

pH เปลือกไม้ของต้นมะม่วงที่สำรวจ มีค่าเฉลี่ยอยู่ระหว่าง 4.67 – 5.23 เมื่อวิเคราะห์หาความสัมพันธ์กับดัชนีความหลากหลายของไอลเคนและปริมาณก้าชซัลเฟอร์ไดออกไซด์ในบรรยากาศ โดยใช้ค่าสัมประสิทธิ์สหสัมพันธ์ของเพียร์สัน พบว่า pH เปลือกไม้มีความสัมพันธ์ กับดัชนีความหลากหลายของไอลเคนและปริมาณก้าชซัลเฟอร์ไดออกไซด์ในบรรยากาศอย่างมีนัยสำคัญ ที่ระดับความเชื่อมั่น 95 %

ทิศทางบนต้นมะม่วงที่พบไอลเคนมากที่สุดในการสำรวจ คือทิศเหนือ รองลงมาคือทิศตะวันตกเฉียงเหนือ เมื่อแยกพิจารณาในแต่ละพื้นที่ศึกษา พบว่าไอลเคนส่วนใหญ่มีแนวโน้มเจริญอยู่บนด้านของต้นมะม่วงในทิศทางที่มักหลีกหนีจากทิศที่หันเข้าสู่โรงไฟฟ้า

จากการสำรวจความหลากหลายของไอลเคน พบร่วมกับนักวิเคราะห์ที่มีความหลากหลายของไอลเคนและจำนวนชนิดของไอลเคนมากที่สุด ในขณะที่บ้านสวนอาจซึ่งตั้งอยู่ทางทิศตะวันออกเฉียงเหนือของโรงไฟฟ้า มีค่าดัชนีความหลากหลายของไอลเคนและมีจำนวนชนิดของไอลเคนน้อยที่สุด สำหรับการติดตามตรวจสอบปริมาณก้าชชัลเฟอร์โดยออกใช้ค์ในบรรยายกาศ พบร่วมปริมาณก้าชชัลเฟอร์โดยออกใช้ค์ในช่วงเวลาที่ตรวจวัด ตลอด 1 สัปดาห์ มีค่าต่ำทั้งในฤดูแล้งและฤดูฝน เมื่อวิเคราะห์หาความสัมพันธ์ระหว่างดัชนีความหลากหลายของไอลเคนและปริมาณก้าชชัลเฟอร์โดยออกใช้ค์ในบรรยายกาศในพื้นที่ศึกษา โดยใช้ค่าสัมประสิทธิ์สหสัมพันธ์ของเพียร์สัน พบร่วมไม่มีความสัมพันธ์กันอย่างมีนัยสำคัญ ที่ระดับความเชื่อมั่น 95 % ซึ่งผลจากการศึกษาระบบนี้ สรุปได้ว่า ปริมาณก้าชชัลเฟอร์โดยออกใช้ค์ในช่วงเวลาที่ทำการตรวจวัดมีค่าต่ำ และไม่มีผลต่อความหลากหลายของไอลเคนและ pH เปลี่ยนไปในพื้นที่ศึกษา

บรรณาธิการ

กรมควบคุมมลพิษ. 2552. [online]. Available: http://www.pcd.go.th/info_serv/en_pol_suc_sulfur.html [24 กันยายน 2552]

กรมแผนที่ทหาร กองบัญชาการทหารสูงสุด. 2542. กรุงเทพ.

กรมอุตุนิยมวิทยา. 2552. [online]. Available: <http://www.tmd.go.th/info/info.php?FileID=22> [24 กันยายน 2552]

กองทุนพัฒนาชุมชนในพื้นที่รอบโรงไฟฟ้าจังหวัดลำปาง จังหวัดลำปาง. 2552. [online].

Available: <http://www.maemoh.org/maemoh/modules/news/article.php?storyid=8> [2กันยายน 2552]

กัณฑรี บุญประกอบ และกวนนาดา บัวเรือง. 2550. ໄລເຄີນແຫ່ງເກະແສມສາຮ ຈາກຍອດເບາສິ່ງ
ໜ້າທະເດ. ມາວິທາລ້ຽນຄໍາແໜ່ງ. กรุงเทพ.

การไฟฟ้าฝ่ายผลิตแห่งประเทศไทย. 2551. โรงไฟฟ้าน้ำแม่เมaje. [online]. Available: http://www.egat.co.th/th/index.php?option=com_content&task=view&id=53&Itemid=65.
[4 มิถุนายน 2551]

ปาลี ทรัพย์ศรี. 2545. การใช้ໄລເຄີນເປັນຕົວນຶ່ງໜ້າທາງຊີວາພເພື່ອຕິດຕາມຕຽບສອນມລືມທາງອາການ
ໃນຕັ້ງເມືອງ ແລະນອກເມືອງ ຈັງວັດເຊີ້ງໃໝ່ พ.ສ. 2544. ວິທານິພນີ້ ປະລຸງຈູາໂທ
ສາຂາຊີວິທາ ຄະວິທາຄາສຕ່ຽມ ມາວິທາລ້ຽນເຊີ້ງໃໝ່. ເຊີ້ງໃໝ່.

วนารักษ์ ไชพันธ์แก้ว ກฤติกา ປຶ້ມເຜືອກ ແພທຣີເຊີ້ງ ຖະເໜີລົດ ແລະສຸທະຫຼຽ ສູວຣອຕັນ. 2550.
ຄູ່ມືອນນັກສໍາຮວາໄລເຄີນ. ບຣິຕີຈ ເຄານຊີລ. ເຊີ້ງໃໝ່.

วนารักษ์ ไชพันธ์แก้ว. 2551. ໄລເຄີນແລະການຕຽບສອນຄຸພາພສິ່ງແວດລ້ອມ. ເອກສານປະກອບ
ກາຮອບຮນເຊີ້ງປົງປົງຕິກາ. ກາຄວິຊາຊີວິທາ ຄະວິທາຄາສຕ່ຽມ ມາວິທາລ້ຽນເຊີ້ງໃໝ່.
ເຊີ້ງໃໝ່.

គົວພຣ ຕອພລ ແລະປາຣີຈາຕີ ສຸດສຸຣີຍະ. 2547. ການຕຽບສອນກຳໜົດໂອໂຈົນໂດຍໃຊ້ອຸປະກຣົນເກີນຕ້ວອຍ່າງ
ອາກາສ໌ນິດພາສສີພທີ່ພັນນາເຂົ້ນ. ຈານວິຊຍປະລຸງຈູາວິທາຄາສຕ່ຽມທີ່ສານເຄມີ ຄະ
ວິທາຄາສຕ່ຽມ ມາວິທາລ້ຽນເທັກໂນໂລຢີພະຈອມເກຳ້າຫນຸຣີ. ກຽມງານ.

ຽນຍໍສາຮສັນເກີບເພື່ອການບົງຫາຮແລະພັນນາງນປກຄອງ. 2552.ກໍານາກປົກຄອງກະທຽມໜາດໄທ
[online]. Available: <http://www.amphoe.com/menu.php?am=547&pv=51 &mid =1>.

[15 กันยายน 2552]

ศูนย์อุดุนนิยมวิทยาภาคเหนือ. 2552. ฝ่ายสารสนเทศอุดุนนิยมวิทยา. เชียงใหม่.

สุทธิวรรัณ เมืองสุวรรณ. 2549. การศึกษาอัตราการเติบโตของไอลเคนชนิด *Pyxine cocoes* Swartz ในมหาวิทยาลัยเชียงใหม่และเขตตัวเมือง จังหวัดเชียงใหม่. ปัญหาพิเศษปริญญาตรี สาขาวิทยาศาสตร์ คณะวิทยาศาสตร์ มหาวิทยาลัยเชียงใหม่. เชียงใหม่.

สำนักงานคณะกรรมการโภชนาจพลังงานแห่งชาติ. 2551. นโยบายการใช้ถ่านหินเป็นเชื้อเพลิงในการผลิตไฟฟ้า. วารสารนโยบายพลังงาน ฉบับที่ 48 เมษายน-มิถุนายน 2543

[online]. Available: <http://www.eppo.go.th/vrs/VRS48-01-coal.html> [4 มิถุนายน 2551]

แสงร่วม รุ่งอรุณ. 2551. การสำรวจความหลากหลายของไอลเคนบริเวณรอบโรงไฟฟ้าแม่เมาะ อำเภอแม่เมาะ จังหวัดลำปาง. ปัญหาพิเศษปริญญาตรีสาขาวิทยาศาสตร์ คณะวิทยาศาสตร์ มหาวิทยาลัยเชียงใหม่. เชียงใหม่.

หน่วยงานสารสนเทศ โรงไฟฟ้าแม่เมาะ. 2552. [online]. Available: <http://www.maemoh.egat.com/index.php> [20 กรกฎาคม 2552]

หน่วยวิจัยไอลเคน มหาวิทยาลัยรามคำแหง. 2552. ไอลเคน. [online]. Available: <http://www.ru.ac.th/lichen/th.html> [4 มิถุนายน 2552]

Awasthi, D. D. 1991. A Key to Microlichens of India, Nepal and Sri Lanka. J. Cramer. Berlin Stuttgart.

Buaruang, K., Boonpragob, K., Mongkolsuk, P., Homchantara, N., Vongshewarat, K., Sujaritturagan, J., Papong, K., Osathanon, N. and Sanglapcharoenkit, M. 2005. Some common lichens inhabited Kram island and Samaesarn island. Poster. 31st congress on science and technology of Thailand, Suranaree University of Technology. [online]. Available: http://www.ru.ac.th/lichen/Data/STT/STT31_Kawinnart.pdf [10 กันยายน 2552]

Budel, B. and Scheidegger, C. 1996. Thallus morphology and anatomy. In: Nash III, T.H (ed). Lichen Biology. Cambridge University Press.

Cruz, L.P.S., Campos, V.P., Silva, A.M.C. and Tavares, T.M. 2004. A field evaluation of a SO₂ passive sampler in tropical industrial and urban air. Atmospheric Environment 38: 6425 – 6429.

Ferm, M. and Svanberg, Per-arne. 1998. Cost-efficient techniques for urban and background measurements of SO₂ and NO₂. Atmospheric Environment 32: 1377 – 1381.

- Frati, L., Brunialti, G. and Loppi, S. 2008. Effects of reduced nitrogen compounds on epiphytic lichen communities in Mediterranean Italy. *Science of the total environment* 407: 630–637.
- Gair, A.J., Penkett, S.A. and Oyola, P. 1991. Development of a sample passive technique for the determination of nitrogen dioxide in remote continental locations. *Atmospheric Environment* 25A: 1927 – 1939.
- Garty, J., Tomer, S., Levin, T. and Lehr, H. 2003. Lichens as biomonitor around a coal-fired power station in Israel. *Environmental Research* 91: 186 – 198.
- Gilbert, O. 2000. Lichens. HarperCollinsPublishers, London.
- Giordani, P., Brunialti, G. and Alleteo, D. 2002. Effects of atmospheric pollution on lichen biodiversity (LB) in a Mediterranean region (Liguria, northwest Italy). *Environmental Pollution* 118: 53 – 64.
- Giordani, P. 2007. Is the diversity of epiphytic lichens a reliable indicator of air pollution? A case study from Italy. *Environmental Pollution* 146: 317 – 323.
- Gorecki, T. and Namiesnik, J. 2002. Passive sampling. *Trends in Analytical Chemistry* 21: 276-291.
- Gries, C. 1996. Lichens as indicators of air pollution. In: Nash III, T.H (ed). *Lichen Biology*. Cambridge University Press.
- Hawksworth, D. L. and Rose, F. 1976. *Lichens as Pollution Monitors*. Edward Arnold (Publishers) Limited, London.
- Hohl, A.M., Miller, W.R. and Nelson, D.R. 2001. The Distribution of Tardigrades Upwind and Downwind of a Missouri Coal-Burning Power Plant. *Zoologischer Anzeiger* 240: 395– 401.
- Jeran, Z., Mrak, T., Jacimovic, R., Batic, F., Kastelec, D., Mavšar, R. and Simončič, P. 2007. Epiphytic lichens as biomonitor of atmospheric pollution in Slovenian forests. *Environmental Pollution* 146: 324 – 331.
- Kasper-Giebl, A. and Puxbaum, H. 1999. Deposition of particulate matter in diffusion tube samplers for the determination of NO₂ and SO₂. *Atmospheric Environment* 33: 1323 - 1326

- Khaodee, W. 2006. Development of passive samplers for determination of nitrogen dioxide, sulfur dioxide and ozone in ambient air. M.S. Thesis, Chiang Mai University. Chiang Mai.
- Kong, F.X., Hu, W., Chao, S.Y., Sang, W.L. and Wang, L.S. 1999. Physiological responses of lichen *Xanthoparmelia Mexicana* to oxidative stress of SO₂. Environmental and Experimental Botany 42: 201 – 209.
- Krochmal, D. and Kalina, A. 1997a. Measurements of nitrogen dioxide and sulphur dioxide concentrations in urban and rural areas of Poland using a passive sampling method. Environmental Pollution 96: 401 – 407.
- Krochmal, D. and Kalina, A. 1997b. A method of nitrogen dioxide and sulphur dioxide Determination in ambient air by use of passive samplers and ion chromatography. Atmospheric Environment 31: 3473 – 3479.
- Loppi, S., Frati, L., Paoli, L., Bigagil, V., Rossetti, C., Bruscoil, C. and Corsini, A. 2004. Biodiversity of epiphytic lichens and heavy metal contents of *Flavoparmelia caperata* thalli as indicator of temporal variations of air pollution in the town of Montecatini Terme (central Italy). The Science of the Total Environment 326: 113 – 122.
- Loppi, S., Ivanov, D. and Boccardi, R. 2002. Biodiversity of epiphytic lichens and air pollution in the town of Siena (central Italy). Environmental Pollution 116: 123 – 128.
- Munzi, S., Revera, S. and Caneva, G. 2007. Epiphytic lichens as indicators of environmental quality in Rome. Environmental Pollution 146: 350 – 358.
- Nash III, T.H. 1996. Introduction. In: Nash III, T.H. (ed). Lichen Biology. Cambridge University Press.
- Perkauskas, D. and Mikelinskiene, A. 1998. Evaluation of SO₂ and NO₂ concentration levels in Vilnius (Lithuania) using passive diffusion samplers. Environmental Pollution 102: 249 – 252.
- Plaisance, H., Sagnier, I., Saison, J.Y., Galloo, J.C. and Guillermo, R. 2002. Performances and application of a passive sampling method for the simultaneous determination of nitrogen dioxide and sulfur dioxide in ambient air. Environmental Monitoring and Assessment 79: 301 – 315.

- Pomphueak, K. 2005. Use of Lichens as Bioindicators for Air Quality Monitoring in Amphoe Mueang Lampang. M.S. Thesis, Chiang Mai University. Chiang Mai.
- Purvis, O.W., Coppins, B.J., Hawksworth, D.L., Jame, P.W. and Moore, D.M. 1992. The Lichen Flora of Great Britain and Ireland. The Natural History Museum on behalf of The British Lichen Society. London.
- Purvis, W. 2000. Lichens. The National History Museum, London.
- Purvis, O.W., Seaward, M.R.D. and Loppi, S. 2007. Lichens in a changing pollution environment: An introduction. Environmental Pollution 146: 291 – 292.
- Richardson, D.H.S. 1992. Pollution Monitoring with Lichens. Richmond Publishing Co. Ltd., Great Britain.
- Riga-Karandios, A.N. and Karandios, M.G. 1998. Assessment of air pollution from lignite power plant in the plain of Megalopolis (Greece) using as biomonitor three species of lichens; impacts on some biochemical parameters of lichens. The Science of the Total Environment 215: 167 – 183.
- Saipunkaew, W. 1994. Lichens as Bioindicators for Air Pollution Monitoring in Doi Suthep Mountain and Chiang Mai City. M.S. Thesis, Chiang Mai University. Chiang Mai.
- Saipunkaew, W., Wolseley, P.A. and Chimonides, P.J. 2005. Epiphytic lichens as indicators of environmental health in the vicinity of Chiang Mai city, Thailand. Lichenologist 37: 345 – 356.
- Saipunkaew, W., Wolseley, P.A., Chimonides, P.J. and Boonpragob, K. 2007. Epiphytic macrolichens as indicators of environmental alteration in northern Thailand. Environmental Pollution 146: 366 – 374.
- Santis, F.D., Allegrini, I., Fazio, M.C., Pasella, D., and Piredda, R. 1997. Development of a passive sampling technique for the determination of nitrogen dioxide and sulphur dioxide in ambient air. Analytica Chimica Acta 346: 127 – 134.
- Shakya, K. 2004. Passive sampling of nitrogen dioxide and sulfur dioxide in ambient air. M.S. Thesis, Environmental Science, Chiang Mai University. Chiang Mai.
- Sipman, H. 2003. Key to the Lichen Genera of Bogor, Cibodas and Singapore. [online]. Available: <http://www.bgbm.org/Sipman/keys/Javagenera.htm> [16 September 2004].
- Staxäng, B. 1969. Acidification of bark of some deciduous tree. Oikos 20: 224 – 230.

- Subsi, P. and Saipunkaew, W. 2002. Mango tree bark as bioindicator for air pollution monitoring in Chiang Mai city. *Chiang Mai Journal of Science* 29 (3): 183 – 188.
- van Dobben, H.F. and ter Braak, C.J.F. 1998. Effects of atmospheric NH₃ on epiphytic lichens in the Netherlands: the pitfalls of biological monitoring. *Atmospheric Environment* 32: 551 – 557.
- van Dobben, H.F., Wolterbeek, H.Th., Wamelink, G.W.W. and Ter Braak, C.J.F. 2001. Relationship between epiphytic lichens, trace element and gaseous atmospheric pollutants. *Environmental Pollution* 112: 163 – 169.
- van Herk, C.M. 2001. Bark pH and susceptibility to toxic air pollutants as independent causes of changes in epiphytic lichen composition in space and time. *The Lichenologist* 33: 419 - 441.
- VDI. 1995. VDI 3799 Part 1, Measurement of Immission Effects. Measurement and Evaluation of Phytotoxic Effect of Ambient Air Pollution (Immission) with Lichen : Mapping of Lichen for Assessment of the Air Quality. Verein Deutscher Ingenieure, Dusseldorf.
- Wiriya, W. 2008. Monitoring and analysis of atmospheric acid deposition in Chiang Mai, Thailand, year 2006 – 2007. M.S. Thesis, Environmental Science, Chiang Mai University. Chiang Mai.
- Wolseley, P. A. and Aquire – Hudson, B. 1997 a. Lichen of tropical forest in Thailand: A field key to characteristic epiphytic species in northern Thailand. Botany Department, The Natural History Museum. London.
- Yang, Y., Zhang, X.X., Korenaga, T. and Higuchi, K. 1997. Determination of passive-sampled sulphur dioxide in ambient air as sulphate ion by flow injection analysis with an in-line reaction column. *Talanta* 45: 445 – 450.

ภาคผนวก

ภาคผนวก ก แบบฟอร์มการสำรวจໄລເຄນ

Site.....Tree No.....

วันที่สำรวจ.....ผู้สำรวจ.....

บริเวณที่สำรวจ หมู่บ้าน.....ตำบล.....อำเภอแม่เมะ จังหวัดลำปาง

ชุมชนไทยร' ชุมชนเล็ก สวน ป่า อื่นๆ.....

ถนน เส้นหลัก ในหมู่บ้าน ไม่มีถนนผ่าน

ห่างถนน < 2 ม. 2-5 ม. 5-10 ม. >10 ม.

ลักษณะที่ต้องของต้นมะม่วง เปิดรับลม มีสิ่งกั้งลม

อญี่ปุ่นที่โล่งแจ้ง

เส้นรอบวงคำดื้น..... ช.m. pH เปลือกไม้.....

ลักษณะเปลือกไม้ เรียบ ขรุขระ แตกเป็นร่องลึก

ความทันทานของผิว ล่อน ไม่ล่อน

ทิศที่วาง grid frame N S W E NE NW SE SW

อุณหภูมิ °C ความชื้นดั้งพักผ้า % (wet dry)

ความเข้มแสงเฉลี่ย lux ความสูงจากระดับเข้าห้อง เมตร

ที่ตั้ง : ยะรัง N จังหวัด เชียงใหม่ E

....., នៅក្នុង..... និង.....

ପାତା ନିର୍ଦ୍ଦିଷ୍ଟମୁଖୀ

ตารางบันทึกผล

หมายเหตุ.....

ภาคผนวก ข
ໄລເຄນທີ່ພົບຈາກກາຮສຶກຍາ

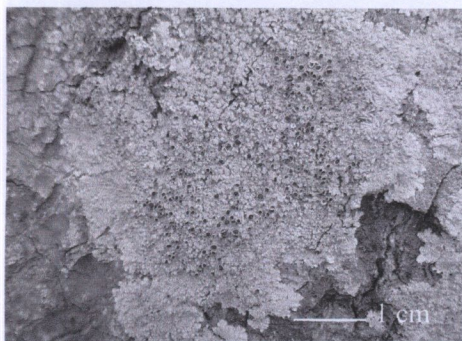
ກາພ ข 1 ໄລເຄນກລຸ່ມໂພລິໂອສ



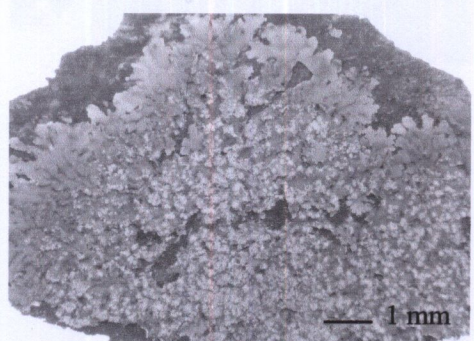
Parmotrema praesorediosum



Parmotrema tinctorum



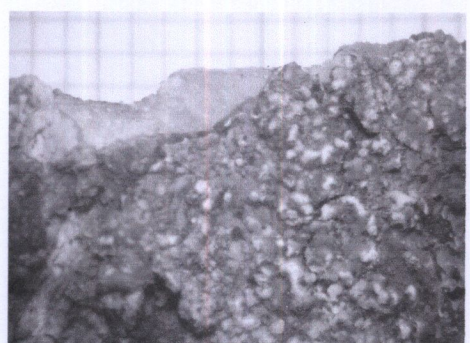
Dirinaria picta



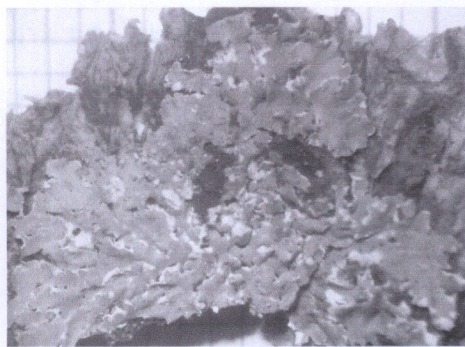
Hyperphyscia adglutinata



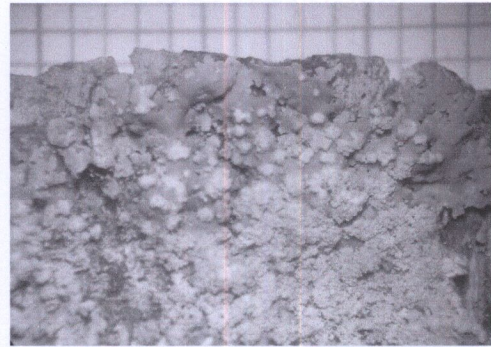
Hyperphyscia pandani



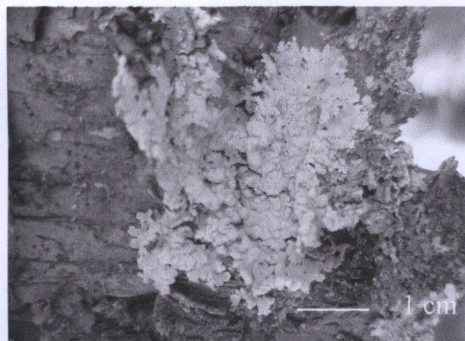
Hyperphyscia cf. tuckermanii



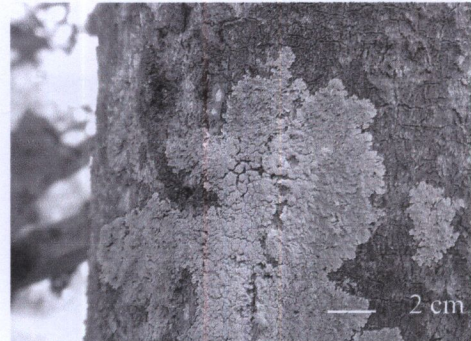
Physcia cf. dilatata



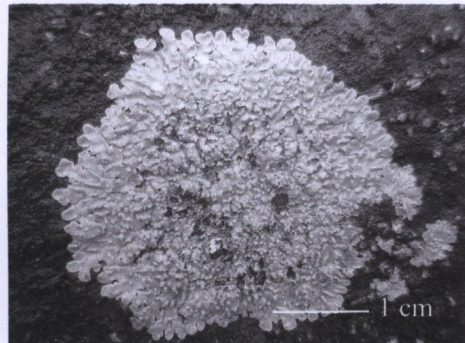
Physcia cf. erumpens



Physcia poncinsii



Physcia undulata



Pyxine cocoes

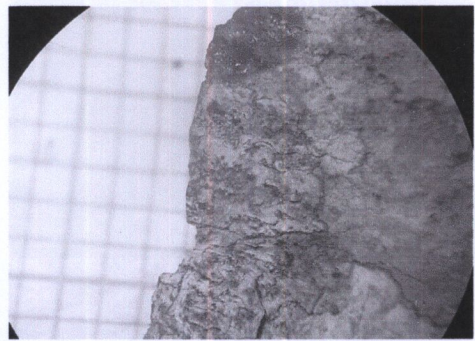
Compsolites cunctans

Luzula laevigata

ภาพ ข 2 ไลเคนกลุ่มครัสโคส



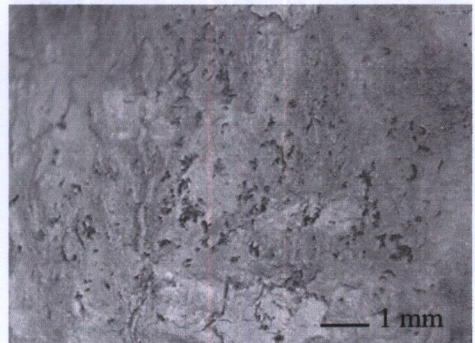
Arthonia tumidula



Arthonia sp.2



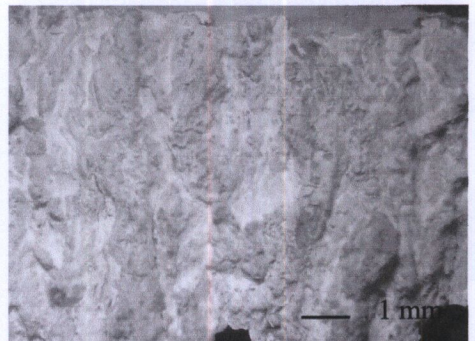
Arthonia sp.3



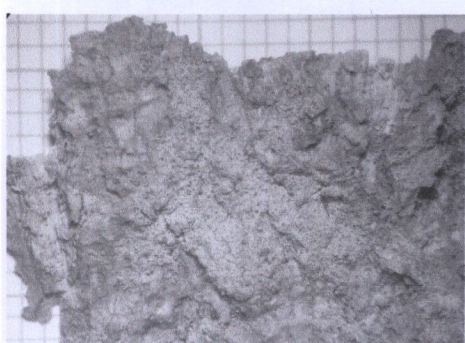
Arthothelium sp.1



Arthothelium sp.2



Cryptothecia sp.



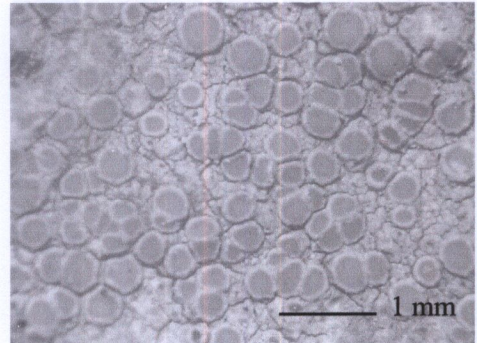
Chrysotrichia xanthina



Dimerella sp.



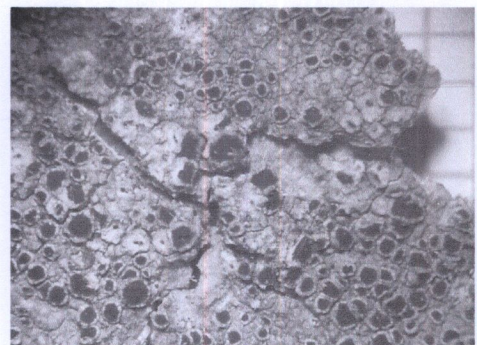
Lecanora ecoronata



Lecanora leprosa



Lecanora sp.3



Lecanora sp.4



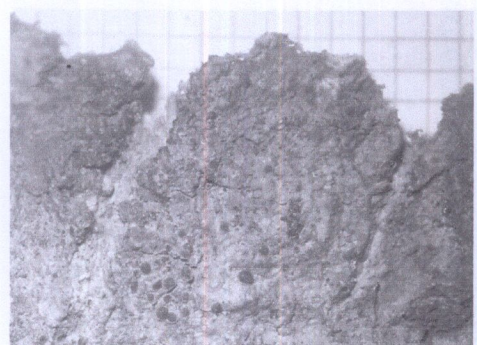
cf. *Anisomeridium* sp.1



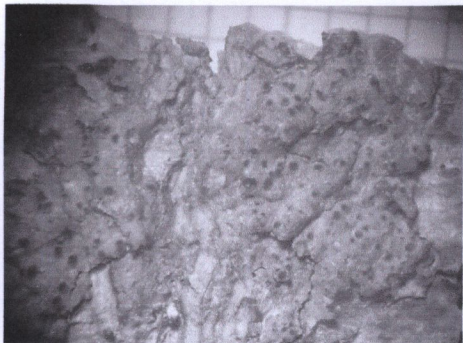
cf. *Anisomeridium* sp.2



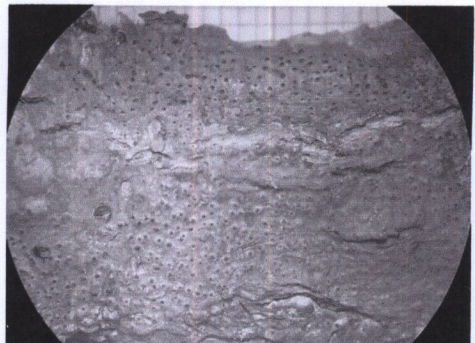
Buellia sp.



Rinodina sp.1



Rinodina sp.2



Pyrenula sp.



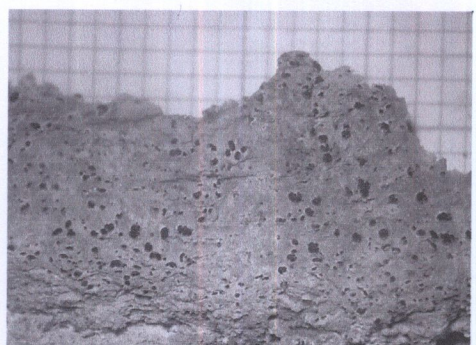
Bacidia sp.1



Bacidia sp.2



Bacidia sp.3



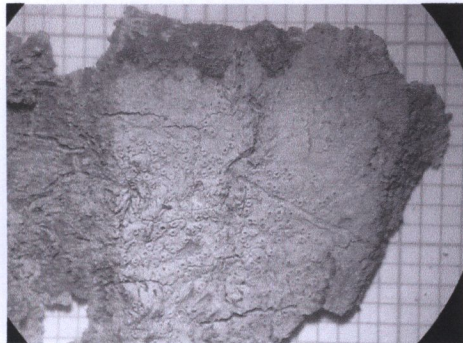
Lecanographa sp.



Chapsa sp.



Ocellularia sp.



Leucodection occultum



Porina aciculosa



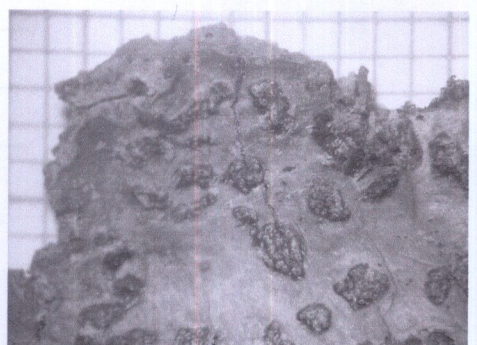
Porina sp.2



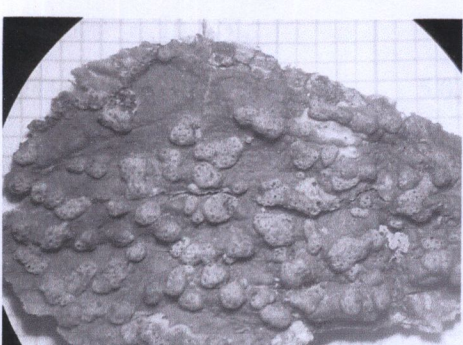
Laurera subbenguelensis



Laurera sp.2



Trypethelium aff. Tropicum



Trypethelium eluteriae



Crustose Unknown 1

**ภาคผนวก ค
การวิเคราะห์สถิติ**

ตาราง ค 1 การวิเคราะห์ความแปรปรวนแบบทางเดียว (one-way ANOVA) ของค่า pH เปล็อกไม้

Test of Homogeneity of Variances

Levene Statistic	df1	df2	Sig.
1.561	9	90	.139

ANOVA

		Sum of		F	Sig.
	Squares	df	Mean Square		
Between Groups	2.742	9	.305	4.079	.000
Within Groups	6.722	90	.075		
Total	9.464	99			

Homogeneous Subsets pH Tukey HSD

site	N	Subset for alpha = .05		
		1	2	3
1.00	10	4.6730		
3.00	10	4.7480	4.7480	
10.00	10	4.8760	4.8760	4.8760
2.00	10	4.9900	4.9900	4.9900
6.00	10	5.0580	5.0580	5.0580
7.00	10		5.0720	5.0720
8.00	10		5.0780	5.0780
5.00	10		5.0860	5.0860
4.00	10		5.1250	5.1250
9.00	10			5.2260
Sig.		.065	.077	.132

Means for groups in homogeneous subsets are displayed.

a Uses Harmonic Mean Sample Size = 10.000.

ตาราง ค 2 การวิเคราะห์ความแปรปรวนแบบทางเดียว (one-way ANOVA) ของ SO_2 ณ จุดเด่น

Test of Homogeneity of Variances

Levene Statistic	df1	df2	Sig.
2.976	9	37	.009

ANOVA

		Sum of		F	Sig.
		Squares	df		
Between Groups		213.611	9	23.735	.010
Within Groups		300.676	37	8.126	
Total		514.287	46		

Tukey HSD

site	N	Subset for alpha = .05	
		1	2
4.00	4	.8400	
9.00	5	3.7160	3.7160
8.00	4	4.7275	4.7275
6.00	5	5.5020	5.5020
2.00	4	6.0450	6.0450
1.00	5	6.5240	6.5240
7.00	5	7.0700	7.0700
10.00	5		7.6520
3.00	5		7.8740
5.00	5		8.6460
Sig.		.054	.237

Means for groups in homogeneous subsets are displayed.

a Uses Harmonic Mean Sample Size = 4.651.

b The group sizes are unequal. The harmonic mean of the group sizes is used. Type I error levels are not guaranteed.

ตาราง ค 3 การวิเคราะห์ความแปรปรวนแบบทางเดียว (one-way ANOVA) ของ SO₂ ณ จุดที่

Test of Homogeneity of Variances

Levene Statistic	df1	df2	Sig.
2.315	9	36	.036

ANOVA

Sum of					
	Squares	df	Mean Square	F	Sig.
Between Groups	6.300	9	.700	12.709	.000
Within Groups	1.983	36	.055		
Total	8.282	45			

Tukey HSD

Subset for alpha = .05			
site	N	1	2
2.00	4	.5100	
3.00	5	.6420	
4.00	5	.6660	
10.00	4	.6725	
5.00	5	.6860	
1.00	5	.8660	
9.00	5	.8780	
7.00	4	.9275	
8.00	4		1.4575
6.00	5		1.7240
Sig.		.219	.782

Means for groups in homogeneous subsets are displayed.

a Uses Harmonic Mean Sample Size = 4.545.

b The group sizes are unequal. The harmonic mean of the group sizes is used. Type I error levels are not guaranteed.

ตารางที่ 4 การทดสอบความแตกต่างของ SO_2 ของถูกแล้งกับถูกฝน

Paired Samples Statistics

			Std.	Std. Error	
		Mean	N	Deviation	Mean
Pair 1	dry	5.9452	46	3.36843	.49665
	wet	.9039	46	.42901	.06325

Paired Samples Correlations

		N	Correlation	Sig.
Pair 1	dry & wet	46	-.048	.751

Paired Samples Test

		Paired Differences		t	df	Sig. (2-tailed)
		Mean	Std. Deviation	Std.	95% Confidence	
		Mean	Deviation	Std. Error	Interval of the Difference	
		Lower	Upper			
Pair 1	dry - wet	5.04130	3.41603	.50367	4.02687 6.05574	10.009 45 .000

ตาราง ๕ ตัวมั่นคงภาพสัมพันธ์ของเพียร์สัน (Correlations)

		Index	Evenness	Richness	Altitude	Distance	pH	SO ₂ dry	SO ₂ wet
Index	Pearson Correlation	1	.723(*)	.605	-.225	.171	-.096	-.333	-.236
	Sig. (2-tailed)		.018	.064	.533	.637	.792	.348	.512
Evenness	Pearson Correlation	.723(*)	1	-.110	-.580	.092	-.205	-.510	-.561
	Sig. (2-tailed)		.018	.762	.079	.801	.569	.132	.091
Richness	Pearson Correlation	.605	-.110	1	.342	.109	.125	.122	.283
	Sig. (2-tailed)		.064	.762	.334	.765	.731	.737	.429
Altitude	Pearson Correlation	-.225	-.580	.342	1	.286	.342	.007	.749(*)
	Sig. (2-tailed)		.533	.079	.334	.422	.334	.984	.013
Distance	Pearson Correlation	.171	.092	.109	.286	1	-.444	.060	.314
	Sig. (2-tailed)		.637	.801	.765	.422	.198	.868	.377
pH	Pearson Correlation	-.096	-.205	.125	.342	-.444	1	-.507	.243
	Sig. (2-tailed)		.792	.569	.731	.334	.198	.134	.499
SO ₂ dry	Pearson Correlation	-.333	-.510	.122	.007	.060	-.507	1	-.161
	Sig. (2-tailed)		.348	.132	.737	.984	.868	.134	.656
SO ₂ wet	Pearson Correlation	-.236	-.561	.283	.749(*)	.314	.243	-.161	1
	Sig. (2-tailed)		.512	.091	.429	.013	.377	.499	.656

* Correlation is significant at the 0.05 level (2-tailed).

ภาคผนวก ง
การคำนวณความเข้มข้นของ SO_2

การคำนวณหาความเข้มข้นของก๊าซซัลเฟอร์ไดออกไซด์ (SO_2) ในอากาศ ที่ทำการตรวจเป็นเวลา 7 วัน สามารถคำนวณได้ดังนี้

ตาราง ง 1 การคำนวณความเข้มข้นของก๊าซ SO_2

หลอด	พื้นที่ติดกราฟ	$[\text{SO}_4^{2-}]$	ค่า	$[\text{SO}_2]$	$[\text{SO}_2]$	ค่าเฉลี่ย (ppbv)
		X (ppm)	Q (μg)	C ($\mu\text{g}/\text{m}^3$)	ppbv	
S1/1	26.602	0.03	0.07	3.22	1.23	
S1/2	24.873	0.02	0.07	3.00	1.15	
S1/3	12.637	0.01	0.03	1.51	0.58	0.86
S1/4	16.247	0.02	0.04	1.95	0.75	
S1/5	13.572	0.01	0.04	1.63	0.62	

ความเข้มข้นของ SO_4^{2-} (ppm) หาได้จากสมการมาตรฐาน $Y = 998.3X + 0.2324$

$$26.602 = 998.3X + 0.2324$$

$$\begin{aligned} X &= (26.602 - 0.2324) / 998.3 \\ &= 0.03 \text{ ppm} \end{aligned}$$

ค่า Q จากสารสกัดสุดท้าย ปริมาตร 4 มิลลิลิตร เมื่อ มวลโนเมเกตุลของ $\text{SO}_2 = 64$ และ มวลโนเมเกตุลของ $\text{SO}_4^{2-} = 96$)

$$\begin{aligned} Q (\mu\text{g}) &= \text{ความเข้มข้นของ } \text{SO}_4^{2-} (\text{ppm}) \times 4 \text{ ml} \times 64/96 \\ &= 0.03 \times 4 \times 64/96 \\ &= 0.07 \end{aligned}$$

ความเข้มข้นของก๊าซ SO_2 หน่วย ไมโครกรัม/ลูกบาศก์เมตร ($\mu\text{g}/\text{m}^3$)

$$C (\mu\text{g}/\text{m}^3) = \frac{[Q \times z]}{[(\pi r^2) \times t \times D]}$$

$$C (\mu\text{g}/\text{m}^3) = \frac{0.07 \times 0.054}{0.000154 \times 604800 \times 0.0000127}$$

$$C = 3.22 \mu\text{g}/\text{m}^3$$

เมื่อ

$$Q = 0.07$$

$$z = 0.054 \text{ เมตร}$$

$$\pi r^2 = 0.000154 \text{ ตารางเมตร}$$

$$t = 604800 \text{ วินาที (7 วัน)}$$

$$D = 1.27 \times 10^{-5} \text{ m}^2/\text{s} \text{ หรือ } 0.00001270 \text{ m}^2/\text{s}$$

การแปลงหน่วยของก๊าซ SO_2 จาก $\mu\text{g}/\text{m}^3$ เป็นหน่วย ppb หรือ ppbv ได้จากสมการ

$$\text{ppbv} = \frac{\mu\text{g}/\text{m}^3 \times \text{molecular volume (litres)}}{\text{molecular weight}}$$

$$\text{เมื่อ molecular volume} = \frac{22.41 \times (273 + 25)}{273} \times \frac{101.3}{101.3}$$

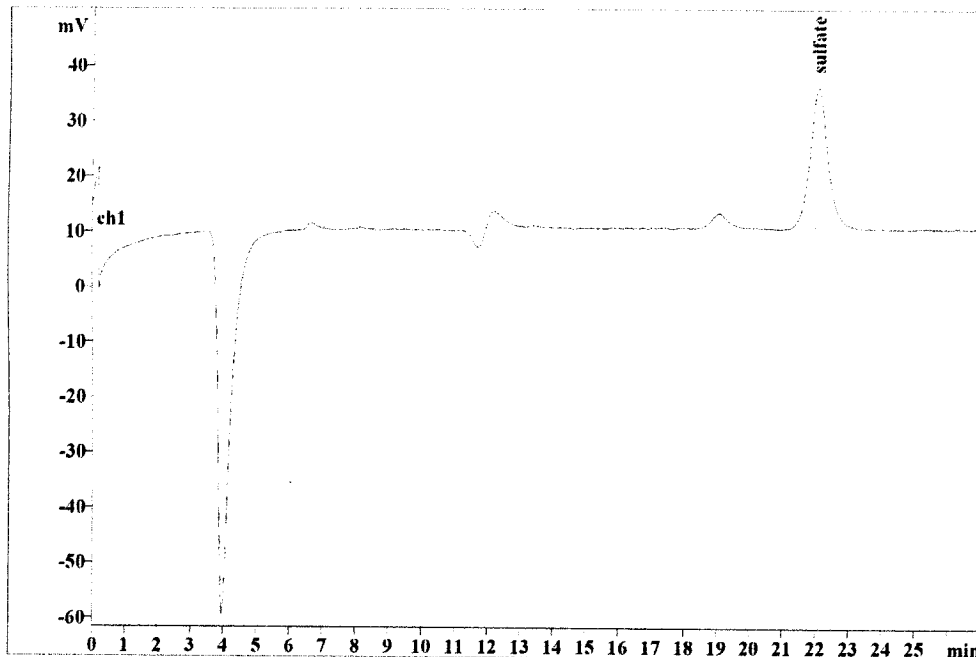
$$\text{พาระมาณนี้} \quad \text{molecular volume} = 24.46$$

$$\text{เมื่อ P} = \text{ความดันบรรยายกาศ} \quad 1 \text{ atm} = 101.3 \text{ kPa}$$

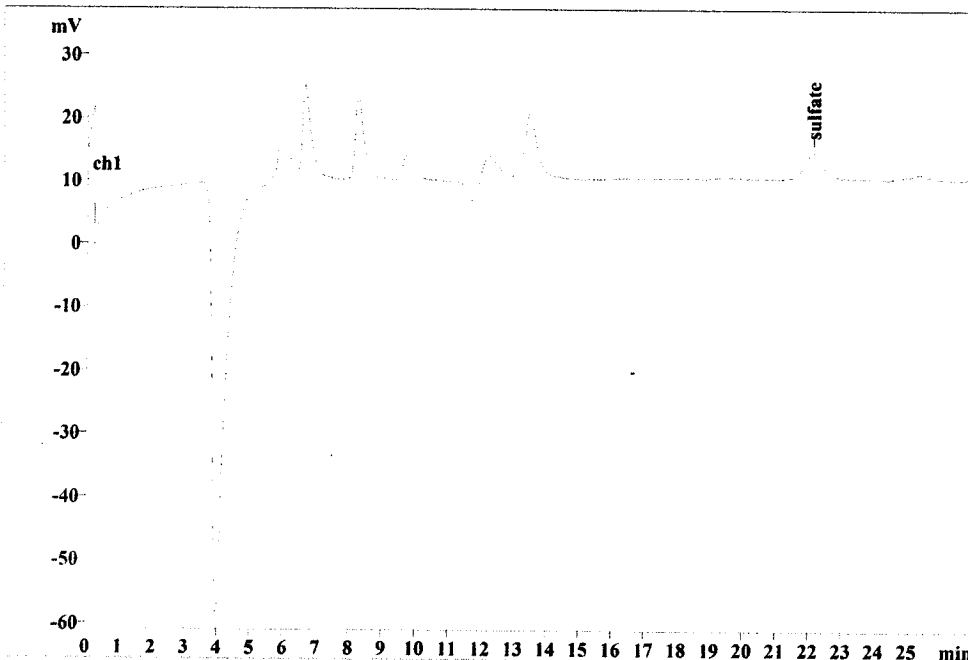
$$\text{ความเข้มข้นของก๊าซ } \text{SO}_2 \text{ (ppbv)} = \frac{3.22 \times 24.46}{64}$$

$$\text{ความเข้มข้นของก๊าซ } \text{SO}_2 = 1.23 \text{ ppbv}$$

ภาคผนวก จ
โกรณาโตแกรม



ภาพ จ 1 โกรณาโตแกรมของสารละลายชั้ลเพตนาครสูน ความเข้มข้น 1.0 ppm



ภาพ จ 2 โกรณาโตแกรมของสารตัวอย่าง ที่ทำการตรวจวัดเป็นเวลา 7 วัน

ภาคผนวก ฉ
ข้อมูลความเข้มข้นของ SO_2

ตาราง ฉ 1 ข้อมูลความเข้มข้นของก๊าซ SO_2 ที่ตรวจวัดได้ในฤดูแล้ง ช่วงวันที่ 21 – 28 กุมภาพันธ์

พ.ศ. 2552 (กำหนดค่า $z = 0.054$, $\pi r^2 = 0.0001540$, $t = 604,800$, $D = 0.0000127$, $MV = 24.46$, $Mw = 64$)

Tube	Peak area	Conc (ppm)	Conc ($\mu\text{g}/\text{m}^3$)	Conc (ppbv)	Net conc (ppbv)	SD
B1/1	111.916	0.12	14.73	5.63		
B1/2	8.288	0.01	0.75	0.29		
B1/3	0.000	0.00	0.00	0.00		
S1/1	231.762	0.25	30.90	11.81		
S1/2	157.990	0.17	20.95	8.01		
S1/3	79.688	0.09	10.39	3.97		
S1/4	58.899	0.06	7.58	2.90		
S1/5	145.809	0.16	19.30	7.38	6.52	3.54
B2/1	43.067	0.04	5.45	2.08		
B2/2	0.000	0.00	0.00	0.00		
B2/3	13.677	0.01	1.48	0.57		
S2/1	135.324	0.15	17.89	6.84		
S2/2	191.998	0.21	25.53	9.76		
S2/3	106.153	0.11	13.95	5.33		
S2/4	607.069	0.67	81.52	31.16		
S2/5	149.316	0.16	19.78	7.56	6.05	1.84
B3/1	72.335	0.08	9.39	3.59		
B3/2	20.763	0.02	2.44	0.93		
B3/3	18.217	0.02	2.09	0.80		
S3/1	221.231	0.24	29.48	11.27		
S3/2	227.579	0.25	30.33	11.59		
S3/3	141.658	0.15	18.74	7.16		
S3/4	133.005	0.14	17.58	6.72		
S3/5	137.680	0.15	18.21	6.96	7.87	2.46
B4/1	73.573	0.08	9.56	3.65		
B4/2	24.793	0.02	2.98	1.14		
B4/3	0.000	0.00	0.00	0.00		
S4/1	65.160	0.07	8.43	3.22		
S4/2	157.672	0.17	20.90	7.99		
S4/3	63.241	0.07	8.17	3.12		
S4/4	68.106	0.07	8.82	3.37		
S4/5	65.393	0.07	8.46	3.23	0.84	0.10
B5/1	39.110	0.04	4.91	1.88		
B5/2	0.000	0.00	0.00	0.00		
B5/3	0.000	0.00	0.00	0.00		
S5/1	380.530	0.39	47.89	18.30		
S5/2	196.049	0.21	25.46	9.73		
S5/3	109.710	0.12	14.43	5.52		
S5/4	75.170	0.08	9.78	3.74		
S5/5	117.983	0.13	15.55	5.94	8.65	5.82

ตาราง ณ 1 (ต่อ) ข้อมูลความเข้มข้นของก๊าซ SO_2 ที่ตรวจวัดได้ในฤดูแล้ง ช่วงวันที่ 21 – 28 กุมภาพันธ์ พ.ศ. 2552

(กำหนดให้ $z = 0.054$, $\pi r^2 = 0.0001540$, $t = 604,800$, $D = 0.0000127$, $MV = 24.46$, $Mw = 64$)

Tube	Peak area	Conc (ppm)	Conc ($\mu\text{g}/\text{m}^3$)	Conc (ppbv)	Net conc (ppbv)	SD
B6/1	89.707	0.10	12.53	4.79		
B6/2	7.092	0.02	2.49	0.95		
B6/3	0.000	0.00	0.00	0.00		
S6/1	202.124	0.22	26.20	10.01		
S6/2	129.589	0.14	17.38	6.64		
S6/3	129.214	0.14	17.34	6.63		
S6/4	120.154	0.13	16.24	6.20		
S6/5	253.137	0.27	32.40	12.38	5.50	2.72
B7/1	161.169	0.17	21.22	8.11		
B7/2	19.941	0.03	4.05	1.55		
B7/3	6.570	0.02	2.43	0.93		
S7/1	195.112	0.21	25.35	9.69		
S7/2	182.694	0.20	23.84	9.11		
S7/3	252.450	0.27	32.32	12.35		
S7/4	230.863	0.24	29.70	11.35		
S7/5	212.607	0.23	27.48	10.50	7.07	1.29
B8/1	56.172	0.07	8.46	3.23		
B8/2	12.668	0.03	3.17	1.21		
B8/3	0.000	0.00	0.00	0.00		
S8/1	205.099	0.22	26.56	10.15		
S8/2	125.411	0.14	16.87	6.45		
S8/3	152.539	0.17	20.17	7.71		
S8/4	136.145	0.15	18.18	6.95		
S8/5	130.487	0.14	17.49	6.69	4.73	0.55
B9/1	98.457	0.11	13.60	5.20		
B9/2	0.000	0.00	0.00	0.00		
B9/3	8.042	0.02	2.60	1.00		
S9/1	97.690	0.11	13.50	5.16		
S9/2	101.856	0.12	14.01	5.35		
S9/3	159.428	0.17	21.01	8.03		
S9/4	114.462	0.13	15.54	5.94		
S9/5	192.905	0.21	25.08	9.59	3.72	1.92
B10/1	67.492	0.08	9.83	3.76		
B10/2	0.000	0.00	0.00	0.00		
B10/3	0.000	0.00	0.00	0.00		
S10/1	70.045	0.08	10.14	3.88		
S10/2	232.578	0.25	29.90	11.43		
S10/3	152.771	0.17	20.20	7.72		
S10/4	144.665	0.16	19.22	7.34		
S10/5	156.455	0.17	20.65	7.89	7.65	2.68

ตาราง ณ 2 ข้อมูลความเข้มข้นของก๊าซ SO_2 ที่ตรวจวัดได้ในฤดูฝน ช่วงวันที่ 5 – 12 กรกฎาคม พ.ศ. 2552 (กำหนดค่า $z = 0.054$, $\pi r^2 = 0.0001540$, $t = 604,800$, $D = 0.0000127$, $MV = 24.46$, $Mw = 64$)

Tube	Peak area	Conc (ppm)	Conc ($\mu\text{g}/\text{m}^3$)	Conc (ppbv)	Net conc (ppbv)	SD
B1/1	94.490	0.09	11.49	4.39		
B1/2	32.273	0.03	3.91	1.49		
B1/3	23.503	0.02	2.84	1.08		
S1/1	26.602	0.03	3.22	1.23		
S1/2	24.873	0.02	3.00	1.15		
S1/3	12.637	0.01	1.51	0.58		
S1/4	16.247	0.02	1.95	0.75		
S1/5	13.572	0.01	1.63	0.62	0.86	0.30
B2/1	3.965	0.00	0.46	0.17		
B2/2	22.556	0.02	2.72	1.04		
B2/3	15.033	0.01	1.80	0.69		
S2/1	10.772	0.01	1.29	0.49		
S2/2	11.206	0.01	1.34	0.51		
S2/3	11.726	0.01	1.40	0.54		
S2/4	10.894	0.01	1.30	0.50		
S2/5	6.042	0.01	0.71	0.27	0.51	0.02
B3/1	86.912	0.09	10.57	4.04		
B3/2	18.104	0.02	2.18	0.83		
B3/3	18.730	0.02	2.26	0.86		
S3/1	16.257	0.02	1.95	0.75		
S3/2	11.906	0.01	1.42	0.54		
S3/3	14.606	0.01	1.75	0.67		
S3/4	10.942	0.01	1.31	0.50		
S3/5	16.409	0.02	1.97	0.75	0.64	0.12
B4/1	74.635	0.07	9.07	3.47		
B4/2	93.198	0.09	11.34	4.33		
B4/3	21.171	0.02	2.55	0.98		
S4/1	14.815	0.01	1.78	0.68		
S4/2	15.572	0.02	1.87	0.71		
S4/3	16.714	0.02	2.01	0.77		
S4/4	13.996	0.01	1.68	0.64		
S4/5	11.537	0.01	1.38	0.53	0.67	0.09
B5/1	7.287	0.01	0.86	0.33		
B5/2	14.242	0.01	1.71	0.65		
B5/3	20.359	0.02	2.45	0.94		
S5/1	27.431	0.03	3.32	1.27		
S5/2	9.386	0.01	1.12	0.43		
S5/3	16.521	0.02	1.99	0.76		
S5/4	14.862	0.01	1.78	0.68		
S5/5	6.524	0.01	0.77	0.29	0.69	0.38

ตาราง ฉ 2 (ต่อ) ข้อมูลความเข้มข้นของก๊าซ SO_2 ที่ตรวจวัดได้ในฤดูฝน ช่วงวันที่ 5 – 12

กรกฎาคม พ.ศ. 2552

(กำหนดค่า $z = 0.054$, $\pi r^2 = 0.0001540$, $t = 604,800$, $D = 0.0000127$, Mo volume = 24.46, Mw = 64)

Tube	Peak area	Conc (ppm)	Conc ($\mu\text{g}/\text{m}^3$)	Conc (ppbv)	Net conc (ppbv)	SD
B6/1	78.157	0.08	9.50	3.63		
B6/2	16.314	0.02	1.96	0.75		
B6/3	22.029	0.02	2.66	1.02		
S6/1	36.085	0.04	4.37	1.67		
S6/2	26.688	0.03	3.23	1.23		
S6/3	43.685	0.04	5.30	2.03		
S6/4	39.642	0.04	4.81	1.84		
S6/5	39.996	0.04	4.85	1.85	1.72	0.30
B7/1	88.474	0.09	10.76	4.11		
B7/2	17.619	0.02	2.12	0.81		
B7/3	17.976	0.02	2.16	0.83		
S7/1	24.979	0.02	3.02	1.15		
S7/2	240.259	0.24	29.27	11.19		
S7/3	11.452	0.01	1.37	0.52		
S7/4	24.669	0.02	2.98	1.14		
S7/5	19.454	0.02	2.34	0.90	0.93	0.29
B8/1	116.235	0.12	14.15	5.41		
B8/2	13.227	0.01	1.58	0.61		
B8/3	14.229	0.01	1.71	0.65		
S8/1	31.016	0.03	3.75	1.43		
S8/2	75.325	0.08	9.16	3.50		
S8/3	32.640	0.03	3.95	1.51		
S8/4	27.487	0.03	3.32	1.27		
S8/5	35.092	0.03	4.25	1.62	1.46	0.15
B9/1	73.981	0.07	8.99	3.44		
B9/2	12.073	0.01	1.44	0.55		
B9/3	24.040	0.02	2.90	1.11		
S9/1	15.002	0.01	1.80	0.69		
S9/2	13.196	0.01	1.58	0.60		
S9/3	25.937	0.03	3.13	1.20		
S9/4	19.967	0.02	2.41	0.92		
S9/5	21.193	0.02	2.56	0.98	0.88	0.24
B10/1	116.354	0.12	14.16	5.41		
B10/2	22.681	0.02	2.74	1.05		
B10/3	17.725	0.02	2.13	0.82		
S10/1	13.319	0.01	1.60	0.61		
S10/2	17.608	0.02	2.12	0.81		
S10/3	14.946	0.01	1.79	0.69		
S10/4	12.695	0.01	1.52	0.58		
S10/5	175.493	0.18	21.37	8.17	0.67	0.10

ประวัติผู้เขียน

ชื่อ

นางรำพรวน กันเจิม

วันเดือนปีเกิด 31 พฤษภาคม 2521

ประวัติการศึกษา

สำเร็จการศึกษาประถมศึกษา โรงเรียนบ้านท่าข้าม ปีการศึกษา 2534

สำเร็จการศึกษามัธยมศึกษาตอนต้น โรงเรียนเมืองราชวิทยาคม ปีการศึกษา 2537

สำเร็จการศึกษามัธยมศึกษาตอนปลาย โรงเรียนหล่มเก่าพิทยาคม ปีการศึกษา 2540

สำเร็จการศึกษาปริญญาวิทยาศาสตรบัณฑิต สาขาวิชาวิทยา มหาวิทยาลัยนเรศวร

ปีการศึกษา 2544

สำเร็จการศึกษาประกาศนียบัตรบัณฑิต (การสอน) มหาวิทยาลัยนเรศวร

ปีการศึกษา 2545

ทุนการศึกษา ได้รับทุนสนับสนุนจาก โครงการพัฒนาองค์ความรู้และศึกษา นโยบายการจัดการ ทรัพยากรชีวภาพในประเทศไทย ซึ่งร่วมจัดตั้งโดยสำนักงานกองทุนสนับสนุน การวิจัย และศูนย์พันธุวิเคราะห์และเทคโนโลยีชีวภาพแห่งชาติ (BRT T352053) บัณฑิตวิทยาลัยมหาวิทยาลัยเชียงใหม่ และโครงการอนุรักษ์และใช้ประโยชน์ ความหลากหลายทางชีวภาพ ภาควิชาชีววิทยา คณะวิทยาศาสตร์ มหาวิทยาลัยเชียงใหม่